

29/93

**YILDIZ TEKNİK ÜNİVERSİTESİ
FEN BİLİMLERİ ENSTİTÜSÜ**

**CAM ERGİTME VE TAVLAMA FIRINLARININ
TEKNİK ÖZELLİKLERİ VE TERMİK HESAPLARI**

YÜKSEK LİSANS TEZİ

Makina Mühendisi Atilla SENTÜRK

İSTANBUL 1993

**T.C. YÜKSEKÖĞRETİM KURULU
DOKÜMANASYON MERKEZİ**

Içindekiler

I.Cam Nedir

I.1.Camın Tanımı ve Genel Özellikleri.....	1.
I.2.Camın Tarihçesi.....	2.
I.3.Camı Oluşturan Ana ve Hammaddeler.....	3.
3.a.Anı Maddeler.....	3.
3.a.1.Cam Haline Gelebilen Maddeler.....	4.
3.a.2.Eriticiler.....	4.
3.a.3.Stabilizatörler.....	4.
3.a.4.Yardımcı Bileşenler.....	4-5.
3.b.Hammaddeler.....	5-7.
Cam Üretimi.....	7-8.
Üretim Yöntemleri.....	9.
I.1.Eritme.....	9-13.
I.2.Camın Şekillendirme Yöntemleri.....	14-21.
I.3.Tavlama.....	21.
I.4.Bitirme İşlemleri.....	22.
I.5.Özel Camların Üretimi.....	22-26.
I.6.Camın Renklendirilmesi.....	26-27.
I.7.Cam Türleri.....	27-30.
I.8.Camın Fiziksel ve Kimyasal Özellikleri.....	30-32.

II.Cam Ergitme Fırınları.

II.1.Fırında Gelişen Olaylar.....	33-35.
II.2.Afinasyon.....	35-38.
II.3.Yanma.....	38-44.
II.4.Elektrikli Fırınlar.....	45-48.
II.5.Fırında Isı Transferi.....	48-56.
II.6.Normal Fırılarda Isı Transferi.....	56-60.
II.7.Tank Bloklarının Soğutulması.....	60-62.
II.8.Fırın Otomatik Kontrolü.....	62-66.
II.9.Potalı Fırınlar.....	66-71.
II.10.Atık Isının Geri Kazanılması.....	71-79.

III.Termik Hesaplara Giriş.

III.1.Duvar Kayipları.

1.1. 1.Bölgdedeki Duvar Kayipları.....	82-84.
1.2. 2.Bölgdedeki Duvar Kayipları.....	84-86.
1.3. 3.Bölgdedeki Duvar Kayipları.....	86-88.

1.4. 4.Bölgedeki Duvar Kayipları.....	88-90.
1.5. 5.Bölgedeki Duvar Kayipları.....	90-92.
1.6. Ön Duvardan Kaybolan Isı.....	92-93.
1.7. Malzeme Girişinden Kaybolan Isı.....	93.
1.8. Malzeme Çıkışından Kaybolan Isı.....	93-94.
III.2.Bantın Dışarı Taşıdığı Isı.....	94-95.
III.3.Şişelerin Tavlanması İsisi.....	95.
III.4.Toplam Isı Miktarı.....	95.
III.5.Yanma Havası ve Dumangazı Miktarları....	95-96.
III.6.Ekonominik İzole Kalınlığının Bulunması....	96.
III.7.Tavlama Fırınında Soğutma Eğrisinin çıkarılması.....	97-106.
III.8.Tavlama Fırınında Isı Transfer Miktarlarının tesbit edilmesi.....	106-108.
III.9.Bölgelerde Gerekli Yakıt Miktarlarının Hesabı.....	109-112.

—o—

Kullanılan Sembollerin Listesi.

Q = İst Akımı.

m = Kütle.

v = Hız.

U = Gaz hızı.

α = Konveksiyon ısı transfer katsayısı.

k = Kondüksiyon ısı transfer katsayısı.

c_p =Spesifik ısı.

n = Entalpi.

r = Enerji akımı.

γ = Kinematik viskozite.

γ = Dinamik viskozite.

T = Sicaklık (K).

t = Sicaklık (C).

Gr =Grashof sayısı.(Boyutsuz).

Pr =Prandtl sayısı.(Boyutsuz).

Re =Reynolds sayısı.(Boyutsuz).

Nu =Nusselt sayısı.(Boyutsuz).

L = Boyut, mesafe.

Özet

Günümüzde çevre kirliliğinin artması, cam malzemelerin kullanım alanını genişletmiştir. Petrolden elde edilen plastik maddelerin doğaya verdiği zararlar bilinmektedir. Bu yüzden insan yaşantısında cam ve cam malzemelerin kullanımı daha önemli yer tutmaktadır.

Bu durumda cam endüstrisi, daha parlak bir gelecek için yeni teknolojilere açık bir endüstri dalı olmaktadır. Bu sebeple, bu araştırmada cam endüstrisi ve bu endüstri dalının bazı aşamaları üzerinde çalışılmıştır.

Bu araştırmada, cam üretiminin temel aşaması olan cam ergitme ve tavlama fırınları incelenmiştir. Bu fırınlar hakkında belirli bir seviyede bilgi verilmistir. Tavlama fırınlarından olan ısı kaybı hesaplanmıştır. Bu hesaptan sonra, tavlama fırını ısıtma ve soğutma diagramları hazırlanmıştır. Bu diagram üzerinde cam sıcaklıklarını ve bu camı ısıtmak için fırına verilen gazın sıcaklıklarını hesaplanmıştır. Bu sıcaklıklar sağlanmak için, fırına verilmesi gereken yakıt miktarı hesaplanmıştır. Hesaplanan bu yakıt ve atık gaz miktarı fırın üzerinde şematik bir sistem olarak gösterilmiştir.

Atık ısının yeniden kazanılması sistemleri araştırılmıştır. Böylece enerji tasarrufu sistemleri daha detaylı bir bilgi halinde verilmiştir.

Böylece gelecekte önemli bir yeri olan bu endüstri dalı hakkında yeni bir bilgi kaynağı hazırlanmıştır.

Summary

Nowadays, increasing of the pollution of environment, has made larger the using area of the glass materials. The damages on the nature, which were given by the plastic materials that made of petroleum is known very well. So, area of glass material using is becoming very important at the human life.

In that case, glass industry is becoming an open industry branch to new technologies for a brilliant future life. Therefore, in this investigation, glass industry and some stages of this industry branch was searched.

In this investigation, annealing furnaces and melting furnaces which are the basic stage of the glass producing was researched. Some knowledge on a certain level was given about these furnaces. Heat losses that from annealing furnaces was calculated. After that calculation, heating and cooling diagrams of the annealing furnaces was prepared. Glass temperatures and gas temperatures that given into the furnace to heat glass in it, was given on that diagram. The required fuel quantity to supply these temperatures was calculated. This calculated fuel and waste gas quantities were shown on the furnace as a diagrammatic system.

Waste heat recovery systems were researched. So, energy saving systems were given as a more detailed knowledge.

Thus, a new knowledge source was prepared on this industry branch that has an important place in the future life.

GİRİŞ.

I. CAM NEDİR:

I.1. Camın tanımı ve Genel Özellikleri

Cam için çeşitli tanımlar yapılmış olup, günümüzde de bu konuda kesin bir tanım ve adlandırma yapılamamaktadır. Ancak, camın çeşitli özelliklerine göre çeşitli tanımlar mevcuttur.

Cam, fiziksel bakımdan bir katı olup, belirli bir erime noktası olmayan, aşırı soğutulmuş bir sıvı durumundadır. Ayrıca kristalleşmesine engel olacak kadar yüksek bir viskoziteye (ki bu değer 10^{13} poise'den daha büyüktür.) sahiptir. Kimyasal bakımdan ise kumun, alkali ve toprak alkali bileşiklerinin ve diğer cam yapıcı maddelerinin bozundurulmaları ve eritilmeleri ile oluşan uçucu olmayan anorganik oksitlerin oluşturduğu, genellikle alkali ve toprak alkali silikatlardan ibaret kompleks bir üründür. Cam, tamamen camlaşmış saydam bir ürün olabileceği gibi, birçok hallerde az bir miktarda camlaşmayan maddenin, çok miktarda camlaşmış ürün ile olan süspansiyonu halinde de olabilmektedir.

Bu konuda başka bir tanımda, yukarıdakine benzer tarza olup, sabit bir erime noktası olmayan amorf bünyeli bir silikat bileşimi olarak verilmektedir. Ana maddelerin ısıtılarak eritilmesi, biçimlendirilmesi ve biçimlendirilen hamurun kristalleşmeksızın soğuması sırasında cam elde edilmektedir. Erime derecesi, bileşime giren maddelere ve bileşime göre değiştiğinden, camın belirli bir erime sıcaklık derecesi yoktur.

Genelde cam, malzemeciler tarafından aşırı soğutulmuş bir sıvuya benzetilmektedir. Gerçekten de cam ısıtılmaya başlandıktan sonra, sıcaklığa paralel olarak önce yumuşar ve daha sonra akıcı hale gelir. Bu hali ile bir sıvı görünü mü arzeder.

Cam, gevrek bir maddedir ve gerilme direncine oranla, çok daha fazla saydamlık gösterir. Çoğunlukla, yüzey sıkış-

ması sağlamak üzere, sağlamlaştırma teknikleri, daha sağlam yapıdaki yeni bir cam tipi geliştirmektedir. Yaklaşık 800 değişik cam bileşimi mevcut olup, bunlardan bir kısmı sadece bir özelliği esas alırken, diğer bir kısmı ise özellikler arasında denge kurmaya önem vermiştir.

Günümüzde çok değişik gereksinmelerin karşılanmasıında cam malzemelerin kullanım alanı genişştir.

Cam malzemeler yapılarda ışık geçirme, ses yalıtımı, iç ve dış duvar kaplamaları, ısı izolasyonu gibi bazı amaçlarla kullanılmaktadır.

I.2. Camın Tarihcesi

Camın ilk kez M.Ö. 3000 yıllarında Mezopotamya ve Mısır'da üretiliği bilinmektedir. İlk camı üretenler arasında Fenikeliler de yer almaktadır. Bazı kaynaklara göre M.Ö. 4000'li yıllarda cam bilinmekteydi. Bu günde anlamda yapılarda cam kullanımını çok eski olmayıp, kökeni Romalılara dayanmaktadır.

Yeterince büyüklükte cam levha yapımı 11. yüzyılda sişirilmiş silindir yöntemi ile gerçekleştirilmistir. Demir bir boru ile alınan erimiş cam, borudan hava üflenerek ve döndürülerek silindir şekline getiriliyordu. Ancak, bu yöntemde elde edilen cam levha yüzeyi yeterince büyük olmadığı gibi, yeterince düzgün olmuyordu. 16. yüzyılda, "plateau" yöntemi denilen yeni bir yöntem denendi ise de, elde edilen camın kenarları ince, ortası kalın olduğu için kısa süre sonra terk edildi. Ancak, bu yöntemde daha pürüzsüz yüzeyli cam elde ediliyordu.

Silindir yöntemi daha da geliştirilerek, 19. yüzyılda ABD'de endüstriyel olarak uygulandı. Bu yöntemde, cam eriyigidinden düşey olarak emilen cam içine hava üflenerek, 75-80 cm. çapında, 10-12 m. yüksekliğinde silindir elde edilerek, cam levha yapıliyordu. Bu yöntem, makina başına $1000 \text{ m}^2/\text{gün}$ cam üretebiliyordu. Sonraları bulunan modern üretim yöntemleri ile bu yöntem terk edilmiştir.

Camcılık, ABD'nde 1608 yılında Jamestown, ve 1639 salem'de başlamıştır. Bu tarihten 300 yıl sonrasına kadar

proses, hemen hemen tamamen el işi olarak yapılmıştır. Kimyasal bakımdan bu süre içinde en önemli gelişme, cam harmanını oluşturan maddelerin saflastırılması ve yakıt ekonomisinin arttırılması ile sınırlı kalmıştır.

Sürekli bir şekilde levha halinde cam üretimi için, Fourierault prosesi, 1914 yılında Belçika'da geliştirilmişdir. Bunu izleyen 50 yıl, mühendis ve bilim adamları levha camın optik bozukluklarını gidermeyi, buzlu ve parlatılmış cam levhaların, üretim giderlerini azaltmayı amaçlayan çalışmalar yapmışlardır. Bütün bu çalışmalar, düz cam üretim teknolojisine büyük katkıda bulunmuştur. 1902 ve 1905'lerden sonra, İngiltere'de ABD patentiyile yüzercam üretilmiş olup, günümüzde de yaygın olarak kullanılmaktadır. Bu konuda, şişe, elektrik ampullü vs. üretiminin hızlandırmak için otomatik makinalar bulunmuştur. Sonuç olarak, teknoloji, günümüzde ileri bir endüstri dalı olmuştur.

Ülkemizde cam üretimi Selçuklular döneminde başlamış, Osmanlılar döneminde büyük gelişme göstermiştir. 19. yüzyılda Beköz'deki kristal cam fabrikasının ürünlerini büyük beğeni kazanmıştır. Cumhuriyet döneminde, 1937 yılında, ilk olarak Paşabahçe'de Türkiye Şişe ve Cam Fabrikası açılmış, bunu 1964 yılında Çayırova'da üretime başlayan pencere camı fabrikası izlemiştir. Daha sonraki yıllarda ise, aynı kuruluşun, değişik alanlarındaki çalışmaları başlamıştır. Son olarak, 1983-1984 yılında açılan ve float cam üreten Trakya Cam Fabrikası ile bu zincir tamamlanmıştır.

I.3. Camı Oluşturan Ana Maddeler ve Hammaddeler

a) Ana Maddeler :

Camı oluşturan ana maddelerden söz edildiğinde, adı camın bileşimine giren üç grup madde akla gelir. Bunlar, cam haline gelebilen oksitler, eriticiler ve stabilizatörler denilen maddelerdir. Adı camın bileşimine giren bu maddeler, bir başka şekilde kum-soda-kireç üçlüsü olarak da ifade edilebilir. Adı camın bileşimine giren maddelerin

dişinde, camda önemli özellikler kazandıran ve üretimde bazı yararlar sağlayan yardımcı (ikincil) bileşenler de bir grup olarak ele alınabilir.

3.a.1. Cam Haline Gelebilen Maddeler

Camlaşma özelliği olan bu ana maddeler, genelde ağ oluşturan bazı oksitlerdir. Doğal cam niteligindeki kuvars kumu, ağ oluşturan oksitlerin başında gelir. Bu oksitlerin içinde en önemlileri SiO_2 , B_2O_3 , ve P_2O_5 'dir.

3.a.2. Eriticiler

Ağ oluşturan ve cam haline gelebilen oksitlerin erime lerini kolaylaştırmak için camın bileşimine katılan maddelere eriticiler denir. Bu maddeler, cam haline gelebilen maddelerin erime sıcaklık noktalarını düşürerek erimeyi kolaylaştırırlar. 1713°C de eriyen silisyumun erime noktası, bu suretle 1500°C dolayına indirilebilmektedir.

Bu tür malzemeler ağ yapısına girerek, yapıyı değiştirdiği için, bunlara modifikatör de denmektedir. Bu maddelerin en çok kullanılanları Na_2O , K_2O , ve Li_2O 'dur.

3.a.3. Stabilizatörler

Eriticiler gibi stabilizatörler de özellikle camın kimyasal dayanımı, kırma indisini, dielektrik özellikleri üzerinde etki yapan malzemelerdir. Yapısına stabilizatör ilave edilmemiş bir cam su karşısında stabil olmayıp, bu tür camlara su camı denir.

Stabilizatör olarak adlandırılan maddelerin başlıcaları CaO , BaO , PbO , MgO , ve ZnO 'dur.

CaO , kireç taşının, MgO ise dolomitin bünyeye katılması ile elde edilir. Çünkü, bu maddelerin belirli bir sıcaklık değerine kadar ısıtilması ile, içerdikleri CO_2 atılır. Geriye oksitleri kalır.

Bu reaksiyonlar, kimyasal olarak şöyle gösterilir:



3.a.4. Yardımcı (ikincil) Bileşenler

Yardımcı bileşen ya da ikincil bileşen olarak adlandırı-

rılan maddeler genelde adı camın formülüne girmeyen, ancak, çoğunlukla farklı cam tiplerinde değişik yararlar sağlamak üzere kullanılan oksitlerdir. Bu bileşenler:

Arsenik	As_2O_3	: Renk verici, saflaştırıcı
Fluorin	CaF_2	: Opaklaştırıcı
Sülfat	Na_2SO_4	: Redükleyici
fosfor	P_2O_5	: Sodyum, kalsiyum camlarını opaklaştırıcı
Kobalt	Co_2O_3	: Renk verici, renk giderici
Zirkonyum	ZrO_2	: Viskozite artırıcı

Olarak verilebilir. Bu maddelerin tamamı, kullanım amaçlarına göre hammaddeler kısmında daha geniş olarak verilmiştir.

3.b. Hammaddeler

Son 30 yıl içerisinde camda birçok yeni yapı formülasyonuna rağmen, dünyadaki camların büyük çoğunluğu (% 90'dan fazlası) 2000 yıl öncesinde olduğu gibi ve yukarıda verildiği üzere kum, soda ve kireç üçüsünden yapılmaktadır. Ancak bu süre içinde camın bileşiminde önemli değişiklikler de yapılmıştır. Ana maddelerde ufak değişiklikler olurken, ikincil öneme haiz maddelerde büyük değişiklikler olmuştur. Camı oluşturan ana maddeler, camlaşıcılar, yani cam haline gelebilen maddeler olarak verdigimiz kum, kireç ve susuz Na_2CO_3 (soda)'dır. Bunların dışındaki diğer hammaddeler etkileri önemli bile olsa, ikinci derecede öneme sahip maddelerdir.

Farklı tipte camlar üretmek için, çok miktarda cam kuşu kullanılır. Bu kumun eritilmesi için susuz Na_2CO_3 , (% 90-98) oranında saf olmayan Na_2SO_4 ve kireç taşına ihtiyaç vardır.

Bunlara ilave olarak, önemli miktarlarda PbO , K_2CO_3 , sodyum nitrat, boraks, borik asit, As_2O_3 , feldspat ve fluorospat kullanılır. Renkli camlar için birçok metal oksit ve zirkonyum, karbonatlar ve diğer tuzlara gereksinim vardır. Bitirme işlemlerinde çeşitli abrazifler ve fluorür asiti gibi maddeler kullanılır.

Cam üretiminde kullanılacak kum, hemen hemen saf kuvars şeklinde olmalıdır. Cam fabrikaları, bu amaçla genellikle cam kumu yataklarının yanında kurulurlar. Camın bünyesindeki demir miktarı, ev eşyaları için % 0.045'i ve optik camlar için % 0.015'i geçmemelidir. Çünkü demir, camın rengine olumsuz yönde etki yapar.

Soda(Na_2O) : Prensip olarak yoğun sodadan (Na_2CO_3) hazırlanır. Diğer kaynaklar NaHCO_3 , Na_2SO_4 ve NaNO_3 'tür. Sodyum nitrat'tan demiri yükseltmeye ve erimeyi kolaylastırmada yararlanılır.

Kireç (CaO) : Önemli kaynak CaCO_3 'tür. CaCO_3 'ün ısıtılarak bozulmasından elde edilir.

Feldspatlar ($\text{R}_2\text{O} \cdot \text{Al}_2\text{O}_3 \cdot 6\text{SiO}_2$) : Burada R_2O , Na_2O veya K_2O 'yu, veya bu ikisini karışım olarak içerir. Feldspatlar, alüminyum oksit kaynakları olan diğer maddelerin çoğundan çok daha üstünlükler sahiptirler. Çünkü ucuzdurlar, saftırlar, eriyebilirler ve camı oluşturan oksitlerden meydana gelmişlerdir. Eğer maliyet ikinci planda kalıyorsa sadece Al_2O_3 kullanılır. Feldspatlar ayrıca, Na_2O , K_2O ve SiO_2 'nin bir kısmında sağlamış olurlar. Al_2O_3 içeriği erime noktasını düşürür ve camsı durumunun bozulması olayını geciktirir.

Boraks : İkinci derecede öneme sahip bir unsur olarak, hem Na_2O 'lu, hem de B_2O_3 'lu camların yapımında kullanılırlar. Pencere camında ve düz camda miktarca çok az kullanılmakla beraber, günümüzde bazı cam kap tipleri için de yaygın olarak kullanılır. Kırılma indisini yüksek boraks camlarında vardır. Bunlar, diğer camlara oranla, düşük dispersiyon değerine ve yüksek kırılma indisine sahip olup, optik camı olarak kullanılırlar. Boraks, yüksek olan eritme özelliğinin yanında, genleşme katsayısını düşürmekle kalmaz, kimyasal dayanıklılığı da arttırır. Az miktarda alkali istenilen hallerde harmanlarda boraks yerine borik asit kullanılır. Bunun fiyatı ise boraksın fiyatının iki katıdır.

Sodyum Sülfat : Bir süre, miktar bakımından camın önemi az olan bir katkısı olarak kabul edilmiştir. Na_2SO_4 ve ay-

rica diğer sülfatlar, genelde bütün cam tiplerinde kullanılırlar. Na_2SO_4 'ün tank fırınlarında zorluk çıkan ve kaymak diye bilinen cürufü giderdiği gözlenmiştir. Sülfların sülflürlere indirgenmesinde karbon kullanılmalıdır. Habbeciklerin atılması ise As_2O_3 kullanılabilir. Sodyum veya potasyum nitratları demiri okside eder ve camda daha az görülmesine yol açar. Bu yüzden iyi kalitenin gereği durumlarda ve optikte kullanılır.

Cam kırıkları, bozuk camların, cam düzeltme işlemesinden kalan parçaların ve atık camların kırılmasından elde edilir. Erimeyi kolaylaştırır, daha homojen bir eriyik elde edilmesine ve atık camın yeniden kullanılmasına yardımcı olur. Miktarı min. % 10 ve max. % 80 kadardır.

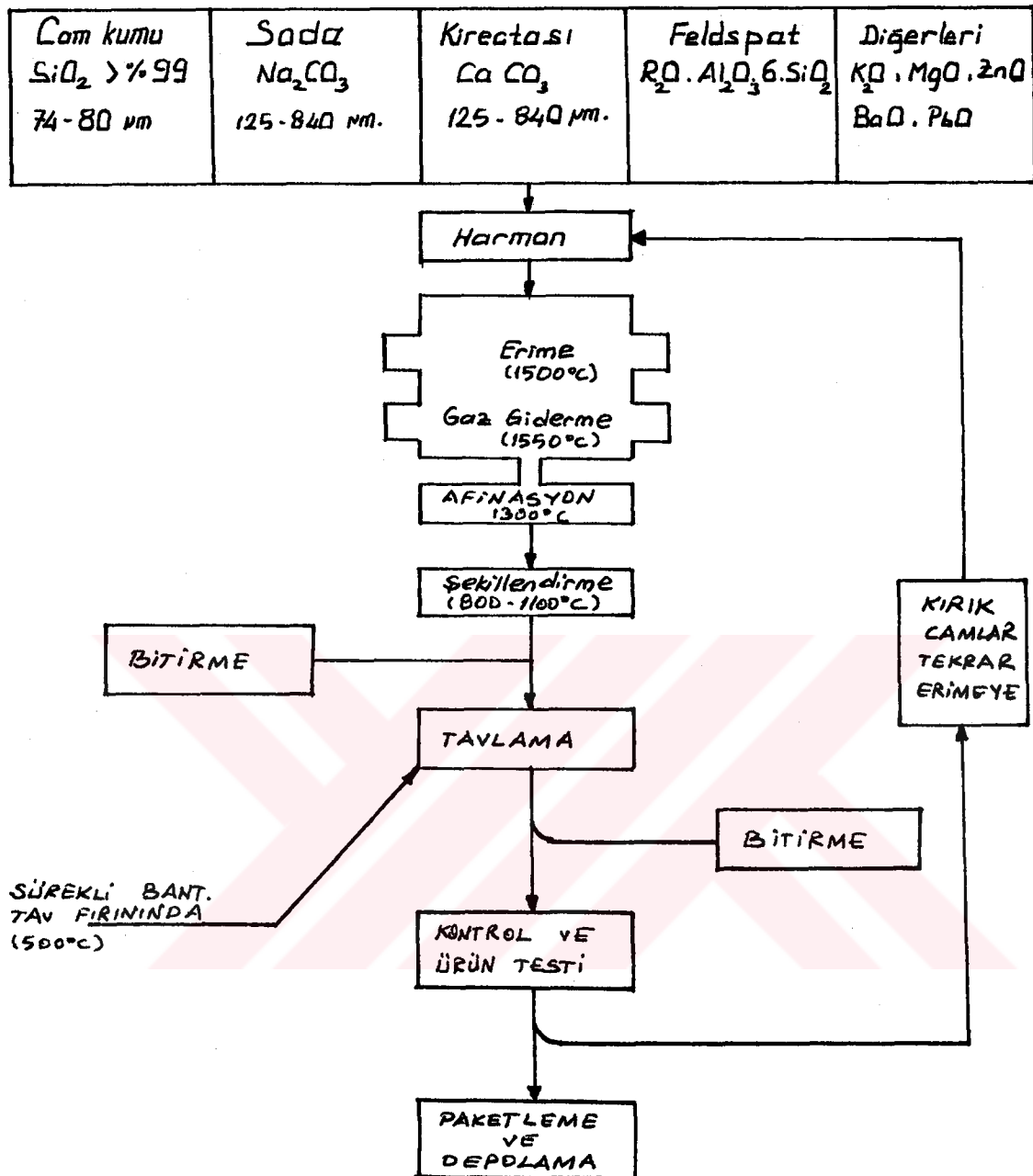
Camın Üretimi

Cam endüstrisi esas olarak, cam oluşturacak olan hammaddelerin yüksek sıcaklıkta homojen bir şekilde eritilmesine ve bu erimiş cama şekil verecek mekanik işlemlere dayanır.

Öncelikle daha önce sözü geçen hammaddeler ögütülür. Uygun oranlarda karıştırılır ve uygun fırılarda eritilirler. Bu sırada gelişen kimyasal reaksiyonlar şunlardır:

1. $\text{Na}_2\text{CO}_3 + \text{a}.\text{SiO}_2 \dots \text{Na}_2\text{O}.\text{a}.\text{SiO}_2 + \text{CO}_2$
2. $\text{CaCO}_3 + \text{b}.\text{SiO}_2 \dots \text{CaO}.\text{b}.\text{SiO}_2 + \text{CO}_2$
3. $\text{Na}_2\text{SO}_4 + \text{c}.\text{SiO}_2 + \text{c} \dots \text{Na}_2\text{O}.\text{c}.\text{SiO}_2 + \text{SO}_2 + \text{CO}$
4. $\text{Na}_2\text{SO}_4 + \text{C} \dots \text{Na}_2\text{SO}_3 + \text{CO}$
5. $2\text{Na}_2\text{SO}_4 + \text{C} \dots 2\text{Na}_2\text{SO}_3 + \text{CO}_2$
6. $\text{Na}_2\text{SO}_3 + \text{c}.\text{SiO}_2 \dots \text{Na}_2\text{O}.\text{c}.\text{SiO}_2 + \text{SO}_2 \dots (\text{R.1})$

Burada $\text{Na}_2\text{O}/\text{SiO}_2$ ve CaO/SiO_2 molar oranları değildir. Normal pencere camında molar oranlar yaklaşık 2 mol Na_2O 1 mol CaO ve 5 mol SiO_2 şeklinde dir. Diğer camlarda bu oranlar farklılık gösterir. Cam içerisinde kimyasal bileşikler yoktur ve cam esasında amorf, çok bileşenli, katı bir karışım ve aşırı soğutulmuş bir sıvıdır. Şekil 1'de cam üretiminin akım şeması gösterilmiştir.



Şekil 1. Cam üretimi akım şeması.

Sıcaklıklar, normal soda kireç camı için verilmiştir.

Yukarıda verilen şemadan ayrıca, tipik bir üretim ana basamakları şunlardır:

- 1.Hammaddelerin fabrikaya taşınması.
 - 2.Bazı hammaddelerin elenerek büyülüklüklerine göre ayrımı.
 - 3.Hammaddelerin depolanması.
 - 4.Taşıma, tartma ve hammaddelerin karıştırılması, bunların yükleme harmanı olarak cam fırınına verilmesi.
 - 5.Cam oluşumu için gereken yüksek sıcaklığı sağlamak üzere, yakıtın yakılması, hammaddelerin fırında camı oluşturmak üzere reaksiyona girmesi, regenerasyon ve rekuperasyon yolu ile, ısının bir kısmının geri kazanılması.
 - 6.Ürün camın şekillendirilmesi.
 - 7.Cam ürünlerinin tavlanması.
 - 8.Cam ürünlere bitirme işlemlerinin uygulanması.
- Taşıma ve karıştırma işlemlerinin tamamen kapalı, otomatik sistemlerle yapılması uygundur. Böylece, hammadde veya camın işlenmesi esnasında toz yayılması olmaz.

Üretim Yöntemleri

Üretim işlemleri 4 ana gruba ayrılır.

- 1.Eritme, 2.Şekillendirme, 3.Tavlama, 4.Bitirme.

I.1.Eritme

Ana maddeler hazırlandıktan sonra, ilk evredir. Gündümde eritme işlemi, kapasitesi max. 2 ton olan krözelerden, kapasitesi 1000 ton dolayındaki tank fırınlara kadar değişen olanaklarla yapılmaktadır. Fırınların yapımında kullanılan ateşe dayanıklı malzemeler, silis, alümin, zirkon gibi yüksek nitelikli refrakterlerdir.

Cam yapımı için kullanılan fırın tiplerinin genel olarak iki kısma ayrılması mümkündür. Pota ve tank fırını.

Cam fabrikaları genelde ya tek tür cam, ya da değişik türlerde cam malzeme üretimi yaparlar. Tek tür cam üretimi yapan bir fabrikada ürün miktarı önemli olduğundan, kapasitesi yüksek bir fırına gerek duyulacaktır. Değişik türlerde cam üretmesi gereken bir fabrikada ise, cam türleri önemli olduğundan ve her türlü camın da bileşimi farklı

olabileceğinden, çok sayıda krözeye gerek duyulacaktır. Bu nedenle, cam fabrikalarında tank (havuz) ve potalı fırın olmak üzere iki ayrı tipte fırın kullanılmaktadır.

1.1.a. Potalı Fırınlar

Cam türlerinin fazla olduğu, ancak, cam miktarlarının az olduğu üretim süreçlerinde havuz fırın kullanılması uygun değildir. Bu nedenle ayrı ayrı cam türlerine ait ana maddelerin eritildiği ayrı ayrı fırınlara gereksinim duyar. Bu durumlarda potalı fırın adı verilen krözeler kullanılır. Potalı fırınlarda ana madde miktarı max. 2000 kg. dolayındadır. Ancak, çok sayıda fırın kullanılan bu üretim süreçlerinde her potalı fırında ayrı tip cam bulunacak şekilde çok sayıda fırın kullanılır. Bu fırınlar, dışı demir, iç kısımları ise ateş tuğası kaplı krözelerden oluşmaktadır.

Pota fırınları kesintili yüklemeli tipten, ateşe dayanıklı fırın damına konmuş potalarda yapılabilen özel camların ufak çaptaki üretimleri veya erimiş camın yanma ürünlerinden korunması gereken durumlarda için yararlı bir şekilde kullanılırlar. Potaların açık olan ve bir kapak ile kapatılmış olan iki tipi vardır. 2000 kg. max. ana madde miktarına rağmen, genelde, 60-80 cm. yükseklik ve 1 m. genişlikte olup, bu ebatlarda, 400-800 kg. erimiş cam kapasitesine sahiptirler. Potalar, bir kısım yüksek derecede ateşe dayanıklı ham kil ve bir kısım pişirilmiş kilden yapılırlar.

Pota fırınları düşük kapasiteli olup, kesintili yüklemeli olarak çalıştırılırlar. Farklı tipteki camlar, farklı potalarda aynı anda eritilebilirler.

Potalar, ateşe dayanıklı chamotte tuğlalı fırınlarda ısıtilırlar. Fırınlar, Üst fırın (eritme bölgesi) ve regeneratorlerin izgara bölmeleri bulunan alt fırından ibarettirler. Potalar, üst fırın dögemesi üzerinde yan duvarlar yakınında bulunurlar. Bu tip fırınlarda Siemens regeneratif yakma işlemleri uygulanır.

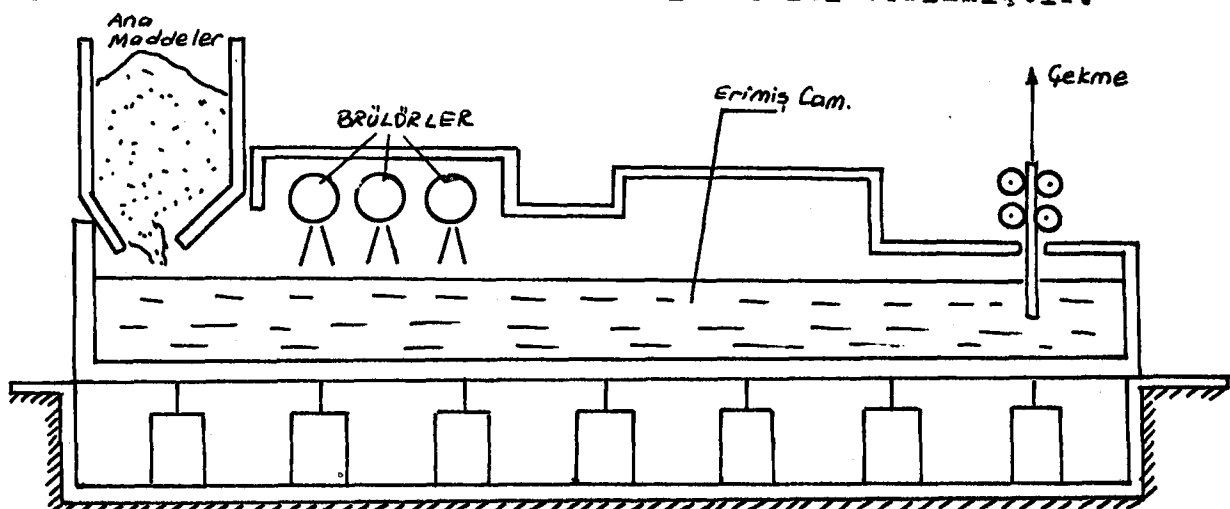
Bu fırınlara ileride daha geniş yer verilecektir.

1.1.b. Havuz Fırın (Tank Fırınları)

Çok miktarlarda cam üretilmesi gereken üretim süreçlerinde tank fırını adı verilen bir fırın kullanılır. Biçimi yönünden adeta bir yüzme havuzuna benzediği için havuz fırın da denilen bu fırında yaklaşık 800-1000 ton dolayında erimiş cam bulunur. (Çayırova cam fabrikasındaki tank fırının boyutları: boy 28m, en 7.2m, yükseklik 1.5m'dir). Camı oluşturacak ana malzeme özel bir itici mekanizma ile havuz fırının ağız kısmından içeri itilir.

Tank fırını, boyutlarına bağlı olarak değişen 800-1000 ton dolayındaki erimiş camın yapacağı mekanik ve ısıl etkilere göre tasarlanmış ve uygulanmış olmalıdır. Fırının tabanı, duvarları ve üstü evvelce bahsettiğimiz nitelikteki ateş tuğlalarından oluşturulur. Tank fırınına bir tarafından ana maddeler verilirken, diğer tarafından nispeten soğutulmuş cam, üretim için alınmaktadır. Camı oluşturan ana maddelerin sıcaklığı adı cam için 1500 C dolayında iken, bu sıcaklık silis camlarında ve potalı fırnlarda 1700 C'nin üzerine çıkar. Tank fırınında eritilen cam, brülörlerin bulunduğu bölgeyi geçtikten sonra, 1100 C sıcaklığı kadar soğutulmuş ve biçimlendirmeye uygun hale getirilmiş olur.

Şekil 2'de bir tank fırınının basit kesiti verilmiştir.



Şekil 2. Basit bir tank fırınının kesiti.

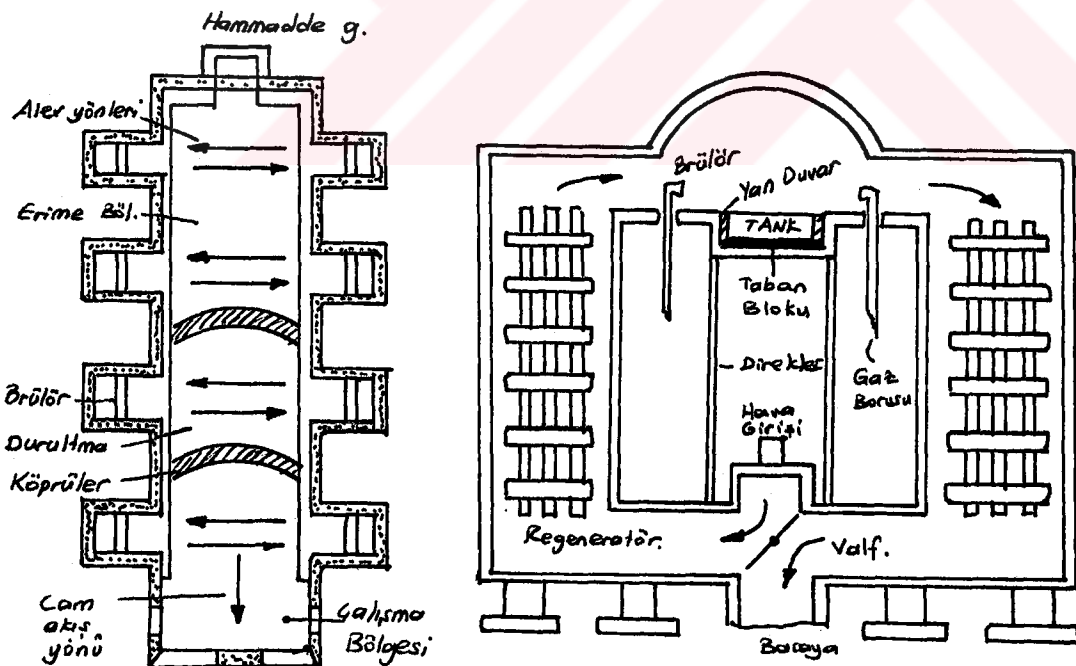
Devamlı olarak çalışan tank fırınlarında cam harmanı, üst kısımdan geçirilen alevler vasıtasyyla eritilir. Bu tip fırılarda tanklar, kalın chamotte tuğlalardan yapırlar. Karışım fırının bir ucundan devamlı olarak yüklenir. Eriyen ve erimiş cam, arıtma bölümüne akar. Burada, yüksek sıcaklık nedeniyle yüksek derecede akışkan hale gelir. Cam sonra çalışma bölgesine geçer ve burada prosesleme için gereken sıcaklığa kadar soğur. Bu tank fırınlarının bazalarında boyutlar, 38 x 9x 1.5 m. olup kapasiteleri 1500 ton erimiş camdır, ve üretim sürekliidir.

Isıtma, çoğunlukla, rekuperatif ve regeneratif sistemler ile ateşleme vasıtasyyla yapılır. Yakıt, generatör gazı veya kok fırını gazı, ABD'de ise doğal gaz veya petroldür. Ufak tank tipi fırılara günlük tanklar adı verilir. Bunlar, 1-10 ton erimiş cam alarak, günlük gereksinimi karşılarlar. Gaz ve elektrikle elektro-termik olarak ısıtilırlar. Elektriksel ısıtma, hidroelektrik güç santrallı ülkelerde, çoğunlukla, indirect direnç ısıtması veya direkt rezistans ısıtması vasıtasyyla yapılır. İkinci tipte, erimiş karışım bir direnç vazifesi görür. Buradaki sarfiyat, yaklaşık 1-2 kw/kg.cam'dır. Isı gereksinimi camın her kg.'ı için 2000-3000 kcal civarındadır. Bu tip fırılarda, potali fırılarda olduğu gibi, duvarlar sıcak camın etkisi altında zamanla aşınır. Camın kalitesi ve tankın ömrü, yapı bloklarının kalitesine bağlıdır. Bu yüzden, cam fırını refraktörlerine büyük önem verilir.

Cam fırınlarının daha önceki tipleri regeneratif fırınlar olup, iki dizi göz bölüm oda ile, çift devreli olarak çalışırlar. Alev gazları, erimiş cam içeren fırında, bir uçtan diğer uca geçerek, isılarını fırına ve rirler ve Şekil 3'te verilen, açık bulunan kafes tuğla örgüsüne verilirler. Burada gazların duyulur ısısının büyük bir kısmı alınır. Kafes tuğla örgülü kamara girişinde sıcaklık 1540 C ve çıkışında 650 C'dir. Aynı anda hava, önceden ısıtılmış olan regeneratif kamaradan geçirilerek, ön ısıtmaya sokulur ve yakılacak gaz yakıt ile karıştırılır. Meydana gelen alev sıcaklığı, on ısıtmaya sokulmamış

hava ile yapılmada oranla, çok daha yüksektir. 20-30 dakikalık periyodik aralıklarla, hava yakıt karışımı yön değiştirir, önceden ısıtılmış kafes tuğla örgülü kamaralar dan geçirilerek önce ısıtıılır ve yanıştan sonra ise, karşı yönde aynı tip kamarayı ısıtmak için, soğur. Bu regeneratif prensip yardımı ile, büyük miktarlarda ısı kazanılır ve daha yüksek sıcaklıklara erişilir.

Üretime başlayan bir fırının sıcaklığı, fırın yapımında kullanılan refrakterlerin cinsine bağlı olarak, her gün belirli bir miktar arttırılır. Regeneratif fırın bir kere ısıtıldıktan sonra, çalışma süresince en az 1200°C'de tutulmalıdır. Isının büyük bir kısmı, ışima yolu ile kaybolur ve cam eritmeye çok ufak bir kısmı kullanılmış olur. Fırın duvarlarının, ışima yoluyla bir miktar soğumasına izin vermemesi halinde, sıcaklığı çok yükselir ve erimiş olan cam, bu duvarları hızlı bir şekilde aşındırır veya çözer. Erimiş camın bu etkisinin azaltılması için, fırın duvarları içeresine, su soğutmalı borular yerleştirilir. Şekil 3'te Çapraz yakımlı bir tank fırını verilmiştir.



Şekil 3. Çapraz Yakımlı Tank Fırını.....(R.2)

I.2. Camın Şekillendirilmesi

Ana maddelerin hazırlanması ve eritme evrelerinden sonra sıra dinlendirilmiş cam hamurunun biçimlendirilmesine gelir. Ancak, adı cam ile yapılacak ürünlerin biçimlendirilebilmeleri için, sıcaklığın erime sıcaklığının altına düşürülmesi (yaklaşık 1100 C) gereklidir. Camın bu sıcaklıkta sahip olduğu viskozite, çalışma sıcaklığı olarak adlandırılan bir değerdedir. Bu viskozite, kabaca bal kıvamına benzetilmektedir.

Cam malzeme birçok yöntemle şekillendirilebilmektedir. Her cam malzeme, kendi yapısına uygun bir şekillendirme yöntemine tabidir. Ancak, bazı şekillendirme yöntemleri birçok cam malzeme için kullanılabilmektedir. Presleme yöntemi gibi...

Camın şekillendirilmesi, makina veya el kalıplaması ile olur. Makina ile şekillendirmeye, cam eşya cam makinası ile birkaç saniyede yapılır. Oldukça az olan bu süre içinde cam, viskoz bir sıvıdan katı ve saydam bir şekilde dönüşür. Bu nedenle ısı transferi, metallerin kararlılığı, yatak açıklığı gibi tasarım problemlerinin çözülmesi gerekmektedir. Böyle bir makinanın geliştirilmesi, cam mühendislerinin en önemli sorunudur. Aşağıda belirli şekillendirme yöntemlerinden bazıları verilmiştir.

I.2.1. Üfleme (Şişirme) Yöntemi

Bu yöntem, şekillendirme yöntemleri içinde en eski olanlarından birisidir. Bu yöntemde bir demir boruyla cam fırınından alınan cam hamuruna borunun diğer ucundan üflemek suretiyle biçim verilir. Bu işlem, cam hamurun iki parçalı bir kalıp içine üflenmesi suretiyle yapılabileceği gibi, kalıp kullanmadan demir borunun ucundaki cam hamurunun zaman zaman döndürülmesi suretiyle de yapılabilir. elde edilecek ürünü cam kalınlığı ve ebat, işlemi gerçekleştiren elemanların becerilerine bağlıdır. Çalışma sırasında, cam hamurun üflenip şişirilemeyecek derecede soğuyarak viskozitesinin artması halinde, cam, tavlama fırınına sokularak yeniden ısıtilır ve biçimlendirmeye uygun viskoziteye getirilir. Böylece biçimlendirme işlemine devam

edilir. Bu yöntem ile şişe, damacama vs.. yapılabılır. Fabrikasyon üretimde üfleme işi iki ya da üç parçalı kalıp içine makinalar yardımıyla yapılır.

I.2.2. Dökme-Silindirleme Yöntemi (Emprime Yöntemi)

Bu yöntem, cam hamurunun düzlem bir masaya dökülmesi ve daha sonra bu cam hamurunun üzerinden bir silindir geçirilerek levha haline getirilmesi ile uygulanır. Camın kalınlığını masanın iki kenarına yerleştirilen ve üzerinde cam hamurunu yayan silindirin yuvarlandığı iki metal çita belirler. Bu yöntem ile üretilen camların bir yüzü düz, diğer yüzü desenlidir. Bazı hallerde camın iki yüzü de desenli olabilir. Desenler, döküm masası üzerinde yuvarlanan silindirin üzerinde girinti, çıkıştı şeklinde olurlar. Silindirin yuvarlanması ile bu desenler cama geçer. Bu şekilde elde edilen desenler çok çeşitli olmakla birlikte hepsi bir anlamda baskı yolu ile sağlanığından bu camlara emprime camlar denir.

Camın desenini değiştirmek gereğinde camı masanın üstüne yayan silindirin değiştirilmesi yeterlidir.

Emprime cam biçimlendirildikten sonra soğutma tünelinde 60-70 °C'ye kadar soğutularak kenar kesme işlemleri yapılır ve standart boyutlara getirilir. Bu camlar yaygın bir ışık etkisi sağlamak üzere ilkin katedrallerdeki vitrallarda kullanıldığından bunlara katedral cam da denir.

I.2.3. Çekme Yöntemi

Günümüzde kullanılan ve doğrudan doğruya düz levha cam elde etmeye yönelik çekme yöntemlerinin esası, erimiş cam hamuru üzerine yatay durumda bir lama demiri atmak ve demir lamaya aderans ile yapışan cam hamurunu kohezyon kuvvetine bağlı olarak bir perde gibi yukarı çekmeye dayanır. Camın sahip olduğu kohezyon sayesinde 1.50 m. genişlikte ve max. 7mm. kalınlıkta cam levha bu şekilde çekilebilir. Daha kalın cam üretimi bu yöntemle gerçekleştirilemez.

Çekme yöntemi ile cam levha üretimi ortaya çıkış sırasına göre Fourcault, Libbey-Owens (Colburn), Pittsburgh adları ile anılmaktadır. Bütün bu yöntemlerde elde edilen

levha camın eşit kalınlıkta olma, yüzey düzgünliği gibi önemli özellikleri son yıllarda ortaya çıkan yeni teknolojilerle anlaşılmıştır.

I.2.3.1. Fourcault Prosesi

Çekme yöntemlerinin en eskisi 1902 yılında Belçika'da ortaya çıkan Fourcault yöntemidir. Bu yöntemde camın yukarı çekilmesi başlangıçta demir lama ile yapılmaktadır. Çekilen camın erimiş cam hamuru üzerinde yüzen ateşe dayanıklı refrakter malzemeden yapılmış debitöz denilen ortası yarık bir debi ayarlayıcısı ile beslenmesi sağlanmaktadır. Camın yüzey düzgünüğünün çok iyi olmasına karşın debitözün kenarları yüzeyde bazı izler bırakabilmektedir. Cam levhayı yukarı yürütmede, iki tarafta bulunan merdaneler birbirine ters yönde dönerek yardımcı olmakta, bu merdanelerin içinden su geçirilerek ısınan merdanelerin soğuması sağlanmaktadır.

Cam levha, 12-15 m. kadar yukarı çekildikten sonra, yeteri kadar soğumakta ve katılışmakta, daha sonra da yatay bir kesici ile kesilerek eşit boyda parçalara ayrılmaktadır. Otomatik olarak yapılan bu işlem sonucunda kesilen camların diğer kenarları da kesilmek ve gerekirse daha ufak boyutlara getirilmek suretiyle üretim bantı sona ermektedir. Ülkemizde 1963 yılında Çayırova'da üretime geçen cam fabrikası bu yöntemle pencere camı üretimi yapmaktadır.

Bu prosesste erime tankından alınan cam, çekme bölümüne alınıyor ve debitözle dikey olarak çekiliyor. Yarık ve debitöz yoluyla cam içeresine daldırılan metal bir olta, cam çekimini başlatır. Cam, yukarıya doğru aktığı sürece bir şerit gibi sürekli olarak çekilir ve yüzeyi, yakınında bulunan su borusu spiralleri ile soğutulur. Şerit, yukarıya doğru yoluna devam eder, destekleyici asbest kaplı çelik merdaneler arasından geçerek, 7-8 m. uzunluğundaki tavlama fırını bacasını kat eder. Tavlama bacasından çıkan cam, istenilen büyüklükte kesilir ve parlatmaya gönderilir. Şekil 4'te Fourcault Proses şeması verilmiştir.

I.2.3.2. Libbey-Owens (Colburn) Yöntemi

Bu yöntemle cam üretimi 1917 yılında Libbey Owens-^rord glass Co. tarafından ABD'nde ortaya çıkmıştır. Bu yöntemde Fourcault yöntemindeki cam üzerinde yüzeyde debitöz kaldırılmış, yukarı çekilen cam foyünün kenarlarına birbirine ters doğrultuda dönen ikişer merdane yerleştirilerek değişiklik yapılmıştır. Böylece cam foyünün sabit tutulması sağlanmıştır. Bu yöntemdeki diğer önemli değişiklik cam foyünün 1.5 m. yüksekliğe kadar düşey olarak çekildikten sonra 90 derece döndürülerek yatay hale getirilmesidir. Bu değişiklikten ötürü cam foyünü 90 derece döndüren merdane büyük önem kazanmaktadır. Çünkü, cam foyünü düşeyden yataya çeviren merdanenin sıcaklığı düşük ise cam foyü kopabilemekte, gereğinden sıcak ise cam foyünün merdaneye degen alt yüzünde debitözün bıraktığı izlere benzeyen izler kalmaktadır. Bu yüzden merdanenin sıcaklığının mümkün mertebe sabit tutulması gerekmektedir. Bundan sonraki üretim aşamalarında Fourcault prosesinden farklı bir olay yoktur. Levha cam motor gücü ile çalıştırılan 200 tane silindir yardımıyla, düzgünleştirme masası ve yatay tav fırınından geçirilir ve sonunda kesme masasına gelir. Şekil 5'te ise bu sistem verilmiştir.

I.2.3.3. Pittsburgh Yöntemi

Bu yöntem levha camı üretiminde 1925 yılında olumlu sonuç vermiştir. Bu yöntem camın düşey olarak çekilmesi ile Fourcault yöntemine, debitözün kaldırılması ile de colburn yöntemine benzer.

Elde edilen levha cam üzerinde herhangi bir iz olmamakta ve mükemmel parlaklıktır bir levha cam üretilmektedir.

I.2.4. Float Cam Yöntemi (Yüzdürme Yöntemi)

1960'lı yılların sonlarında ilk kez İngiltere'de uygulanmaya başlanan bu yöntem ile levha cam üretiminde kullanılan diğer yöntemlerle elde edilemeyen nitelikte levha cam üretilmiştir. Bu yöntemlerle elde edilen levha camlarda yüzeyler birbirine tam paralel olmakta, cam yüzeyleri çok düzgün ve parlak olarak alınmaktadır. Sonradan herhangi bir

parlatma ve benzeri işleme gerek kalmamaktadır.İngiltere, Fransa, Belçika, İtalya ve Almanya'da da uygulamaya başlanan bu yöntem, 1983 ve 1984'te ülkemizde Trakya Cam Fabrikasında gerçekleştirilmiş ve üretime başlanmıştır.

Havuz fırında eritilen ana maddeler, buradan yatay olarak çekildikten sonra içinde eritilmiş kalay bulunan ikinci bir havuzdan geçirilir.Erimiş cam, Erimiş kalaydan daha düşük yoğunlukta olduğu için, cam kalayın üzerinden adeta yüzerek çekilir.Elde edilecek camın yüzey düzgünliği, üst yüz için sıcaklığın etkisine, alt yüz için ise erimiş cam kalay temasına bağlıdır.Erimiş kalay üzerinden geçtikten sonra cam levha yeniden ısıtılmakta ve en sonunda standart boyutlarda kesilmekte ve üretim tamamlanmaktadır.Yüzey geriliğin yasasına göre erimiş cam, erimiş kalay üzerinde yatay olarak yüzdüğünde 6mm.'lık bir kalınlık sağlanır ki, bu geçerli bir kalınlıktır.Ancak bazı fiziksel ve mekanik parametreleri değiştirmek suretiyle, bu yöntemle üretilen cam levha büyülüğu 4-10 mm. Arası kalınlıkta cam üretilebilmektedir.Bu yöntemle üretilen cam levha büyülüğu 3-15 m. genişlik ve 5-10 m. boyda olabilmektedir.

Yüzdürme bölümü girişinde sıcaklık, cam akacak kadar yüksektir.Alt yüzey, temas eden erimiş metal tarafından düzgünleştirilir.Ust yüzey ise, kendi ağırlığı altında düzgün bir hal alır.Düzensizlikler akış tarafından düzeltirken, cam yüzeyinin yüksek bir sıcaklıkta tutulması tekniğine, alev parlatması denir.Bu şekilde üretilen yüzeyin kalitesi, mekanik silme ve parlatma ile üretilene o kadar yakındır ki, pek çok uygulamada, parlatılmış cam levhanın yerini yüzdürme cam almaktadır.Şekil 6'da bu sisteme beraber, Fourcault prosesinde kullanılan debitöz düzeneği verilmiştir.

I.2.5. Lif Haline Getirme Yöntemi

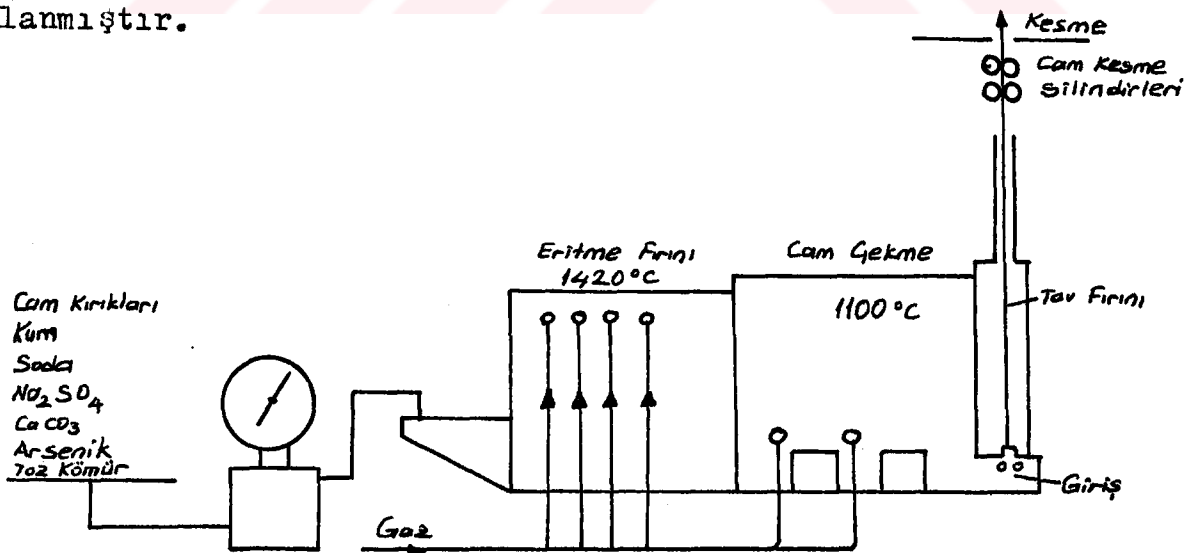
Camın lif haline getirilebilmesi, camın kullanılabilme alanlarını oldukça genişletmiştir.Özellikle ısı yalıtmında ve ses emilmesinde Cam lifleri önemli yararlar sağ-

lar. Lif haline getirilen cam, normal cama göre farklı özellikler kazanmakta, büyük bir esneklik ve aynı zamanda yüksek bir çekme mukavemetine sahip olmaktadır.

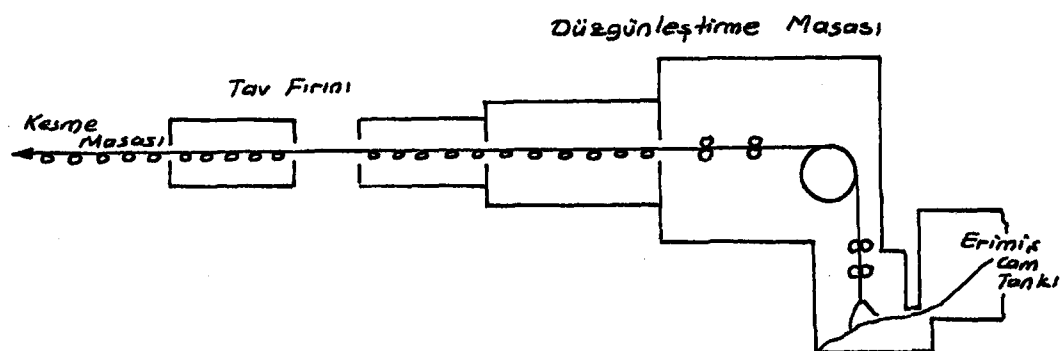
Camın lif haline getirilmesi için önceden bilye haline getirilmiş olan cam, altında küçük delikler bulunan uzun bir tekne biçimindeki ateşe dayanıklı refrakter malzemeden yapılmış bir tekne içine konur. Isıtılarak eritilen cam bilyeler, teknenin altındaki deliklerden aşağı doğru akarken büyük bir yüzey gerilim kazanarak çok inceılır ve lif haline gelir. Lif haline gelen ve soğuyan cam alttaki bir silindir üzerine sarılır. Daha sonra silindir üzerinden alınan cam lifleri ile değişik nitelikteki cam malzemeler üretilir. Yukarıdaki tekneden eriyerek akan ve lif haline gelen cam üzerine basınçlı buhar üflendiğinde cam lifleri savrularak birbirine karışır ve pamuk görünümü alır. Buna cam yünü denir. Savrulan cam yünü chamotte dan yapılmış bir tambura verilip bir kez daha savrulunca, mamül cam yünü elde edilir. Cam lifleri dokumacılıkta da kullanılabilir.

Bu önemli yöntemlerin haricinde presleme ve köpük haline getirme yöntemleride kullanılmaktadır.

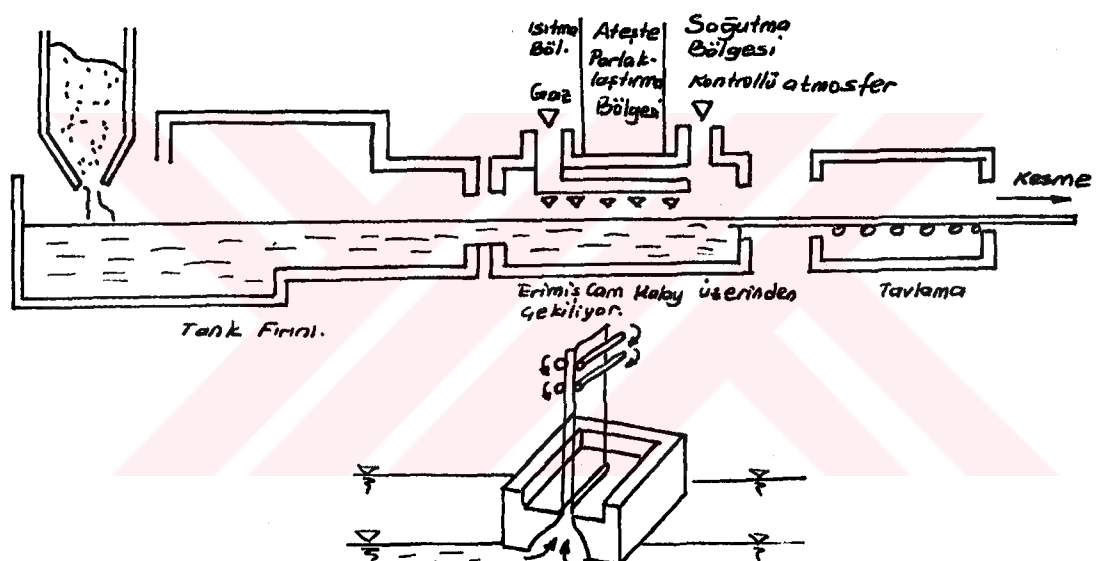
Şekil 7'de lif haline getirme yöntemi şematik olarak açıklanmıştır.



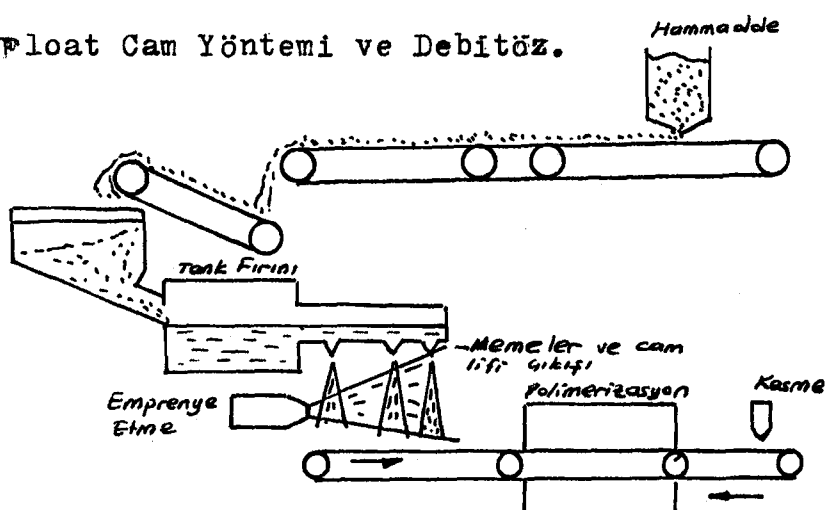
Şekil 4. Fourcault Prosesi.



Sekil 5. Colburn Prosesi.



Sekil 6. Float Cam Yöntemi ve Debitöz.



Sekil 7. Lif Haline Getirme Yöntemi.

Bazı Şekillendirme yöntemlerinin verilmesinden sonra üretim akımının diğer aşamalarından tavlama ve bitirme işlemleri verilecektir.

I.3. Tavlama

Cam malzeme üretiminin bir diğer aşaması olan tavlama biçimlendirmeyi izleyen ve zorunlu olan bir işlemidir. Amacı, fabrikasyon üretim sırasında cam soğurken meydana gelen gerilmeleri, Özenle kontrol edilen bir ısıl işleden geçirerek yok etmektedir.

Tavlama işlemi tepeden ısıtılan sürekli bir kanal içinde camı yeniden ısıtarak, iç gerilmelerin giderilmesi sağlanıncaya kadar bekletmek ve daha sonra da yavaş yavaş soğutarak uygulanır. Sıcaklığın düşürülmesi belirli bir soğutma programına göre yapılır. Hemen her tür cam eşyada bu şekilde tavlamak suretiyle, oluşan iç gerilmeler giderilmiş olur. Bazı biçimlendirme yöntemlerinde biçimlendirme sırasında camın soğumasıyla yeniden ısıtılması gerekebilir. Bu işlem, hem el, hem de makina yardımıyla şekillendirilen eşyalar için yapılır. Tavlama, kısaca iki işlemden oluşmaktadır.

1. Bir cam kütlesini, plastik akım yoluyla, önceden belirlenmiş max. bir iç gerginliğe düşebileceği yeterli bir süre, belirli bir kritik sıcaklığın üzerinde tutmak, ve
2. Cam kütlesini, bu max. gerilmenin altında tutmaya yeterli bir şekilde, yavaş yavaş oda sıcaklığına kadar soğutmaktan ibarettir. Tavfirini, dikkatli bir şekilde tasarlanmış, ısıtılan bir odadan başka birsey değildir. Soğuma hızı, daha önce açıklanan gereksinmeleri karşılayabilecek şekilde, kontrol edilebilmektedir. Gerilme ile, gerilme tarafından oluşturulan kırılıklık arasında, sayısal bir bağıntı kurulması, cam teknoloğlarını mekanik ve ısıl gerginliklere dayanabilecek camlar tasarlamaya yöneltmiştir. Önceki bilgileri esas alan mühendisler, sürekli bir tavlama cihazı üretmişlerdir. Otomatik sıcaklık düzenlenme ve kontrollü dolasım, daha az ürün kaybı ve daha düşük yakıt gideri karşılığında, daha iyi bir tavlama sağ-

lamıştır.

I.4. Bitirme İşlemleri

Her tip tavlanmış cam ürün, belirli bitirme işlemle-rine sokulmalıdır. Bunlar oldukça basit olmalarına karşın çok önem taşırlar. Temizleme, yüzey silme ve parlatma, kesme, kum püskürtme, emayeleme, sınıflandırma ve ölçme işlemleri, bu kapsama girer. Bunların tümü, hemen her tip cam ürün için gerekli olmamakla beraber, biri veya birkaçı için daima gereklidir.

I.5. Özel Camların Üretimi

Bu kısımda ise erimiş silika camı, yüksek silikalı cam, dağılmaz emniyet camları, optik camlar gibi bazı özel tip camların üretimi anlatılacaktır.

5.1. Erimis Silika Camı (Camsı Silika)

Saf silikanın eritilmesiyle yapılır. Fakat bu gibi ürünler çoğunlukla kabarcıklıdır ve saydam bir şekilde üretilmeleri zordur. Günüümüzde, silisyum tetra klorürün ($SiCl_4$) buhar fazında yüksek sıcaklık pirolizi yoluyla ve Corning kuruluşu tarafından üretilmektedir. Reaksiyonun yüksek sıcaklığı, istenilmeyen yabancı maddelerin uzaklaştırılmalarına neden olur ve 100 milyonda 1 kısım yabancı madde içeren eritmİŞ silika verir. Bu cam, düşük ıslık genleşmesi nedeniyle teleskop aynalarının yapımında kullanılır.

5.2. Yüksek Silikalı Cam

Vycor olarak bilinen bu ürün, bileşim ve özellikler yönünden eritmİŞ silikaya yaklaşan bir cam üretimi yolunda, önemli bir gelişme sağlamıştır. Tüm işlemleri tamamış ürünler, % 96 silika ve % 3 bor oksitten, geri kalan ise, alümina ve alkaliden oluşmuştur.

5.3. Dağılmaz Cam (Emniyet Camı)

Dağılmaz camların iki genel tipte toplanması mümkündür. Çok katlı dağılmaz camlar veya tavlanmış ya da su versilmiş camlar.

Bu tipler, ayrı ayrı incelenecək olursa;

a) Çok katlı dağılmaz cam: Günümüzde çok yaygın bir şekilde kullanılmakta olan çok katlı dağılmaz cam, her biri 3 mm. kalınlıkta iki ince cam levhadan oluşmakta ve bunlar arasında, kırılmayan plastik bir maddeden yapılmış, esnek bir levha bulunmaktadır. Plastik ve cam yıkanır, sonra cama bir yapıştırıcı sürüldür. Cam ve plastik levhalar, kenarları kapanmak için, orta derecede bir sıcaklıkta birlikte sıkıştırılırlar. Cam, bir otoklav içerisinde, yüksek sıcaklık ve hidrolik basınç etkisinde bırakılır. Bunun amacı, iç tabakaları çok yakın temasa geçirmektir ve bundan sonra, üç katlı bir cam levhanın kenarları, suya dayanıklı bir bileşik tarafından kapatılır.

Çok katlı dağılmaz cam üretiminde kullanılan cam, normal pencere camı ile aynı fiziksel özelliklere sahiptir. Dağılmaz cam özelliği, yalnızca ara tabaka olan plastikten kaynaklanır ve bu tabaka, kırılan camın dağılmmasını öner. Endüstriyel olarak kullanılan ilk plastik, selüloz nitrat olmuş ve bunun yerini selüloz asetat almıştır. Günümüzde hemen tüm dağılmaz camlarda, polivinil butiral reçinesi kullanılmaktadır. Bu vinil plastiği, selüloz asetatından daha esnektir. Çünkü, oldukça düşük gerilme altında, esneklik sınırına kadar uzayabilir ve bundan sonra, ancak büyük gerilme altında başarısız olur. Her türlü kullanılma şartları altında, saydam ve renksiz kalmaya devam eder. Güneş ışınından etkilenmez ve üretiminde, yapıştırıcıya veya suya dayanıklı maddeye gerek göstermez.

b) Tavlanmış ve güçlendirilmiş cam: Çok sağlam ve dayanıklıdır. Kapılarda, otomobil camlarında, cam boru yapımında kullanılır. Yüksek iç gerginliklere sahiptir ve kırılacak olursa parça parça dağılır. Üretiminde kontrollü tavlama yer alır ve bu suretle, düzgün olmayan geriliplerin yerini, düzgün, kontrollü ve düşük düzeyli gerilipler alır. Bu tür camlar, yüksek basınçlara dayandıkları halde, düşük gerilmelerden zarar görürler. Fiziksel tavlama, eski tavlama yönteminin, geliştirilmiş bir şeklidir ve daldırma yönteminden daha az etkilidir. Yeni şekillenmiş cam kap veya levha, 430 °C gibi, yumuşama noktasının hemen altında

bir sıcaklığa ısıtılır ve daha sonra hava, erimiş tuz ve ya yağa batırılarak tavlanır. Bu tavlama işlemi esnasında, camın dış kısmı veya yüzeyi hızlı bir şekilde soğur ve sertleşirken, iç kısmı sürekli bir şekilde daha yavaş soğur ve dış kısmı, dış yüzeyi kendine çekip sıkıştırırken, kendisini düzenleyen bir gerilim oluşturur ve sağlamlığın üç kat artmasını sağlar. Fiziksel araçlarla sağlanmış gerilimleri iki katına çıkarır. Bu işlem, sodyum camının, erimiş lityum tuzu banyosuna daldırılması ve camın dış yüzeyinde, iyon değişimi yapılması şeklindedir. Bunun sonunda, camın dış yüzeyi lityum camı ile ve iç kısmı sodyum camı ile oluşur. Lityum camının daha düşük bir genleşme katsayısına sahip olması ve bu yüzden, soğuma ile oluşan çekmenin, içteki sodyum camından daha az olması, yüzeyi basınç altında bulunan bir ürün verir. Bu şekilde tavlanmış camlar eğilebilir ve bükülebilirler. Normal camlar gibi kolay kırılmazlar. Bunlar, normal camlara oranla daha sağlam olup, üç kat daha mukavimdirler.

5.4. Optik Camlar

Yüksek derecede homojenliğe ve özel bileşime sahip camlar, optik camları oluştururlar ve bunlar, önceden kararlaştırılmış belirli bazı özellikler gösterirler. Optik karakteristikleri, bilimsel cihazlarda kullanılabilecek kadar iyi düzenlenmiştir. Optik camlarda şu özellikler bulunmalıdır:

1. Bileşimleri, istenilen optik özelliklerini vermelidir.
2. Parti, yeteri derecede düşük viskozitede cam üretmeliidir.
3. Cam, uzun bir süre tavlansa bile, camsı karakterini kaybetmemelidir.
4. Renk giderici kullanmaksızın mümkün olduğunca renksiz ürün vermelidir.
5. Kabarcıksız ve çukursuz olmalıdır.
6. Silme ve parlatma konusundaki özelliklerini uygun olmalıdır.
7. İklim koşullarına karşı dayanıklı ve uzun ömürlü olmalıdır.

Optik camların eritilmesinde, tekrar kullanılabilen platin potalardan yararlanılır. Bunlar çok aşınırlar ve kirletmeye neden olurlar veya az aşınırlar ve kirletmezler. Bu konuda, platin astarlı tanklar da kullanılmaktadır. Aslen, her parti, "T" şeklinde ve cam içine daldırılmış elektrotlar tarafından ısıtılarak eritme yapılmaktadır. Berrak bir durum aldıktan ve karıştırıldıktan sonra, şekillendirilerek üretim tamamlanır.

5.5. Temperlenmiş (Ön Gerilmeli) Cam Üretimi

cam malzemenin mekanik şoklara dayanıklı hale getirilmesi için uygulanan işleme temperleme denir. Temperlenmiş cam yapmak için cam plaka, atomlar arasındaki gerilimlere kendisini ayarlayacak kadar yüksek sıcaklığa ısınılır ve hava üflenerek veya yağda su vererek soğutulur. Camın sözkonusu ısıtma sıcaklığı 700 C civarındadır. Sıcaklığın azalmasıyla yüzey büzülür ve sertleşir. Ancak iç kısım sıcak kalır ve yüzeydeki büzülmeye kendini uydurur. İç kısmın da soğumasıyla cam levhanın her iki yüzünde basınç, iç kısmında ise çekme gerilmeleri oluşur.

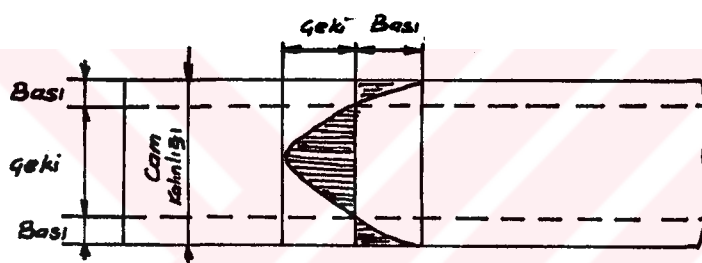
Anı soğutma uygulanarak cam levhanın temperlenmesi sonucunda cam levha 300 C'lik bir ısıl şoka da dayanabilecektedir. Halbuki temperlenmemiş camda 30-50 C'lik bir ısıl şok camın kırılmasına neden olabilmektedir. Temperlenmiş camların mekanik olarak test edilmesinde uygulanan yüksek bilya düşürme deneyinde, temperlenmiş 6 mm.'lık bir cam, 2m. yükseklikten düşen 500 gr. ağırlığındaki bir çelik bilyanın etkisiyle kırılırken, temperlenmemiş cam aynı deneyde 30-40 cm. yüksekten düşen aynı ağırlıkta bilya ile kırılmaktadır. Böylece temperlenmiş camın darbelere karşı dayanımı yaklaşık 7 kat artmaktadır. Ayrıca eğilme dayanımı ise 5 kat artmaktadır.

Temperlenmiş camın soğutulması 1970 yılına kadar fırın içinde düşey durumda asılmış olarak yapılmıyordu. Bu soğutma sisteminin bazı yararları olmakla birlikte,

- Askı noktalarında gerilmeler oluşması,
- Cam levhanın büyük boyutlu ve ağır olması halinde ısıtma süresinin uzaması ve askı noktalarının kulak oluşturması,

-Cam levha boyutlarının fırın ölçülerine bağlı olarak, 2.75/3 m² den daha büyük yapılamaması. gibi önemli nedenlerle düşey olarak ısıtma ve de soğutma sistemi terk edilerek yatay sisteme geçilmiştir. Bu sisteme levha camlar fırın içinde, rulolar üzerinde yatay olarak hareket etmekte ve yüzeyleri ısıtıldıktan sonra ani olarak soğuk hava ile soğutulmaktadır. Böylece evvelce söz konusu olan deformasyonlar ortadan kaldırılmış olmaktadır.

Bu camların kırılabilmesi için herhangi bir çatlak ya da çizginin derinliğinin basınç altında bulunan yüzey kalınlığından içeri girmesi gereklidir. Bu durumda çatlak kendine anı olarak ilerler ve tüm cam bezelye tanesi büyüğünde kırılır. Şekil 8'de bu camlara ait gerilme diagramı görülmektedir.



Şekil 8. Temperlenmiş cam gerilme diagramı.

I.6. Camın Renklendirilmesi

Cam malzeme istendiğinde renkli olarak da üretilebilir. Renklendirme birbirinden farklı yöntemlerle gerçekleştirilebilir.

Birinci ve en yaygın yöntem, cam eriyiği içine bu eriyiği renklendirecek olan değişik renk vericiler katılmasıdır. Böylece camın tamamı renklendirilmiş olur. Bu yöntemle renklendirilmiş levha camlarda bir koyuluk farkı olmasına karşın, numaralı gözlük camlarında kenar ve orta kısımlar arasında koyuluk farkı olmuştur. Bu yöntemle renklendirilen camlara katılan metal oksit miktarı % 0.001-4 arasında değişir. Aşağıda camın renklendirilmesinde kullanılan renk vericiler, camdaki yüzdesi ve cama verdiği renk gösterilmiştir.

Bakır	% 0.03-0.1	karmen kırmızısı.
Bakır oksit	% 0.2-2	mavi, yeşil.
Kadmiyum sülfo selenit	% 0.03-0.1	karmen k., turuncu
Demir oksit	% 4'e kadar	sarı, yeşil
Kadmiyum sülfit	% 0.03-0.1	Sarı.
Krom oksit	% 0.05-0.2	Yeşilden, sarı yeşile
Altın	% 0.01-0.03	Karmen kırmızısı
Demir oksit	% 1-2	Amber (bal)
Manganez oksit	% 2-4	Amber (bal)
Uranyum oksit	% 0.1-1	Sarı, fluoresan yeşili.
Manganez oksit	% 5-3	Pembe.
Nikel oksit	% 0.05-0.5	Kahverengi ve mor.
Neodimiyum oksit	% 2'ye kadar	Pembe.
Kobalt oksit	% 0.001-0.1	Mavi.....(R.2).

Camın renklendirilmesinde uygulanan ikinci yöntem, camın eşit kalınlıkta bir renkli cam tabakasıyla kaplanmasıdır. Bu yöntemle renklendirilmiş numaralı gözlük camlarında kenar ve orta kısımlar arasında koyuluk farkı olmamaktadır.

Camın renklendirilmesinde uygulanan üçüncü yöntem, camın emaye boyası ile boyanıp, fırınlanmasıdır. Bu yöntemde seramik sıri niteliğindeki emaye boyası, belli bir yöntemle cam üzerine kaplandıktan sonra, fırına konur ve 550-600 C'de ısıtilır. Böylece görüntü göstermeyecek bir boyaya tabakası cam üzerine tesbit edilmiş olur. Bazı hallerde emaye boyası daha önceden kağıt üzerine baskı yolu ile basılır ve bu baskılı kağıt cam malzeme üzerine yapıştırıldıktan sonra malzeme fırına konur. Cam eşya, özellikle meşrubat şişeleri ve bardaklar üzerine bu yöntemle yazı ve desenler yapılmaktadır.

I.7. Bazı Cam Türleri

7.1. Soda Kalsık Camı

Bunlara soda kireç camları da denir. Tüm dünyada üretilen camların % 90'ını teşkil ederler. Ucuz ve kolayca şekillendirilebilmesine karşın, ıslık şoklarına mukavemet ve kimyasal stabilité gerektirmeyen haller dışında kullanılır.

Her tip kap, oto camı, mutfak eşyası yapımında kullanılırlar. Bileşimi, % 70-74 SiO₂, % 5-13 CaO ve MgO, % 13-16 Na₂O. Bu oranlardaki ürünler erimek için çok yüksek sıcaklıklara gerek göstermezler. Bütün düz camların fiziksel kalitesinde, düzgünliğin artması ve gerilmelerin önlenmesi sağlanmış fakat, kimyasal bileşimde büyük bir değişiklik olmamıştır.

7.2. Kurşun Camları (Kristal Camlar)

Yüksek olan kırılma indisleri ve ışık dağıtımları nedeniyle, optikte önemlidirler. Sodakalsik camındaki kireç yerine PbO geçtiğinde geniş bir uygulama alanı olan kurşun camı elde edilmiş olur. Kurşun miktarı % 92, yoğunluğu 8 ve kırılma indisleri 2.2'ye kadar olan camlar yapılmıştır. Sodakalsik camında % 15 oranı ile sınırlı olan CaO yerine geçen PbO, % 80 oranının üzerine çıkabilemektedir. PbO, camın erime noktasını düşürerek, yumuşama noktasını CaO'lu camların kinin de altına düşürür. Ayrıca cam kolay işlenebilme, ışığı yansıtma ve yayma özelliği kazandırır. Cam eşyanın parlaklığını kurşun miktarına bağlıdır. Kurşun oksit miktarının % 80'i aştiği kurşun camı özellikle δ ve χ işinlarından korunmak için kullanılmaktadır. Kurşun camlarının pahalı oluşları nedeniyle günümüzde bu camların yerine mümkün mertebe BaO kullanılmaktadır.

Boşluk teknığında kullanılan bileşim: % 56.6 SiO₂, % 1.4 Al₂O₃, % 30 PbO, % 4 Na₂O, % 8 K₂O.

Düşük eritme sıcaklığından ötürü cam kaynağında kullanılan cam bileşimi: % 6 SiO₂, % 13 B₂O₃, % 81 PbO.

7.3. Borosilikat Camları

Bu camların nispeten yüksek bir yumuşama noktası vardır. Buna karşın, ıslık noktaları karşı büyük bir mukavemet sağlayan büyük bir genleşme katsayısı, su ve asitlere karşı çok iyi mukavemet göstermesi, üstün elektriksel özellikler ile dikkat çekicidir. Bu özellikler, borosilikat camlarının, laboratuar cam eşyası, mutfak eşyası, astronomik aynaların yapımında kullanılmasını sağlamıştır. Ateşe dayanıklı, tungsten, molibden, demir, nikel, kobalt

gibi alaşımalarla kullanılabilmektedir.

Çoğunlukla % 13-28 B_2O_3 , % 80-87 silika'dan oluşurlar. Elektriksel direngleri yüksektir. 3 tip borosilikat cam bileşimi vardır.

1.Pyrex Borosilikat: % 80.5 SiO_2 , % 12.9 B_2O_3 , % 2.2 Al_2O_3 , % 3.8 Na_2O , % 0.4 K_2O .

2.Tungsten Borosilikat: % 67.3 SiO_2 , % 24.6 B_2O_3 , % 1.7 Al_2O_3 , % 0.2 MgO , % 4.6 Na_2O , % 1.0 K_2O .

3.Kovar Borosilikat: % 68.9 SiO_2 , % 21.4 B_2O_3 , % 2.3 Al_2O_3 , % 0.2 PbO , % 2.8 Na_2O , % 4.4 K_2O .

7.4. Alümino-Silikat Camları

Bu camlar, % 20'den biraz fazla alümin, az miktarda bor, bir miktar kireç ve magnezit, ve çok az alkali içерirler. Bazı durumlarda, alkali bünyeye girmeyebilir. Ancak, alkali bulunmaması durumunda bu camların eritilmesi ve işlenmesi borosilikat camlarından daha güç hale gelir.

Yumuşama noktasının yüksek ve dilatasyon katsayısının küçük olması, bu camların termometre, yanma tüpleri ile alevle doğrudan temas edecek her türlü parçanın yapımında özellikle kullanılmasını sağlamaktadır.

Boşluk tekniğinde, yumuşama noktasının yüksekliği nedeniyle projeksiyon ampulleri ve saydam fosforlu katot tüplerinde, ayrıca, yüksek sıcaklıkta dielektrik kayıplarının küçüklüğü ve yine yumuşama noktasının yüksekliği nedeniyle kullanılmaktadır.

Bileşimleri: % 57 SiO_2 , % 4 B_2O_3 , % 20.5 Al_2O_3 , % 5.5 CaO , % 12 MgO , % 1 Na_2O .

7.5. % 96 SiO_2 içeren Silis Camı

Özellikleri yönünden saf silis camına benzer ve fabrikasyon tekniği yönünden büyük hüner gerektirir. Geleneksel camların bir kısmı ile gerçekleştirilebilen presleme yöntemleri ile şekillendirme bu camlara da uygulanır. Dilatasyon katsayısı daha önce açıklanan camların kinden küçüktür. % 99 SiO_2 içeren silis camından büyüktür. Ateşe dayanıklıdır. Bu cam, çok saydam olduğu için, ultraviole ışınlarını çok iyi geçirir. Bu yüzden, u.v. lambaları ile

bazı özel tip lambaların üretilmekte kullanılır.

Bileşimleri: % 96.3 SiO₂, % 2.9 B₂O₃, % 0.4 Al₂O₃, % 0.2 Na₂O, % 0.2 K₂O.

7.6. % 99 SiO₂ içeren Silis Camı

Bu cam, çok saf kuvars kumunun herhangi bir eritici madde olmadan eritilmesi ile elde edilir. Bu camın üretimi ve özellikle biçimlendirilmesi 1750°C gibi çok yüksek sıcaklıkta çalışılmasını gerektirdiği için çok zordur. Bu yüzden üretilen nesnelerin şekilleri ve boyutları sınırlıdır. Genleşme katsayısı çok küçük, yumuşama noktası çok büyütür. U.V. ışınlarını iyi geçirir. Dielektrik özellikleri çok iyidir, ancak, fiyatı çok yüksektir. Bu yüzden elektronikte çok sınırlı olarak kullanılırlar.

Mevcut camlar içinde ısıl şoklara karşı en mukavim camdır.

I.8. Camın Özellikleri

I.Fiziksel Özellikleri

1.a.Yoğunluk

Binalarda kullanılan normal camların yoğunlukları, 2500 kg/m³'tür. Bazı özel kullanım amaçları için daha yoğun camlar gereklidir. Laboratuarlarda X ışınları ile çalışıldığında, 4600 kg/m³ ve % 50 PbO içeren camlar kullanılır. Bu ışınlarla yapılan çalışmalarla, seyir pencereleri için 6000 kg/m³ lük camlar kullanılır.

1.b.Sertlik

Mohs sertliğine göre camın sertliği ortoz (6) ile kuvars (7) arasındadır. Bu düzeydeki sertlik, camda iyi bir aşınma direnci kazandırır. Böylece parlak yüzeyli cam ürünler, saydamlığını muhafaza ederler. Normal pencere camı için Mohs sertlik değeri 5.5 dolayındadır.

1.c.Lineer Dilatasyon Katsayısı

Camın lineer dilatasyon katsayısı 8.7×10^{-6} dır. Bu rakam, çelik için (11×10^{-6}) olan değerle çok yakındır. Alüminyumunkinden (23×10^{-6}) daha küçüktür.

1.d. Isınma ıslısı: Cam için $1.16 \text{ W/m}^{\circ}\text{C}$ veya $1 \text{ kcal/mh}^{\circ}\text{C'lik}$

bir ısı geçirgenlik katsayısına karşılık, yine cam için ısnınma ısisı $795\text{J/kg}^{\circ}\text{C}$ dir.

1.e.Kırma İndisi

camın kırmacı indisi, doğrudan yoğunluğu ile ilgiliidir. Adı camda 1.52 olan kırmacı indisi kristal camda 1.60'tır.

1.f.Yumuşama Sıcaklığı

Camın yumuşama sıcaklığı 500-600 $^{\circ}\text{C}$ civarındadır.

2.Kimyasal Özellikler

Cam malzemeyi kimyasal olarak etkileyen sadece hidroflorik asittir. Hidroflorik asit özellikle cam yüzeylerin işlenmesinde yüzeyin matlaştırılması için kullanılır.

İçine kireç (CaCO_3) katılmamış camlar su karşısında stabil değildirler. Bu tür camlara su camı denir.

Normal pencere camları ve suyla teması olabilecek her türlü camın su karşısında stabil olabilmesi için bunların bileşimine kireç katılması zorunludur.

3.Mekanik Özellikler

Basınç mukavemeti, elastiklik modülü ve poisson oranı gibi özelliklerin kapsamı mekanik özellikleri oluşturur. Bütün kırılınan malzemelerde olduğu gibi cam malzemenin de basınç ve çekme mukavemetleri arasında büyük farklar vardır. Bu fark, cam malzemede 20 kat fazladır.

3.a.Basınç Mukavemeti

Kırılma yükü olarak camın basınç mukavemeti 10^9 Pa , ya da 10000 kgf/cm^2 dir.

3.b.Cekme Mukavemeti

Kırılma yükü olarak camın çekme mukavemeti $4-7 \times 10^7 \text{ Pa}$, ya da $400-600 \text{ kgf/cm}^2$ dir. Akvaryum, yüzme havuzu ve raf gibi yerlerde bu değer, $2 \times 10^7 \text{ Pa}$, ya da 200 kgf/cm^2 olarak alınabilir. Anı soğutulan temperlenmiş camlarda bu değer, $5 \times 10^7 \text{ Pa}$, ya da 500 kgf/cm^2 olarak alınabilir.

3.c.Elastiklik Modülü

Camın elastiklik modülü $7.2 \times 10^{10} \text{ Pa}$, ya da 730000 kgf/cm^2 dir.

3.d.Poisson Oranı

camın poisson oranı 0.22'dir ve ile gösterilir.

I.9. Erimiş Camın Özellikleri

Erimiş cam hamurunun biçimlendirme açısından en önemli özelliği viskozitesidir. Camın erimiş halinden katı haline kadar viskozitesi farklılık gösterir. Başka bir deyişle, cam hamuru değişik sıcaklıklarda değişik viskoziteye sahip olduğundan, camın biçimlendirilmesi ile ilgili olarak değişik viskozite değerlerinin hangi sıcaklık değerlerine karşılık hangi viskoziteye veya değişik viskozite değerlerinin hangi sıcaklık değerlerine karşılık geldiğinin bilinmesi zorunludur.

Camın viskozitesi erime sıcaklığında 10^2 poise, tavlama sıcaklığında 10^{14} poise, soğuk durumda 10^{20} poise'dir. (1400°C'de sodakalsık camı dinamik viskozitesi 100 poise'dir.).

Camın sıcaklığı arttıkça, hacmi artar, soğudukça azalır. T_c sıcaklığında katıllaşma biter, atomlar oluşturdukları düzensiz yapısını korur. Isıl büzülme nedeniyle hacim azalması sürer. $T_e - T_c$ sıcaklıkları arasında cam aşırı soğutulmuş sıvıdır.

Camın belirli sıcaklıklardaki viskoziteleri değişik sıcaklık noktaları olarak ifade edilmektedir. Bu değerler, logaritmik olarak şöyle verilmektedir:

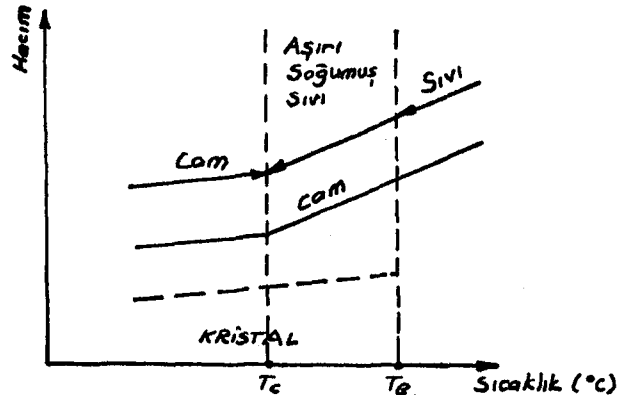
Çalışma sıcaklığı..... Log= 4 poise

Yumuşama sıcaklığı..... Log= 7.65 poise

Tavlama sıcaklığı..... Log= 13.4 poise

Sertleşme sıcaklığı..... Log= 14.6 poise

Şekil 9'da camın sıcaklık hacim diagramı verilmiştir.



Şekil 9. Sıcaklık-Hacim Diagramı.....(R.2)

Bu kısma kadar, cam üretiminin çeşitli aşamaları ve bu aşamalar hakkında sınırlı bilgiler verilmiştir.

Bundan sonraki bölümde, cam fırınları hakkında verilen bilgiler, biraz daha genişletecek ve daha sonra he-saplara geçilecektir.

II.CAM ERGİTME FIRINLARI

II.1.Fırında Gelişen Olaylar

Fırın içinde gelişen olaylara sırasıyla bakılmak istendiğinde öncelikle harman incelemektedir. Daha önce de verildiği gibi, harman belirli kimyasal maddelerden oluşur. Bunları tekrar verirsek,

Kum: SiO_2 , B_2O_3 , P_2O_5 , Al_2O_3 , ZrO_2 gibi malzemeler.

Soda: Na_2CO_3 ten hazırlanan Na_2O .

Kireçtaşı: CaCO_3 ten elde edilen CaO .

Stabilizatör olarak dolomit: $(\text{Mg} \cdot \text{Ca})\text{CO}_3$

Bazı sülfatlar: Na_2SO_4 , CaSO_4 .

Feldspat: $\text{Na}_2\text{O} \cdot \text{Al}_2\text{O}_3 \cdot 6\text{SiO}_2$.

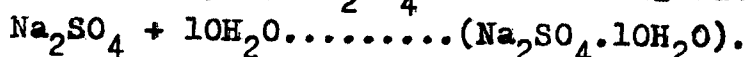
Daha önce de verildiği gibi, hammaddelerin oluşturduğu harman ısıtılıncı, bazı reaksiyonlar olur. Fırın ref-rakterleri, harman malzemelerinin reaksiyona girdiği sı-caklıktı, cam malzemeleriyle reaksiyona girer. Bu yüzden, harmanın belirli bir bölümü olarak kabul edilebilir.

Buradaki reaksiyonların etkilendiği faktörler şunlardır:

1. Sıcaklık: En önemli faktör olup, reaksiyon hızını ex-ponansiel olarak, doğru orantılı etkiler.
2. Hammadde Tane Büyüklüğü.
3. Fırın içindeki su, CO , CO_2 , hidrojen, azot ve çeşitli hidrokarbonlar olup, en önemlisi, % bakımından azottur.
4. Fırın basıncı atmosfer basıncı ile aynı olduğundan önemli kimyasal rol oynamaz.
5. Fırın içindeki reaksiyonların kütle transferi ile gelişmesi açısından difüzyon katsayısı önemlidir.

Oluşan Reaksiyonlar

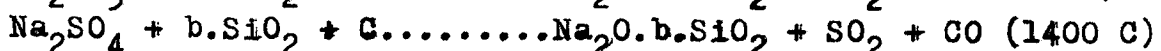
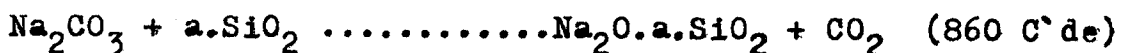
İlk reaksiyon, Na_2SO_4 'ün su ile hidratlar oluşturmasıdır.



Bu reaksiyon ekzotermik olup, 30 C'ın üzerinde gerçekleşir. Enerji toplanmasını sağlar, ve sıvı olduğu için bağlayıcı görevi yapar. 30 C'ın altında katılaşarak harman içinde problemlere yol açabilir.

Bundan sonraki aşama, suyun buharlaşmasıdır. Burada, suyun buharlaşması ile oluşan sodyum ve kalsiyum karbonat karışımıları bazı durumlarda reaksiyonun hızını artırmak amacıyla kullanılmaktadır.

Sıcaklığın artışıyla, sodyum silikat bileşimleri oluşmaktadır.



Bundan sonraki aşamada CaCO_3 bozunarak, CO_2 ve CaO oluşur.



Buradaki CaO , SiO_2 ve Na_2O ile reaksiyona girer. Burada, stabilizatör olarak görev yapar.

Daha sonra, Na_2SO_4 , karbon ve hidrojen ile reaksiyona girer. Bu reaksiyonlardan, sülfür (-) anyonları elde edilir. Sülfürler, SiO_2 ile kolay reaksiyon verirler ve reaksiyon hızlanmış olur. Sonuçta $(\text{Na}_2\text{O} \cdot \text{X} \cdot \text{SiO}_2)$ bileşimi elde edilir.

Reaksiyon hızlarını etkileyen faktörler, genellikle Na_2O , K_2O ve Li_2O gibi alkali oksitleri olup, bununla beraber, CaO ve MgO gibi bazı stabilizatörler olup, hammaddelerin tane büyüklüğü, difüzyon gibi etkenler vardır. Hammaddeler içinde tane büyüklüğü eritmeyi etkileyen en önemli malzeme kumdur.

Boyutu 0.5 mm.'den küçük kum taneleri kolaylıkla erir. 0.5-1 mm. arasında kum ile silika segregasyonu tehlikesi vardır. 1-2 mm. arasında segregasyon şiddetlenir, taş olusabilir. 2-3 mm. arası tehlikelidir. Taş oluşur. 3 mm.'den büyük taneler daha tehlikelidir.

Na_2SO_4 kullanımı bir ölçüde segregasyonu engelleyebilir. Çünkü camdan hafif olup cam yüzeyinde yüzer. 1400 C'de SiO_2 ile reaksiyona girer ve silika segregasyonunu önler.

Bundan sonraki olay afinasyondur.

II.2. Afinasyon

Afine prosesi, cam eritilmesinin en önemli unsurlarından biridir. Bu prosesste, erimiş camdaki gazlar atılmalı, erimiş cam homojenleştirilmelidir. Burada, 1 saat gibi bir yeterli süreye ihtiyaç vardır. Afine bölgesinde alttan sağlanan enerji ihtiyacı, bloktan olan ısı kayıplarını karşılasın ve harmanın eritilmesinin tamamlanması için gerekli olan enerji istenen seviyeye ulaşın diye cam yüzeyini temiz tutabilmelidir.

Harman artıkları affine bölgesinde ulaşın ve afinasyon bölgesinde bir termal bariyer ile bir şartlandırma bölgesi sağlansın diye yeterince uzun süreli belirli bir sıcaklık gerekir. Termal bariyer bazen mekanik bir bariyerle, veya bir bubler sırasıyla birleşiktir. Eritme ve afinasyon bölgesi arasında alternatif bir bariyer ise, 150 m^2 'den daha az yüzeyli fırılarda başarılı sonuçlar veren bir savaktır.

Eritme ile kıyaslandığında komplex bir prosestir. Bu prosesste, harman artıklarından ayrılmış olan cam habbele ri giderilerek, homojenleştirilir. Camların afinasyonları cam üretiminin tipine göre farklılık gösterir. Çünkü homojenlik dereceleri de değişecektir.

Bu konuda, laboratuar deneyleri gerçekçi sonuçlar vermemektedir. Çünkü, model olarak kurulan eritme kapları içinde türbülans oluşmamakta, ayrıca eritilen cam miktarı daha az olmaktadır. Bunun için, çok özel koşullar gerekir. Örnek olarak, platin potalarda, karıştırıcılarla eritme yapılması gerekmektedir.

II.2.1. Habbelerin Giderilmesi

Harmandan ayrılmış bulunan camlar, içerdikleri gazlar bakımından çok çeşitli şekilde grupperlendirilebilir. Bu gazları şöyle açıklayabiliriz:

- a. Harman bünyesindeki N_2 , O_2 , su buharı gibi gazlar.
- b. Hammaddelerin bozunmasıyla ortaya çıkan CO_2 , SO_2 , O_2 , SO_3 gibi gazlar.
- c. Yanma gazları. H_2 , CO , H_2O ve bazı hidrokarbon gazları. Bu gazların camdaki çözünürlükleri farklıdır. Birin içinde

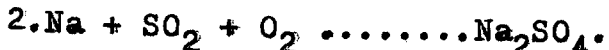
afinasyonu artırmak için, en sık uygulanan yöntem sıcaklığı artırmaktır. Sıcaklık arttırılırsa, viskozite düşer, difüzyon katsayısı artacak ve afinasyon hızlanacaktır. Bir fırında sıcaklık, fırınların diğer boyutları doğrultusunda olduğu gibi derinliği boyunca da değişir. Derinlik arttıkça, basınç da artacaktır. Tabandaki basınç, genelde, yüzeydeki basıncın birkaç katı kadardır. Fırın tabanında, sıcaklık düşük, basınç da yüksek olduğundan, habbelerin erimesi kolaylaşacaktır. Ancak, kütle akım halinde yüzeye taşınırsa habbeler yeniden belirir ve bu olaya "reboil" denir. Camın habbeden ayrılması iki tipte olur. Cam yüzeyinden uzaklaşarak, cam içinde çözünerek.

II.2.1.1. Cam Yüzeyinden Uzaklaşma

II.2.1.2. Cam İçinde Çözünme

Cam içindeki habbelerin içерdiği gazlar farklı olup, bunların çözünürlükleri de farklıdır. Bunlardan en kolay çözünen gaz subuharı olup, bundan sonra sırasıyla O_2 , CO_2 , SO_2 , hidrokarbonlar, hidrojen, CO ve nihayet azot en az çözünen gazdır. Yani subuharı içeren habbeler cam içinde çok kolay kaybolmasına karşın, azot içeren habbeler çok zor kaybolmaktadır.

Burada dikkat edilecek husus şudur. Su buhari içeren bir habbe, küçülecektir. Çünkü, su buharı cam içinde çözünecektir. Ancak, cam içine su buharı geçerken, cam içindeki azot ve CO habbeye geçmemelidir. Bu, çok sık rastlanan bir olaydır. Habbe içindeki kükürt dioksit miktarının hareketleri, atmosferin indirgen veya yükseltgen oluşuna göre ve sıcaklığa göre değişir. Yüksek sıcaklıkta SO_2 ve O_2 içeren habbeler, camın sodyum iyonları ile Na_2SO_4 oluşturur.



İndirgen atmosferde, sodyum sülfat indirgenerek SO_2 ve S oluşur. Sıcaklığın düşmesiyle S, habbe kenarlarında yoğunur

II.2.2. Habbe Hataları

Cam maddelerde, en önemli habbe olayları şunlardır. Habbelerin içindeki gazlar, habbe sayısı ve dağılımı, malzemelerin üzerindeki yeri ve boyutları.

Günkü, habbe içindeki gazın tipine göre habbelerin oluşturukları bölgeler tesbit edilebilmektedir. Örnek olarak habbe içinde su buharı varsa, bu, camın hemen fırın çıkışında oluşur. Oksijen varsa bu aksiyon bölgesinde, diğer gazlar varsa herhangi bir bölgede oluşmuş olabilir.

II.2.2.1. Habbe oluşumuna Neden Olan Faktörler

Fırın içindeki refrakter oksitleri, taşlar ve tozlar gaz ve dolayısı ile benzeri şeyler habbe oluşumuna yol açarlar.

Refrakter malzemelerin camla temas ederek cam içinde çözünmesi, camın SiO_2 , Al_2O_3 , ZrO_2 gibi refrakter malzemelerince zenginleşmesini, buna karşın alkali oksitlerince fakirleşmesini sağlar. Bu durum, gazların cam içinde çözünürlüğünü olumsuz yönde etkiler ve dolayısı ile camda erimiş halde bulunan gazların tekrar çıkışmasına yol açar.

Bunun dışında, fırındaki oksitli refrakter malzemeler, oksijen çıkışına yol açarlar. Siliyum karbür, karbon gibi refrakterler ise, SO_2 , CO_2 gibi gazların oluşumuna yol açarlar. Dolayısı ile, abrazif olarak kullanılan SiC 'nin, fırının içine girmesine izin verilmemelidir.

II.2.3. Homojenleşme

Camın çeşitli bölgeleri arasındaki bileşim ve yoğunluk farkı homojenliğin olmayışını gösterir. Bu durum cam üretimi çok iyi koşullarda yapılsa bile sıkça gözlenen bir olaydır. Üretim koşullarının bozulması, bu durumu artıracı bir etki yapacaktır. Camın homojenleşmesi çeşitli yollarla sağlanabilmektedir.

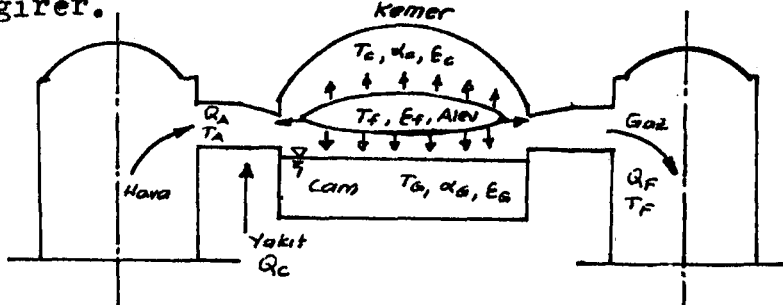
Sıcaklık artırılarak difüzyon katsayısı artırılır ve viskozite azaltılır. Bu durumda fırın refrakterlerinin ömrü ve kalitesi düşer. Buna alternatif bir yol olarak camın fırın içindeki hızı düşürülür. Amaç daha iyi ısı transferi sağlamaktır. Bunu sağlamak için, fırın içine daha önce açıkladığımız throat, baraj gibi termal bariyerler konur.

Homojen olmayan tabakaların inceltilmesi, bu suretle difüzyonun tamamlanması için gerekli sürenin azaltılması yani difüzyon mesafesinin kısaltılmasını sağlar. Bu inceltme, fırın içine akışkanlar mekanığı ilkelerine göre dizayn

edilmiş bir karıştırıcının yerleştirilmesi ile sağlanır.

II.3. Yanma

Cam fırını reaksiyonun olduğu sistem olarak düşünürsek, yakıtın yanması ile açığa çıkan enerji, ısı transferi yoluyla cama verilir. Bu, camda bir dizi reaksiyonun oluşmasını sağlar. Aynı zamanda cam içerisinde akımlar oluşur. Bu akımlar tamamen akışkanlar mekaniği kapsamına girer.



Şekil 10. Yanma hücresinde sıcaklık dağılımı.

α = Absorbsiyon katsayısı, ϵ = Emissivite katsayısı,

A = Air yani hava, f = Flame yani alev, C = Crown yani kemer

F = Baca gazı, G = Glass yani cam.

Sistemin ısı balansı kurulursa:

$$(Q_c + Q_a) - Q_f = Q_h$$

$$Q_h = Q_1 + Q_w + Q_{BC}$$

Q_c = Yakıtın verdiği ısı,

Q_a = Yakma havasının ön ısıtılmasıyla fırına geri dönen ısı

Q_f = Yanma gazlarının götürdüğü ısı,

Q_h = Cama iletilen ısı,

Q_1 = Camın reaksiyon ısısı, reaksiyon ve dekompozisyon ısısı

Q_w = Duvar kayipları,

Q_{BC} = Geri dönüş akımlarından kaynaklanan ısı.

$$\text{Fırın Verimi } \eta = \frac{Q_h}{Q_c + Q_a} \text{ şeklindedir.....(R.3)}$$

Alev sıcaklığı, emissivitesi, kemer sıcaklığı, emissivitesi ve absorbsiyon sıcaklığı, camın yüzey sıcaklığı, emissivitesi, absorbsiyon katsayısı, harman sıcaklığı ve

harmanın emissivitesi ısı transferini etkileyen parametrelereidir.

Brülörlerin verdiği alevler, cama, fırın üst yapısına, kemere radyasyon ve konveksiyon yoluyla ısı verir. Radyasyonla ısı transferi, sıcaklıkların dördüncü kuvvetiyle, emissivite katsayısının çarpımıdır. Konveksiyonla ısı transferi ise alev hızı ile yüzeylerin sıcaklıklarının farkına bağlıdır. İyi bir ısı transferi, % 90 radyasyon, % 10 konveksiyon ve kötü bir ısı transferi ise, % 50 radyasyon, % 50 konveksiyon yolu ile oluşur. Alev sıcaklığı ortalamaya olarak, 1700-1900 C dolayındadır. Emissivitesi ise, yakıt türüne, alev tipine göre 0.1-0.6 arasında değişir.

Cam sıcaklığı için net bir değer verilememekle birlikte, 1500 C'nin altında olduğu bilinmektedir. Camın emissivite değeri ise 0.95 alınmaktadır. Ancak genelde optik bağıntılara göre değişir.

Kemer sıcaklığı 1600 C'dır. Genellikle kemerden olan ısı transferi önemsizdir. Çünkü cam alev radyasyonu ile ısı almaktadır.

II.3.1. Yakıt Türleri ve Yanma

Eskiden cam fırınlarında kömürden elde edilen gazlar kullanılırdı. Günümüzde ise, tabii gazlar ve sıvı yakıtlar tercih edilmektedir. Bu yakıtlar, karbon, hidrojen, metan ve bazı hidrokarbonlardır. Yanma ürünleri, azot, su ve karbondioksittir. Yakıt tam yanmazsa CO₂, ve bazı hidrokarbonlar oluşur. Fazla hava verilirse, yanma ürünlerinde oksijen oluşur.

II.3.1.1. Gaz Yakıtlar

Gaz yakıtlarda, yanmayı genelde, şunlar etkiler:

Verilen gazın hızı (30-100 m/s.), yanma gazlarının emissivitesi, sıcaklık gibi parametreler etkilemektedir.

Gaz yakıtların bileşimindeki hidrojen oranı yüksek, karbon oranı daha az olduğundan emissivitesi düşüktür. Emissivite, yaklaşık olarak 0.1-0.2 düzeyide olup, bu düzey ısı transferini azaltır. Ancak, alev sıcaklığı 1900 C'yi bulmaktadır. Bu durum, oluşan negatif etkiyi bir ölçüde

giderir. Metanın 1000 °C'ının üzerinde parçalanması koyu renk bir is oluşturur. Bu ise, alev emissivitesini artırır.

II.3.1.2. Sıvı Yakıtlar

Sıvı yakıtın püskürtülmesi önemli bir konudur. Püskürtme, yakıtı çok küçük bölmelerine ayırmak, yanmayı kolaylaştırır. Yakıtın ayrıldığı tanecikler, ne kadar küçük olsa da yanma o kadar verimli sonuç verir.

Öncelikle, tane dış yüzeyi yanar ve ısı aşağıya çıkar. Bundan sonraki aşama tanenin sıcaklık artışına paralel olarak buharlaşması ve son olarak parçalanmasıdır. Bunun sonucu, karbon taneciklerinin oluşturduğu 400 A büyüklüğünde is oluşur ve dolayısı ile emissivite artar. Yanma hızı, yakıtın kimyasal bileşimine ve hava ile karışımına bağlıdır.

II.3.1.3. Yakıt Verimi

Yakıt verimini veren farklı parametreler verilmiştir. Bunların en iyisi, Heiligenstaedt (R.3) tarafından verilmiştir. Fırının üst yapısına verilen enerji miktarı \dot{E}_B , yanma havası ve yanıcı gazların entalpisi \dot{H}_R , atık gazların entalpisi fırını \dot{H}_A olarak terk ediyor, yan duvarlar ve kemerden olan ısı kaybı \dot{Q}_g , ve ermiş cama transfer edilen ısı \dot{Q}_s ve aşağıda verildiği gibi yakıt verimi 'tir.

$$\text{Fırın verimi} \dots \dots \eta_f = \frac{\dot{E}_B + \dot{H}_R - \dot{H}_A}{\dot{E}_B} = \frac{\dot{Q}_g + \dot{Q}_s}{\dot{E}_B}$$
$$\text{Yanma hacmi verimi} \quad \dot{\gamma} = \frac{\dot{E}_B + \dot{H}_R - \dot{H}_A}{\dot{E}_B + \dot{H}_R} = \frac{\dot{Q}_g + \dot{Q}_s}{\dot{E}_B + \dot{H}_R}$$
$$\text{Faydalı ısı..} \quad \ddot{\eta}_f = \frac{(\dot{E}_B + \dot{H}_R) - (\dot{H}_A + \dot{Q}_s)}{\dot{E}_B + \dot{H}_R} = \frac{\dot{Q}_g}{\dot{E}_B + \dot{H}_R}$$

$$\text{Yakıt kullanımı....} = \frac{Q_g}{E_B} \dots\dots\dots (R.3)$$

η_f yakıt verimi olarak alınmamalı fakat, sadece yanma oda-sında transfer edilen ısıyı içermediği, ayrıca onunla bağı-lantılı olan rekuperatör ve regenerator verimini içerdiği için fırın etkinliğidir. Bunlar fırının parçalarıdır. Ancak ateşleme ve yanma sisteminin parçaları değildir ve bu yüz-den η_f 'in fırın verimi olarak açıklanması daha doğrudur.

Gailhbaud (R.3) yakıt etkinliğinin yakıtla verilen enerjiyle ilgili olmadığını, fakat toplam enerji ile ilgi-li olduğunu ileri sürmüştür. ($E_B + H_R$), fırın üst kısmına veriliyor ve bu, kullanım faktörü olarak adlandırılıyor. Yakıt veriminin hesabı için η_f , yukarıda tanımlandığı üze-re, η_f 'ten daha uygundur.

Eğer her bir fırının spesifik yakıt sarfiyatları yakıt verimleri η_f ile karşılaştırılırsa, sonuçta, max. η_f sahip fırınların en düşük enerji sarfiyatını vermediğini gösterir.

Bir fırın % 76.45 yakıt verimi verirken, spesifik enerji sarfiyatı 8540 kJ/kg.cam ve buna karşın diğer fırın % 64.53 yakıt verimi sağlarken, spesifik yakıt sarfiyatı 7517 kJ/kg.cam olmaktadır. Yakıt verimi kavramı enerji sarfiyatı kriteri olarak sadece limit kullanım durumunda ge-çerlidir.

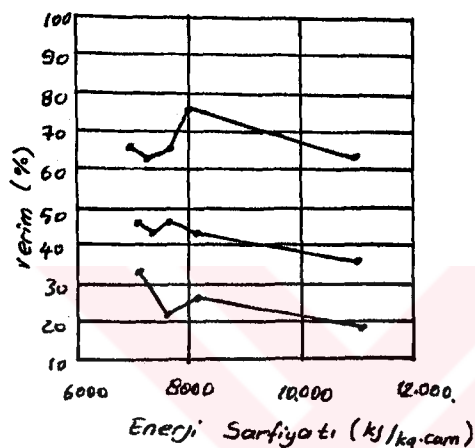
Yararlı ısı mukayesesinde bir yüzdelik olarak, daha iyi korelasyon gösteren η_f ile açıklanmıştır.

Eğer η_f her bir fırın tankı için hesaplanırsa, spesifik yakıt sarfiyatı η_f ile, η_f 'ten daha iyi bir korelasyon verir.

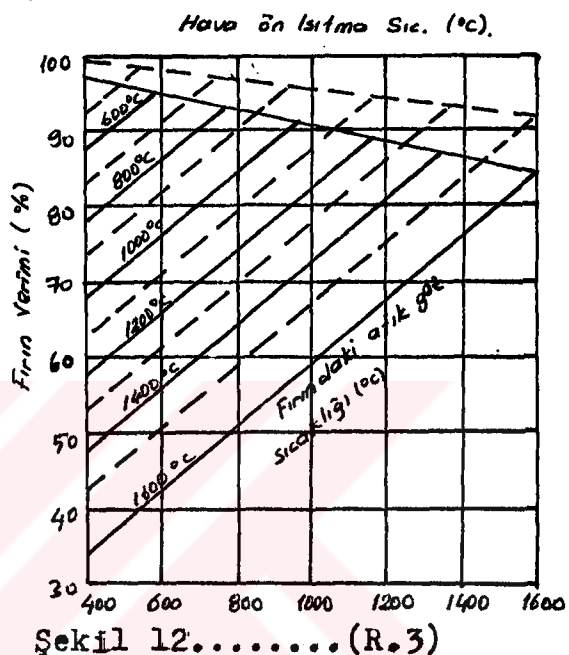
Şekil 11.'de konuya ilişkin bir diagram verilmiştir.

Bu diagram, spesifik yakıt sarfiyatına karşı olan, yararlı ısı ve η_f ve η_f verimlerini göstermektedir. Yakıt sarfiyatındaki bir artış, verimlerde ve faydalı ısıda tabloda gösterildiği gibi bir muntazam düşmeye neden olur. Yararlı ısı ve η_f büyük dalgalanmalar gösterse bile bu sadece yaklaşık η için geçerlidir. Bu, bir tesisin veriminin tahmini

için η_f 'in η_f 'ten daha uygun olduğunu önermektedir. Verim, sonraları geliştirilmiş kontrollü üstten yakmanın, daha iyi izolasyonun ve yüksek ön ısıtma sıcaklıklarının bir sonucu olarak günümüzde % 50 ve üzerindeki değerlere çıkışmış durumdadır. Özellikle modern konteyner cam fırınlarında bu geçerlidir. Şekil 12'de ise fırın veriminin hava ön ısıtma sıcaklığına bağlı değişimini görebiliriz.



Şekil 11.....(R.3)



Şekil 12.....(R.3)

Şekil 12, kesikli çizgiler için ($\lambda=1$) ve düz çizgiler için ($\lambda=1.14$) hava fazlalık katsayısında, atık gaz sıcaklıklarını ve farklı hava ön ısıtma sıcaklıkları için η_f yakıt ve verimini göstermektedir. Yanma havasının sadece bir kısmı regeneratorde 1350 °C'ye ısıtilır ve geri kalanı fırın içine soğuk olarak alınır.

II.3.1.4. Yakıt sarfyatına fazla havanın ve eksik havanın etkileri

Fırın içinde yakıtın tam yanması, yanma boşluğunundaki yakıcı dizaynına ve yakma koşullarına bağlı bir spesifik minimum hava fazlalığı gerektirir. Hava fazlalığındaki her artış alev sıcaklığını düşürür ve atık gaz miktarnı arttırır. Bu durum, ısı transferini azaltır ve ısı kaybını arttırr. Hava fazlalığı azaltılarak yakıt ve maliyetler azaltılır. Hava fazlalığından ayrı olarak, içeri soğuk olarak alınan diğer herhangi hava, fırının yakıt verimi üze-

rinde zararlı etkiler yapar. Bu hava soğutma havası, isteme den girmiş bir hava veya ön ısıtma sisteminde bir sızıntıdan olabilir. İkincil önemde sahip olduğu için atık gaz sisteminin egzostundan olan hava önemsenmeyebilir.

Yakıtın yanması için ihtiyaç duyulan hava fazlalığı, fırın üst yüzeyi ve regenerator kontrol sistemi arasındaki atık gazların ihtiyacı oksijenin ölçümü ile verilir. Bu, uygun duyar elemanlarının kullanımıyla kontrol edilebilir. Hava faktörü, sadece hava fazlalığına bağlı ısı kaybını vermez. Ayrıca ön ısıtılan hava miktarının bilinmesi ve değişen hava fazlalığı miktarının bu orandaki değişimi için de gereklidir.

Hava faktörü ilişkisinin tam belirlenmesi yakıt sarfiyatının korunması için mümkün, ön ısıtılan hava miktarı için analitik olarak imkansızdır. Regenerator öyle dizayn edilir ki, atık gaz sıcaklığı 1440 C , 110 C giriş sıcaklığı, hava ön ısıtma sıcaklığı 1200 C olacaktır. Soğuk hava miktarı, yakıt sarfiyatı ile alakalıdır. Hava fazlalığında bir değişiklik veya $\% 1$ 'lik ön ısıtılmış hava oranındaki artış, yakıt sarfiyatında $\% 0.5$ kadar bir oynamaya yol açmaktadır.

II.3.2. Port ve Bek Dizaynı

Yakıt hava karışımı port tasarımlına bağlıdır. Fırına verilecek yakıtın hava ile iyi karışması, portun genişliği boyunca yerleştirilecek memelerle sağlanır. Bu, pratikte imkansızdır. Portta önemli olan hava hızlarının dağılımı olup, bu dağılım gözleyiciler aracılığı ile tesbit edilerek port ve bek dizaynları geliştirilmiştir. Gaz ve sıvı yakıtların hava ile karışmaları farklıdır. Gaz yakıtlar, aynı fazda olmalarına rağmen hava ile daha zor karışırlar.

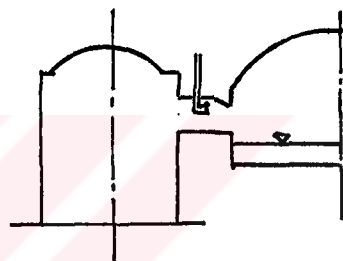
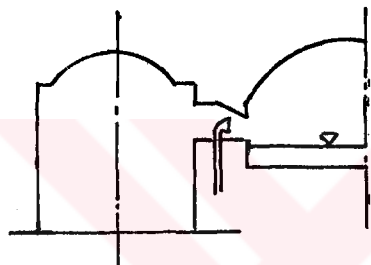
En yaygın uygulama, port altı bek tasarımidir. Ancak en iyi sonuç veren ise, portun arkasından bekle yakıt püskürtmektir. Bu sistem ise, tasarımlı bakımından zordur.

Doğal gaz kullanılıyorsa, en iyi karışım port yanlarından yakıt püskürtülerek elde edilir. İyi bir yanma için

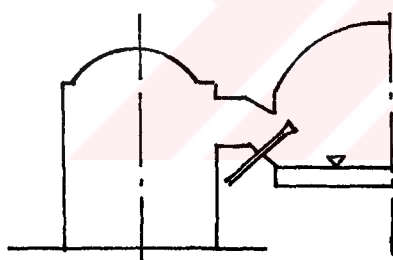
Önemli olan diğer bir konu, yakıt hava oranıdır. Bu oranın değişimi, alev boyunu etkiler. Camalı olan ısı transferinin değişimine ve azalmasına yol açar. Alevin indirgen veya yükseltgen olmasına yol açar. İndirgen alev, camda habbeye yol açacaktır.

Şekil 13'te ise çeşitli bek yerleştirme tasarım grupları ve alternatifleri verilmiştir.

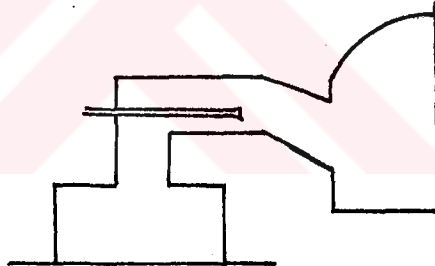
- Port tabanı bekle yakıt verme -Port kemerinden besleme



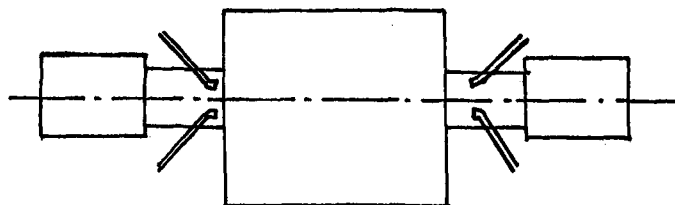
- Port altı bekle besleme



- Port arkasından besleme



- Port yanlarından bekle yakıt besleme.



II.4. Elektrikli Fırınlar

Düz cam fırınları ile günde 1500 ton'a kadar, şişe fırınları ile de günde 500 ton'a kadar cam elde edilebilmektedir. Spesifik ısı ve yakıt sarfiyatları ise çekisle ters orantılı olarak değişmektedir. Düz cam fırınlarında 3000 kcal/kg.cam - 1200 kcal/kg.cam, şişe fırınlarında 1800-1000 kcal/kg.cam arasında enerji sarfiyatı vardır.

Elektrikli fırılarda ise günde 100-150 ton arasında cam üretilebilmektedir. Elektrikli fırılarda spesifik enerji sarfiyatı, ısı kayıplarının az olması, verilen ısının büyük bir kısmının cama geçmesi dolayısı ile, 650-700 kcal/kg.cam arasında olmaktadır. Yani elektrikli fırınların enerji sarfiyatları diğer fırılara nazaran daha az olmaktadır. Diğer yakıtların fiyat artışlarına nazaran elektrik fiyatlarının artışı daha az olduğu için, elektrikli fırınlar için avantaj arzetmektedir.

Elektrikli fırınların birim ısıtma yüzey alanı başına çekilen cam miktarı yüksek olduğu için yatırım maliyetleri düşüktür. Regeneratorler yoktur, buna karşılık elektrotlar, trafolar ve elektrot kontrol devreleri vardır.

II.4.1. Çalışma Prensipleri

Camın özdirenci sıcaklık yükseldikçe düşer. Elektrot üzerinden cama akım verildiğinde, camın sıcaklığı artar. Bu durumda camın özdirenci düşer. Camın akım ileme özellikleri ve sıcaklığı buna ters olarak artar. Elektrikli fırılarda camın eritme sıcaklığının sabit kalması gerekmektedir. Bu yüzden sıcaklığın sabit tutulması işlemi, özel kontrol sistemleri ile sağlanır. Elektrikli eritme fırını 3 kısımdan oluşur.

1.Eritme, 2.Boğaz, 3.Dinlendirme.

Elektrikli fırılarda eritme elemanları ve dolayısı ile en önemli kısım elektrotlardır. Bu elektrotlar, refrakterlere, iletme ve kimyasal kararlılık özelliklerine göre seçilmelidirler. Elektrot malzemeleri grafit (C), molibden (Mo), Wolfram (W), kalay oksit (SnO_2) gibi malzemelerdir. Grafit ucuz olup, cama degen yüzeylerinde habbe oluşumuna yol açar. Molibden kararlı ve geçircendir. Ancak oksijenli

ortamlarda kararlılığı bozulur. Wolfram mukavim fakat pahalıdır. Kalay oksit ise aşınmaya dirençli, yarı iletken refrakter bir malzemedir.

Tabandan elektrotlu fırınlar: Elektrotlar tabana konursa fırına enerji veriliince tabandan yüzeye doğru cam akımları oluşur. Fırındaki cam yüzeyi hammanla kaplı olup, hamman alt yüzeyden eriyerek cama karışır. Bu şekilde yapılan eritmenin afinasyonu kötü ve zordur.

Yandan elektrotlu fırınlar: Yandan hamman tabakasının altına konması halinde, hamman tabakasının hemen altında yüksek sıcaklıklar oluşur ve erime başlar. Elektrotların altından tabana kadar olan kısımda ise afinasyon gerçekleşir. Tabana doğru olan cam akımlarının engellendiği için, yandan plaka şeklinde elektrot yerleştirilir.

Elektrot tipine göre kullanılan akım yoğunluğu da farklı olup, en uygun akım yoğunluğu $3A/cm^2$ civarındadır. Kullanılan akım yoğunluğu arttıkça elektrotların aşınma hızı da artar. Plaka tipi elektrotlar ısısı daha homojen dağıtıgı gibi aşınma hızı da düşüktür. Ancak elektrotlar aşınarak düşerse, tamirlerinin ancak fırının durdurularak yapılabilmesi sakıncalı yönleridir.

Daldırma elektrotlar: Elektrotlar, hamman üzerinden cam içine daldırılırsa, yeni bir fırın dizaynı ortaya çıkaracaktır. Bu tipte elektrotların hava ile temasta olan kısımlarının iyi korunması gerekmektedir. Bu şekilde elektrot kullanımı yaygın bir metottur.

Genellikle elektrotlarda aşınma uç kısımlarından başlar ve giderek kısalırlar. Bu yüzden fırılara uzun elektrotlar konur ve kısaltıkça içeri itilirler.

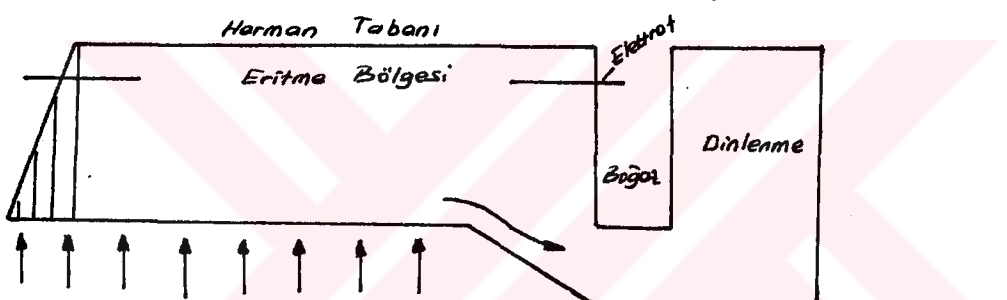
Elektrotların içine konduğu refrakterler, dayanıklı olmalıdır. Özellikle molibden elektrotlarda, molibdenin oksijenli ortamlarda kararsız olmasından dolayı, refrakter arasına soğutma suyu ile beraber azot ve hidrojen gibi indirgen bir gaz verilerek, oksijenle teması önlenmelidir. Elektrotun refrakter dışındaki kısmı kaplanarak, hava ile teması önlenmelidir. Metal olan molibden elektrotlar, cam bileşimindeki sülfatları indirgeyerek camda habbeye neden

olurlar. Molibden elektrotlu fırınlarda, sülfat miktarı az olan cam bileşimleri kullanılmassa bu durum öulenmiş olur.

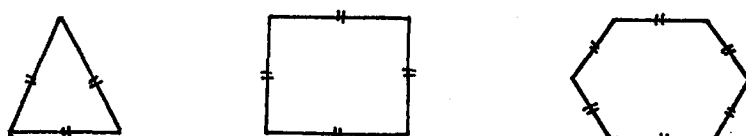
III.4.2. Bir Elektrikli Fırının Dizaynı

Ideal bir fırın olarak yüzeyi tamamen harmanla kaplı harman tabakasının hemen altına elektrotların yerleştirildiği, elektrotla fırın tabanı arasında afinasyonun gerçekleştiği derin bir fırın düşünülebilir. Cama verilen enerjinin önemli bir kısmı yan duvarlardan kaybolur. Bunun için yan duvarlar kademeli olarak izole edilmelidir. Fırın tabanının sıcaklığını düşürmek için tabana kuvvetli bir şekilde hava üflenmelidir ve bu suretle soğutulmalıdır. laminar cam akımı sağlanırsa, cam kalitesi artacaktır.

Eritme alanı üçgen kare ve altigen profil olabilir. Elektrotlar ise köşe veya kenarlara yerleştirilebilir.



Şekil 13. Bir elektrikli fırın şematik kesiti.



Şekil 14. Elektrotların yerleştirme tipleri.

III.4.3. Elektrikli Fırınlarda Enerji Dağılımı

$$Q_c = \text{Yakıtın verdiği ısı}$$

$$Q_a = \text{Hava ön ısıtmasıyla fırına geri dönün ısı}$$

$$Q_f = \text{Yanma gazlarının götürdüğü ısı}$$

$$Q_h = \text{Cama iletilen ısı}$$

$$Q_c + Q_a = Q_h + Q_f$$

$$Q_c = 0, Q_a = 0, Q_f = 0$$

ve dolayısı ile

$$Q_h = Q_1 + Q_w \text{ dir. } Q_1 = \text{Camın reaksiyon ısısı.}$$

Q_w = Duvar kayipları.
Fırın verimi $\frac{Q_1}{Q_h} = \% (90-95)$ arasındadır. (R.3)

II.4.4. Elektrikli Fırılarda Verim

Elektrikli fırılarda verim, % 90'dan büyüktür. Çünkü ısı, elektrotlarla doğrudan cama verilir. Fırın boyutları da küçük olacağı için duvar kayipları az olacaktır. Boğazdan dolayı, geri dönüş akımları çok çok azdır.

Bunun yanında, yakıta takviye olarak elektriğin kullanıldığı fırınlar da vardır. Bu tür bir takviye, fırında cam akımlarını daha da dengeli hale getirir.

Fakat, takviye edilen enerjinin az olması, buna nازaran, verilecek elektrik enerjisinin daha fazla olması gerekmektedir. Çünkü küçük oranlardaki elektrik enerjisi uygulaması, fırın verimine ve cam akım dengelerine hiçbir katkıda bulunmaz.

II.5. Fırında Isı Transferi

Bir cam fırınının ısı dengesi aşağıda verilmiştir.

$$Q_c + Q_a + Q_e = Q_h + Q_f \quad \text{Buradaki isılar:}$$

Q_c = Yakıtın verdiği ısı,

Q_a = Ön ısıtılan hava ile fırına geri dönen ısı,

Q_f = Yanma gazları ısısı,

Q_h = Eritme için gerekli ısı,

Q_e = Varsa elektrikle verilen ısı, ayrıca

$Q_h = Q_1 + Q_{BC} + Q_w$ olarak bilinmektedir.

Q_1 = Tatbik edilen ısı = $q_r + q_1 + q_d$

q_r = Reaksiyon ısısı,

q_1 = Camı ısıtma ısısı,

q_d = Dekompozisyon ısısı olarak bilinmektedir.

Q_w = Eritme ve afinasyon bölgelerinden olan duvar kaybı.

Q_{BC} = Geri dönüş akımlarından kaynaklanan ısı kayipları.

Düz cam fabrikalarındaki düz cam fırınlarda geri dönüş akımları kuvvetlidir. Şişe fırınlarda ise, boğaz iyi bir engel oluşturduğundan geri dönüş akımları az olur.

Baca gazlarından fırına taşınan ısı:

$Q_f = Q_a + Q_s$ olup, Q_s = Bacadan atmosfere atılan ısıdır.

Fırın Tipi	Q_M	Q_1	Q_{BC}	Q_w	Kapasite
Float	35500	16250	16250	8000	600 ton/gün
Şişe	2825	975	400	1450	120 ton/gün
Elektrikli	11925	8125	1300	2500	30 ton/gün

II.5.1. Camı Isıtma ısısı (q_1)

Bu ısı yaklaşık 450 kcal/kg.cam olup, fırını 1500 C de terk eden erimiş camın beraberinde götürdüğü enerjidir. Cam sıcaklığı, 50 C düşürülürse, ısı kazanç oranı $50/1500 = 0.03$ oranında artar. Sıcaklığın 50 C düşürülmesi halinde, afinasyon ve erime hızları düşecektir. Bu yüzden duvar boyunu uzatmak gereklidir ki bu durumda duvar kayipları ve refrakter maliyeti de artacaktır.

Harman ön ısıtılarak, camın ısıtma ısısı azaltılabilir. Bu işlemin verimi 0.9 civarındadır, ancak ön ısıtma sırasında harmandan Na_2CO_3 uçacağı için, sıcaklığın 750 C nin üzerine çıkması imkansız hale gelir. Bu yüzden fırında bir ön eritme bölgesi kullanılarak 1300 C'ye kadar ısıtmak ve afinasyon süresini azaltmak mümkündür. Bu ise ilave bir donatım gerektireceğinden fazla bir fayda sağlanamaz.

II.5.2. Reaksiyon ısısı (q_r)

Reaksiyon ısısı yaklaşık 150 kcal/kg.cam'dır. Harman nemini almak için verilen dekompozisyon ısısından harici olarak, harmandaki kırık cam oranı azaltılırsa bu ısı da düşecektir.

II.5.3. Dekompozisyon ısısı (q_d)

Bu ısı, yaklaşık 150 kcal/kg.cam'dır. Harman nemini almak için verilir. Bu ısıyı, harmandaki karbonatlar yerine hidroksitleri koyarak, böylece rutubet oranını düşürerek azaltmak mümkündür.

Sonuçta bu üç ısının toplamı olan Q_1 'yı azaltmak büyük ölçüde sağlanmış olacaktır.

II.5.4. Geri Dönüş Akımları (Q_{BC})

Düz cam fırınlarında, boyun, boğaz ve birtakım engel-

lerle bu ısı miktarı azaltılabilir. Böylece erimiş cam yüksek sıcaklık bölgelerinde daha uzun süre kalacaktır. Sonuçta eritme sıcaklığı düşürülebilir, veya aynı sıcaklıkta çekis % 20 oranında arttırılabilir. Daha önce de açıkladığı üzere, şişe fırınlarında boğazdan dolayı geri dönüş akımları çok azdır. Ancak bu fırılarda boğazın iyi soğutulması gereklidir. Aksi halde, boğaz açılabilir, genişleyebilir ve böylece geri dönüş akımları oluşur.

II.5.5. Duvar Kayipları (Q_w)

Bir fırında, duvar kayipları fırının uzunluğuna, refakterlerin cins ve kalınlıklarına, izolasyona ve cam kalitesine bağlıdır. Cam kalitesini artırmak için camın fırında daha uzun bir süre kalmasını sağlamak ve dolayısı ile fırın boyunu uzatmak gereklidir. Fakat bu durumda duvar kayipları artacaktır.

Aynı miktarda cam üreten düz cam fırını boyutlarının şişe fırınına göre daha büyük olması gereklidir. Düz camda klasik 10 hata/ton.cam, şişe camında ise yaklaşık 1000 hata/ton.cam'a kadar izin verilebilmesi bunu gerektirir. Bir şişe fırınının duvar kayipları, aynı kapasitedeki bir düz cam fırınının duvar kayiplarının % 70' i kadardır.

II.5.6. Sıcaklık Dağılımı

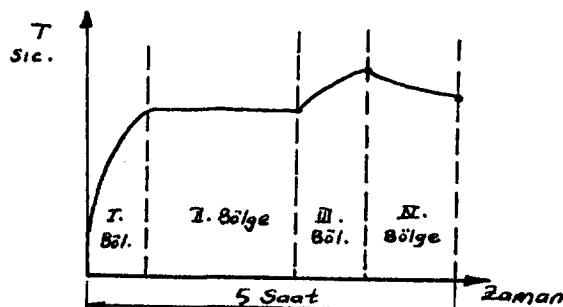
Bir tank fırını, öncelikle bir proses ekipmanı parçası olup, ikincil olarak, sadece özel maddelerin eritilmesi için kullanılan bir fırındır. Burada fırın öyle dizayn edilmeli ki, cam üretiminin her bir aşaması kendileri için belirlenmiş kısımda yer alırlar ve birbirlerini ard arda takip ederler.

Burada belli başlı bazı bölgeler vardır. 1. Ön ısıtma, 2. Eritme ve reaksiyon, 3. Afinasyon, 4. Çalışma ve şartlandırma bölgesi.

1400-1550 C bazen iyi homojenizasyon ve afinasyon için gerekli iken, 1000-1300 C sıcaklıklarını eritme ve harman maddeleri reaksiyonları için yeterlidir.

1. Bölgede genelde çevre sıcaklığında verilen harman, üst taraktan gelen alev ısıtmasıyla ve alttaki erimiş cam

banyosu ısısı ile karşı karşıyadır. $0.12-0.23 \text{ W/mK}$ gibi bir düşük termal kondüktivite vardır. Ancak, harmandan sıcaklık gradientinin çok yükselmesine yol açan. Özellikle harman yüzeyinde aşırı ısınmaya rağmen, ilk eriyiğin harmana akması veya harmanı 2. bölgeye itmesinden dolayı, harman eritme sıcaklığına erişildiğinde sıcaklık artışı durur ve sabit kalır.



Şekil 15. Bölgelerde Sıcaklık Dağılımı....(R+3)

II.5.7. Isı Akım Yoğunluğu

Fırınların yakma sistemlerinde birkaç parametre kullanılır. Yanma boşluğu yüklemesi, eritme alanı boşluğu ve ısı akım yoğunluğu. Yanma boşluğu yüklemesi, yanma boşluğu hacmi başına verilen yakıtın verdiği enerji olarak tanımlanmaktadır. Isıtma alanı yüklemesi, eritme yüzey alanı başına verilen enerji olarak tanımlanır. Aşağıda verilen listede, bu değerleri cam fırınları ve boilerlerle karşılaştırılmış olarak vermektedir. Görüldüğü gibi cam fırınları yüksek çalışma sıcaklıklarına rağmen lider konumda değil.

Bir alevli fırın yüzeyi ile cam yüzeyi arasındaki ısı akım yoğunluğu fırın yerine göre büyük çeşitlilik gösterir ve alev dağılımı ile cam yüzeyinin özelliklerine bağlıdır.

Yüksek sıcaklıklar kullanılmamasından dolayı ısı transferi gerçekte % 95 radyasyon, geri kalanı konveksiyonla olur. Yüzey sıcaklıkları yer yer farklı olduğundan ısı akım yoğunluğu ısı transfer mekanizması olarak uygun değildir ve sıcaklık farklılıklarını bu yüzden yaklaşık olarak verilebilir.

Alev geçmeli fırılarda yakıt dağılımı öyle ayarlanır ki alevine bölgesinde cam yüzeyi temiz olup, optimum durum, cam yüzeyi $1/3$ harmanla, $1/3$ köpükle kaplı, $1/3$ temizdir.

Bölgedeki harman için kullanılan yakıt oranları artan çeşidle büyür. İsi akım yoğunluğu, fırın uzunluğu boyunca, sadece havuzun uzunluk-genişlik oranları ve alev boyu ile değişir. Fırın çalışırken sadece alev boyunu ayarlamak mümkün ve çekis farklarının büyük olduğu durumlarda optimum sonuçları elde etmeyi güçleştirir.

	Yanma hacmi (kw/m^3)	Isıtma yüzeyi
Cam fırınlarında	60-160	$90-200 \times 10^3$
Siemens Martin Fırınında	120-350	$290-470 \times 10^3$
Büyük su borulu boilerde	580-1520	$-(\text{W/m}^2)$

II.5.8. Erimiş Camın Teorik Isı İhtiyacı

Bir referans parametresi olarak, cam transfer edilen enerji miktarının açıklanmasında farklı öneriler kullanılır. Bu konuda literatür, yararlı ısı veya daha iyisi teorik enerji ihtiyacı kavramını kullanıyor.

Sıcaklıklar, açık fırınlar için güçlükle belirlenebildiğinden ve tanımlaması güç olduğundan, durumdan duruma çeşitlilik göstermesine rağmen, farklar genelde önemsizdir.

Teorik enerji ihtiyacı yüzdelik olarak ifade edilir ve sık sık cam fırının termal verimi olarak açıklanır. Ancak, verim bir limit göstermemektedir.

Erimiş camın ve harman gazlarının entalpilerinin belirlenmesi teoride mümkün, fakat pratikte değildir. Farklı camların teorik enerji ihtiyacı harman formülasyonuna ve pratikte değişen oranların en iyisinin kullanılmasına bağlıdır.

II.5.9. Isı Sarfiyatı

Deneysel olarak, cam fırınlarının ısı sarfiyatı yaklaşık $\dot{q} = \dot{q}_a + s.b$ ile verilebilir.....(R.3).

\dot{q} (W/m^2) birim zaman ve eritme alanı başına ısı arzı

s ($\text{kgcam/m}^2\text{d}$) Eritme oranı: Birim alan başına çekis.

\dot{q}_a ve b miktarı genelde sabittir, ve fırın operasyon parametreleri ile dizayna bağlıdır. \dot{q}_a , fırının ısı kayıplarını, fırın boşken ısı sarfiyatından ve çekisten bağımsız olarak içerir. Fiziksel bir büyüklükten ziyade, hesap-

lamaya yönelik bir parametredir.

b terimi, fırınındaki enerji transferi verimine bağlıdır. İsi transferi veya ısı değiştirici verimindeki hiçbir gelişme, b değerini düşüremez. b'nin küçük değerleri s'ten bağımsızdır. Çünkü genelde ısı transferi prosesi ve ısı değiştirici verimi çekişin artmasıyla kötüleşir.

Yeni ve iyi izole edilmiş bir konteyner cam fırını için, $q_a = 2000 \text{ MJ/m}^2$ ve $b = 4 \text{ MJ/kg.cam}$, spesifik yakıt sarfiyatı, q/s (kJ/kg.cam) ise sık sık s'karşı verilir.
 $s(q/s - b) = q_a$ dır.

Genelde çekişin artmasıyla spesifik yakıt sarfiyatı düşer. Tekrar artmadan önce bir minimumdan geçer. Eğer çekiş minimumun altından artısa geçirilebilirse, fırının termal verimi artar. Bu, geliştirilmesi mümkün olan bir olaydır. Ayrıca, minimum noktasına ulaşılamazsa diğer teknik faktörler geliştirilmelidir.

II.5.10. İsi Balansları

Cam ergitme fırınlarının enerji sarfiyatı ile ilgili bir araştırmada, dizaynı geliştirmek, operasyon metodunu geliştirmek, ve karşılaştırma yapmak için, yararlı bilgiler elde edilebilecek birçok uygulama vardır.

Bir balansın dizaynı, üzerinde çalışılan sistemle çevresi arasında oluşturulacak, açık bir akıma ihtiyaç duyar. Bu balans çizildiğinde, bir balans için bütün enerji akımları paralel değerlere sahip olmalıdır. Örneğin yüzey ısı kayipları tamamen ele alınırsa, çalışma çıkışısı ve eritme kayiplarını da içermelidir. Çalışma çıkışından olan kayıplar, eritmeden ayrı bir kayıp olmadığı için teknik olarak kayıp değildir. Özellikle yüksek çekişli fırılarda, bu temele bağlı, normal şartlarda gerçekleşmeyecek bir ısı balansı kurulmuştur. Düz cam üretiminde kullanılan fırınlar da olduğu gibi, eritme ve şartlandırma bölgelerinin ayrılmamasında mevcut problemler vardır.

II.5.10.1. İsi Balanslarının Kurulmasında Kullanılan Başıntılar

Yakıt ve termal enerjinin teşkil ettiği kimyasal ka-

rışında içeren enerjinin hesabı için termodinamiğin 1. kanunu kullanılır. Enerjinin diğer durumları ikincil önemde olduğu için önemsenmez.

Yakittaki kimyasal enerji $Q_c = H_u M$ bağıntısıyla belirlenir. H_u yakıtın net kalori değeri ve M yakıt akımının kütlesidir.

Fırın içindeki, ana entalpiler diye adlandırılan özellikle hava, gazlar, atık gazlar, erimiş cam gibi çeşitli entalpiler bilinen bir bağıntıdan hesaplanır.

$$H = C_p \cdot T \cdot M$$

C_p = Spesifik ısı, T = Sıcaklık (C) (R.3).

Elektrik destekli tankların enerjileri, elektrik akımına bağlıdır. Diğer önemli ısı akımları, konveksiyon yoluyla fırın duvarlarından olan ısı kayıplarıdır.

$$Q_l = \lambda \cdot A \cdot \frac{dT}{dx}$$

λ = Termal kondüktivite, $\frac{dT}{dx}$ = Bölgesel sıcaklık grad.

ve A = Alan.

Radyasyonla yayılan ısının açılımı:

$$Q_R = C_s \cdot A \cdot \left(\left(\frac{T_1}{100} \right)^4 - \left(\frac{T_2}{100} \right)^4 \right) \dots \dots \text{(R.3).}$$

C_s = Siyah cisim radyasyonu; $5,67 \text{ W/m}^2\text{K}^4$ tür.

II.5.10.1.1. Referans Konuları

Bir ısı balansı kurulurken, çeşitli enerji akımları, özellikle termal enerji uygun bir şekilde açıklanmalıdır. a. Yüzdelik olarak giren ısının açıklanması: Genellikle fırın içine birim zamanda giren ısı referans parametresi olarak alınır ve yüzde yüz eşitlenir. Bu, normalde yanma havasının, yakıtın ve harmanın entalpisini içerir.

Bu enerjiler, yakıt tarafından verilen kimyasal enerjinin % 0.5-3 kadarı olduğu için, entalpiler fırın operasyonunda ana öneme sahip olmadığı için, genelde sadece yakıt tarafından verilen kimyasal enerji referans değeri olarak alınır.

Data olarak, harman, gaz, hava entalpileri alınmaksız-

zin yakıt enerjisinin seçimi avantajlidir. Çünkü, normal yakıtlardan elde edilen enerji tam olarak belirlenebilir. Bununla birlikte bu yolla kurulan ısı balansı, enerjinin fırın dizaynına bağlı kısımlarına dağılımına imkan verir.

Farklı fırınların belirli koşullar altında karşılaştırılması bir dezavantajdır. Örneğin iki tip fırın varsa fırınların belli bölgelerinde farklı yakıt sarfiyatı, aynı miktar ısı transferi farklı verilmiş olacaktır. Eğer iki fırın tipi karşılaştırılırsa, ikisinin arasındaki farklar farklı yakıt sarfiyatı veya ısı kaybindan olup olmadığına karar verilemez. Yüzdelik olarak verilen ısı balansları, bu yüzden, kesin değildir.

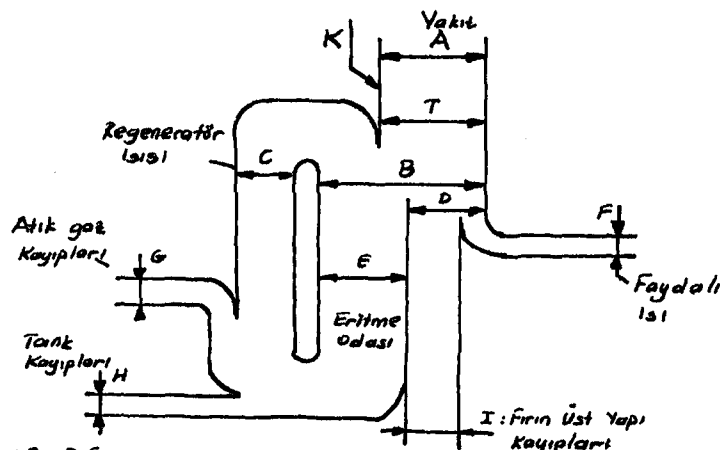
b. Yüzdelik olarak camdaki faydalı ısı: Faydalı ısı olarak bilinen, erime prosesinin sonucu olarak camın entalpisi, % 100 olarak kabul edilebilir. Faydalı ısı, Çalışma prosesinin bir sonucundan çok fırın dizaynına bağlıdır. Ayrıca camın faydalı ısısının tam olarak belirlenmesi hemen hemen imkansızdır.

Isı balansında, üretilen camın ağırlığına göre hesap yapılması, yüzdelik olarak ele alınmaması daha akıllıcadır. Böylece erimiş cam için gerekli ısı ihtiyacı net olarak ortaya çıkar. Böylece farklı fırınlar arası karşılaştirmalar, yüzdeliklere bağlı balanslardan daha kolayca yapılır. Faydalı ısının belirlenmesindeki güçlük ortadan kalkar ve diğer ısılara etkisi atık ısıyla ilgili kabul edilebilir, hesaba katılmayabilir.

Modern konteyner cam fırınlarının ısı balansları bir Alman kaynağında yayınlanmıştır. Bu kaynakta, tüketilen ısı referans olarak seçilmiş, ve 1 kg cama verilmesi gereken ısı miktarı yüzdelikle verilmiştir.

II.5.10.2. Birden Fazla Akımın Balansları

Eğer tek akımlı bir ısı balansı, ihtiyaç duyulan sonuçları tam olarak vermezse, çok akım balansı kurmak akıllıcadır. Çok akım dengeleri aşağıda verdigimiz "sankey" diagramları denen diagramlarda net olarak verilmiştir. Bu tür ısı balansı alışlagelmiş değildir ancak, çok avantajı olduğu için kullanılmaktadır.



Şekil 16.

Yukarıdaki şekilde, ısı balansının tipine göre, verilen değerlerin miktarları aşağıda tablo halinde görülmektedir.

Yakıt enerjisinin yüzdeliği olarak ısı balansı

A	B	C	D	E	F	G	H	I	K	T
94.5	155	55	72.8	82.2	25.6	21.3	6.1	47.2	5.5	100
100	148	48	64.4	83.5	18.8	20	16	45.1	-	100

F.1 F.2

Faydalı ısının miktarı olarak ısı balansı

369	605	215	284	321	100	83.2	23.8	184	21	390
530	784	254	342	442	100	106	82	242	-	530

F.1 F.2

Cama verilen enerji oranlarına göre ısı balansı. Fırın 1. için 51.3 ton.cam/gün, fırın 2. için 61.2 ton.cam/gün. Enerji birimi ise kj/kg.cam olarak ele alındı.

7870	12850	4520	6026	6820	2096	1770	506	3930	441	8310
11300	16740	5440	7274	9466	2126	2260	1850	5148	-	11300
A	B	C	D	E	F	G	H	I	K	T

II.6. Fırılarda Termal İzolasyon

Termal enerji sarfiyatı, fırının iyi izole edilmesinin sağlanmasıyla azaltılabilir. Fırın üst yüzeyinin karşı karşıya olduğu sıcaklık limitlerinden dolayı termal izolasyon koşulları ve sakıncaları vardır. Ancak, fırın operasyonları, daha iyi refrakterler ve dizayndaki gelişmeler, izolasyonu mümkün mertebe geliştirmiştir.

Kısaca, fazla izolasyon daha fazla riske yol açar. Kritik koşullarda çalışırken, refrakterlerin gözlenmesi yeter-

neği çok sınırlıdır. Bu, ayrıca, hızlı kötüleşen durumların anlaşılması adına yol açar. Örneğin camdaki koşullar, kusurlara yol açıyorsa veya kemer çökerse bu durumlar gözlenemez. Baştan başa izolasyon fırın izolasyonunu ve sağlam ısı kontrolünü kabul eder. Izolasyonun neticeleri tamamen hesaplanmadan izolasyona başlanmamalıdır. Bütün izolasyon sıcaklıklarını hesaplanmalı ve özel malzemeler seçilmelidir.

Fırının bütün bölümleri izole edilemez. Fırının tank boğazı izole edilemez ve bir çalışma periyodundan sonra veya başlangıçtan hemen sonra fırın ömrünü uzatmak için soğutulmalıdır. Akım doğrultusundaki ve boğaz kaplamasındaki sıcaklıklar o kadar büyütür ki fırının böyle kesimleri bölgesel soğutmaya tabidir.

Belirli fırın kısımlarında ve belirli çalışma koşulları altında izolasyondan kaçınılmalı veya operasyon amacına göre sınırlanmalıdır. Afinasyondan sonra, cam sıcaklığı, çalışma, koşullar ve özellikle çekiş için mümkün olduğunda çabuk düşürülmelidir.

Düzcam fırınları çalışma bölgesi, gerekli sıcaklık inmelerine ulaşmak için, radyasyonla ısı kaybına izin veren açılalarla donatılmış olmalıdır. Ayrıca konteyner cam fırını operasyonunda çalışma bölgesi izole edilmeli ve ilave ısıyla takviye edilmelidir.

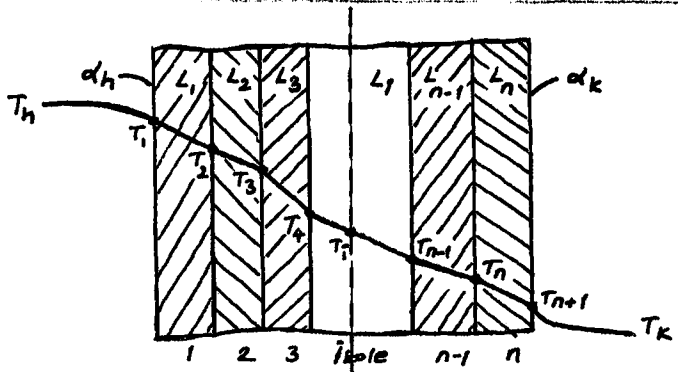
Günümüz tank ve potali fırınları özel koşullar ihtiva ederler çünkü, aşırı izolasyon bu fırınların periyodik operasyonlarını güçlestirir.

Bu koşullar altında izolasyon hazırlıkları dikkatle hesaplanmış olmalıdır.

III.6.1. Izolasyon Hesapları

Cam fırınları komplex bir yapıdır. Bu durum izolasyon için dizayn hesaplarını güçleştirir.

Yüksek yüzey sıcaklığının sahip birkaç dizi içeren bir düz duvar için T_h ve bir çevre sıcaklığı olarak T_k , stabil şartlardaki sıcaklık gradienti ve n adet dizi için aşağıda gösterildiği gibidir. Isı akışı q' dir.



$$\dot{q} = \frac{T_h - T_k}{\frac{1}{\alpha_h} + \frac{1}{\alpha_k} + \frac{L_1}{\lambda_1} + \frac{L_2}{\lambda_2} + \dots + \frac{L_n}{\lambda_n}} \quad \dots \dots \dots \text{(R.8).}$$

α_h ve α_k : Soğuk ve sıcak yüzeyler için ısı geçirme katsayıısı, L = Kalınlık, λ = Her bir dizi için termal kondüktivitedir.

$$T_h - T_1 = \frac{\dot{q}}{\alpha_h}$$

$$T_1 - T_2 = \frac{1}{\lambda_1} \cdot \dot{q}$$

$$T_2 - T_3 = \frac{L_2}{\lambda_2} \cdot \dot{q}$$

$$T_i - T_{i+1} = \frac{L_i}{\lambda_i} \cdot \dot{q}, \text{ ve buradan,}$$

$$T_i = T_h - (T_h - T_k) \frac{\frac{1}{\alpha_h} + \frac{L_1}{\lambda_1} + \frac{L_2}{\lambda_2} + \dots + \frac{L_{i-1}}{\lambda_{i-1}}}{\frac{1}{\alpha_h} + \frac{1}{\alpha_k} + \frac{L_1}{\lambda_1} + \frac{L_2}{\lambda_2} + \dots + \frac{L_n}{\lambda_n}} \quad \dots \dots \text{(R.8).}$$

Yukarıdaki eşitlikler, yüzeylerarası ideal termal teması verir. Isı transfer katsayıları α_h ve α_k , özel hesaplamalar için başvurulan bir kavramdır.

Yüksek sıcaklıklardan dolayı α_h birçok kez α_k dan büyükture, ve sonuç olarak \dot{q} üzerinde bir etki olup, T_i küçütür. Tank duvarlarında bazı kaynaklar $\alpha_h = 232 \text{ W/m}^2\text{K}$ değerini kullanır. Akım doğrultusu bölgesi için $815 \text{ W/m}^2\text{K}$ değerini verir.

α_h , tank duvarları için özellikle cam miktarı ve tipine bağlıdır. Üst yüzey için bu değer $500-1000 \text{ W/m}^2\text{K}$ olarak alınabilir.

Karşılaştırma yapılrsa α_k , α_h 'tan çok küçüktür, ve sıcaklık dağılımı ile duvarlardaki ısı akım yoğunluğu üzerinde daha kararlı etkileri vardır.

konveksiyon için laminar veya türbülanslı akımlara göre aşağıdaki eşitlikler kullanılır.

$$Nu = 0.517 \cdot (Gr \cdot Pr)^{0.25} \dots \dots \dots \quad (R.8)$$

$$Nu = \frac{\alpha \cdot l}{\lambda} \quad \text{ve } \alpha = \alpha_{\text{konv}} \quad l = \text{Duvar yüksekliği.}$$

$$\lambda \Rightarrow T = \frac{T_{n+1} + T_k}{2} \quad \text{sıcaklığındaki havanın termal kondüktivitesi.}$$

$$Gr = \frac{g \cdot h \cdot l^2 (\beta_0 - \beta_e)}{\beta_0 \cdot \gamma^2}$$

g = Yerçekim ivmesi.

h = Duvar genişliği

β_e = T_{n+1} sıcaklığındaki havanın yoğunluğu.

γ = T sıcaklığındaki havanın kinematik viskozitesi.

$$Pr = \frac{\gamma}{\alpha} \Rightarrow 0.67 \text{ kabul edilebilir.} \dots \dots \dots \quad (R.3)$$

II.6.2. Belirli Kısımların İzolasyonu

2.a. Kemer İzolasyonu

Kemer, izolasyon için ilk ele alınacak bölgedir. İç kemer sıcaklığının max. 1650 C olması durumunda bu bölgede izolasyon uygulanabilir. Genelde izolasyon tabaka üzerine tabaka konarak yapılır.

Büyük fırılarda kemerin geniş olması yüzünden statik denge ile birlikte, yine statik dengeden dolayı izolasyon malzemesinin hafif olmasının önemi artmaktadır. Küçük fırınların izolasyonu daha kolaydır.

2.b. Üst Yapı İzolasyonu

Bu bölgenin izolasyonunda da denge önem kazanmaktadır. Alev zaman zaman üst yapı refrakterlerini yaladığı için, sıcaklıklar yükselebilir. Gereğinden fazla izolasyon yapılması halinde sıcaklıklar çok yükselerek refrakterleri aşındırır. Böylece camda düğme ve damar hataları oluşabilir.

Silika-alümina veya mullit gibi izolasyonlar veya bazı portatif izolasyon malzemeleri kullanılabilir.

2.c. Yan Blok Izolasyonu

Yan bloklar, cam seviyesinde mutlaka soğutulmalıdır. Bu yüzden izolasyon cam seviyesinde olmamalıdır. Yan blokların kademeli olarak izolasyonu aşınmayı önleyecektir.

2.d. Taban Izolasyonu

Genelde, taban izolasyonunda önce bir döşeme ve sonra izolasyon uygulanır. İsi kayıplarını önlemek için taban izolasyonu kalınlıkları gittikçe arttırılmalıdır.

Bu arada tabana uygulanan termokupplarla taban refrakterlerinin sıcaklığı izlenmelidir.

Fırında izolasyonun en kolay yapıldığı kısım tabandır. Fırın tabanı yüksek termal kondüktivitesi olan bloklardan oluşur. Bunun altında Al-Si (mullit) bileşimindeki bir refrakter ve en dış kısımında izolasyon refrakterleri vardır.

Önemli olan, fırın tabanındaki refrakterlerin dayanabilecekleri sıcaklıklar tesbit edilmeli ve buna göre izole edilerek korunmalarıdır. Refrakterlerin birbirlerine göre kalınlıkları önemlidir. Refrakterlerin 1-1.2 m'lik cam hidrolik basıncına dayanması gereklidir.

II.7. Tank Bloklarının Soğutulması

Tank bloklarının kaplaması çok eğridir, akım doğrultusunda ve boğazda sıcaklık artışı en güçlü durumdadır ve bu kısımların vaktinden önce bozulması soğutma ile önlenir. Soğutma uygun bir şekilde yapılrsa, sıcaklık artışı redüksiyonu yapılmış olur ve böylece, termal korozyon oranının redüksiyonu sağlanır. Erime bloklarının korozyon oranı da 1400 C'nin üzerinde şiddetle artar.

II.7.1. Soğutma Etkisi

Pratikte, soğutma olayına, blok dışındaki ısı transfer katsayısının yükselmesiyle ulaşılır. İzole edilmemiş bir yüzey için ısı akısı,

$$q = \frac{T_h - T_k}{\frac{1}{q_h} + \frac{1}{q_k} + \frac{L_1}{\lambda_1}} \quad \text{olarak biliniyor. (R.8).}$$

Hatırlanacağı gibi α_h birçok kez α_k tan büyüktür ve $T_1 = T_h$ tır.

$$T_1 \approx q \cdot \left(\frac{1}{\alpha_k} + \frac{Ll}{\lambda_1} \right) + T_k$$

Erime blokları için, 200-300 mm kalınlıkta Ll/λ_1 , birkaç kez $1/\alpha_k$ 'dan büyüktür. Bunun anlamı, α_k yoluyla olan bir sıcaklık redüksiyonunun sınırlı bir büyüklüğe kadar olmasıdır. Ölçümler bu redüksiyonun sadece 10 C civarında olduğunu göstermektedir. Duvar kalınlığı 100 mm ve daha altına indirilirse soğutma etkisine dikkat edilmelidir.

Tank bloklarının korozyonu sadece sıcaklığın değil, duvar yakınından akan camın da fonksiyonudur. Bu akımlar asıl olarak konvektiftir ve duvarların soğutulması ile desteklenir. Soğutma ile sıcak yüzey sıcaklığının redüksiyonu sağlanır, ve konveksiyon akımlarında blokların korozyonunda soğutmanın önemi artar. Tank bloklarının korozyon oranı sabit değildir ve duvar kalınlığının 100 mm'nin altına indirilmesiyle artar.

Konveksiyon akımları boğazda soğutmadan etkilenmediği için bu hesaplar boğaz için geçersizdir.

II.7.2. Soğutma sisteminin Dizaynı

Genellikle soğutma hava ile yapılır. Hava bloklara karşı ~~aksin~~ diye, esas hava soğutmalı sisteme, nozül bağlantılı bir hava verme sistemi akım doğrultu yüksekliğine eritme sonunun yan tarafları boyunca estirilir.

Böyle bir sistemle ulaşılacak ısı transfer katsayısı çeşitli büyülükte olabilir. Tank bloklarına dik açı ile estirilecek hava ile optimum soğutmaya erişilir, ancak bu, yüksek basınç kayıplarına yol açar. Soğutma sırasında fırın içine hava verilmelidir. Çünkü böyle bir durumda yanma olumsuz etkilenir. Düz duvarlar üzerinde ısı transferi bazı boyutsuz sayılarla hesaplanabilir.

$$Nu_{lam} = 0.664 \cdot Re^{3/2} \cdot Pr^{0.5}$$

$$Nu = \frac{0.037 \cdot Re^{0.8} \cdot Pr}{1 + 2,443 \cdot Re^{-1} \cdot (Pr^{2/3} - 1)} \dots \dots \dots \quad (R.3)$$

Prandtl sayısına karşılık gelen $Nu = f(Re, Pr)$ bulunur.

Hava için $Pr = 0.7$ 'dir. Nozuldan çıkış akış hızı 30 m/s , hava soğutmasıyla erişilen ısı transfer katsayısı $200 \text{ W/m}^2\text{K}$ dir. İhtiyaç duyulan soğutma havası miktarı, nozülün öönünde $0.005-0.01 \text{ bar}$ basınçtaki $0.3-0.5 \text{ m}^3/\text{s}$. havadır. Hava soğutmasını sağlayan fanın gücü tank bloğunun her metre- si için $0.6 \text{ kw.}'$ tir.

Akım doğrultusunda, duvar kalınlığı 150 mm 'nin altına inerse mutlaka soğutulmalıdır. Bloğun çatlamasını önlemek için hava yavaşça verilmelidir. Boğaz bölgesinde ise güçlü bir soğutma ile başlanabilir.

Su soğutması ise daha az enerji sarfiyatı ve az koku yapmasına rağmen yatırım maliyeti yüksektir. Sadece belirli koşullar ve yerlerde yapılmalıdır ve hava soğutması kadar effektif değildir. Blokların direkt suyla teması effektiftir ancak, refrakterler çatlayabilir. Soğutularak aşağı inen su zarar verebilir. Ancak bütün koşullara rağmen sertliği giderilmiş su kullanılabilir, ve bu uygun ise resirküle bir sistem ile donatılmalıdır.

Sistemler başarısız ise soğutma uygulanmamalıdır. Kontrol sistemleri ise başarısızlığı hemen tesbit edebilmelidir.

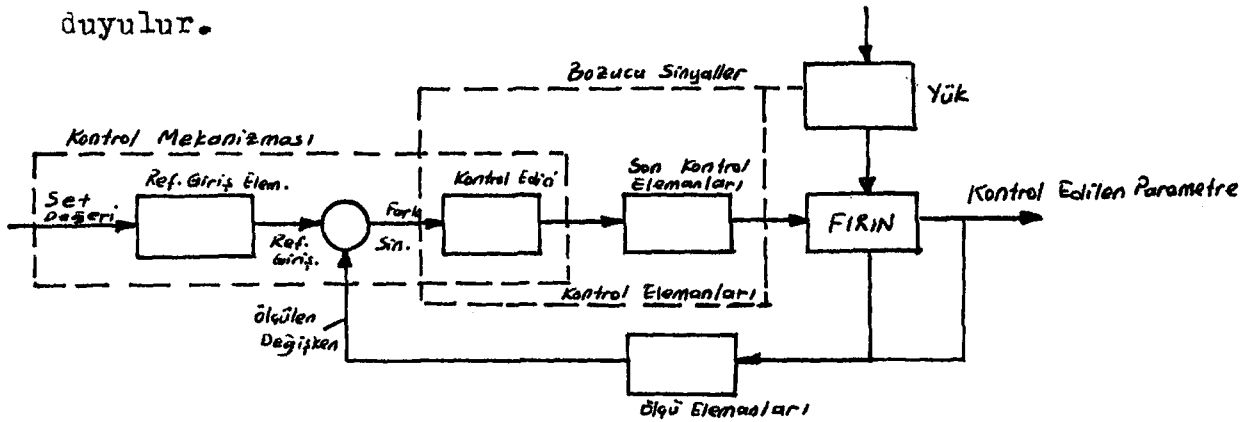
Hesaplanan güç yetersiz kalırsa, tank bloklarının soğutulmasında ilave bir elektrik generatörün yerleştirilmesi gerekecektir.

II.8. Fırın Otomatik Kontrolü

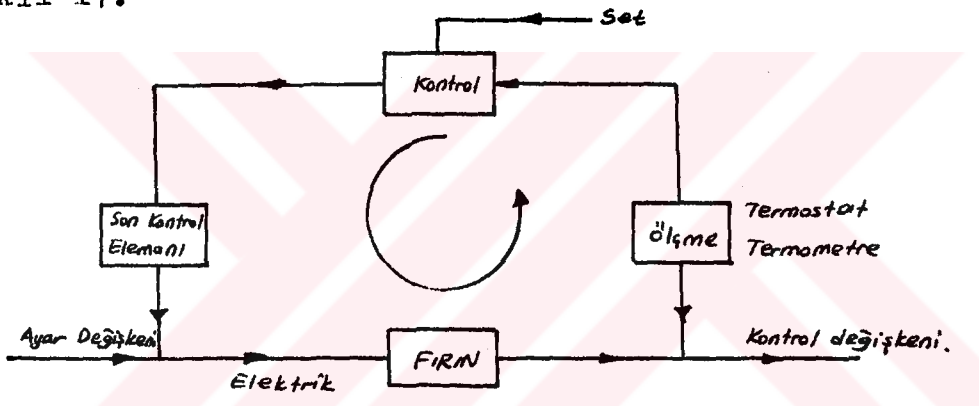
Otomatik kontrol, bir sistemde bir veya birden fazla parametrenin ölçülmesi ve bu ölçülen parametrenin arzu edilen bir değerde, amaca uygun bir şekilde sabit tutulmasını sağlamaktır. Ölçülen değer set değerinden uzaklaşıkça, set değerine yaklaştırılacak şekilde regule edilir. Şekil 17'de böyle bir sistem görülmektedir.

Burada sıcaklığın kontrolü elle (manuel) veya otomatik olarak yapılabilir. Elle kontrolde operatör belirli aralıklarla sıcaklığı okur. Sıcaklık beklenen değerin altında ise veya üstünde ise gerekli ayarlamayı yapar. Elle kontrol, kritik olmayan uygulamalarda sıkça yapılır. Eğer fi-

rında parametrenin kontrolü belli bir hassasiyet gerektiriyorsa ve parametre değişimleri, operatörün düzeltme yapabileceği hızdan daha hızlı ise, otomatik kontrole gerek duyulur.



Sekil 17.



Sekil 18.

Sekil 18'de ise sıcaklık kontrol edilmektedir. Fırında ki sıcaklık, bazı duyar elemanlarıla kontrol cihazının kabul edebileceği sinyallere dönüştürülür. Kontrol cihazı ölçüdüğü değeri, set edilen değerle karşılaştırır ve gerekli uyarıyi son kontrol elemanına gönderir. Son kontrol elemanı da fırındaki kontrol edilen parametreyi, set edilen değerde tutabilecek şekilde ayar değişkenini değiştirir.

Otomatik kontrol için fırılarda en iyi cihazın seçilmesi ve bu cihazların iyi çalışmaları şu parametrelere bağlıdır:

a. Fırın karakteristikleri

b. Set noktası etrafında kabul edilebilecek sapma miktarı,

c. Seçilen kontrol cihazının iyi ayarlanması.

II.8.1. Kontrol Çeşitleri

II.8.1.a. Açık Kapalı (on-off) Kontrol

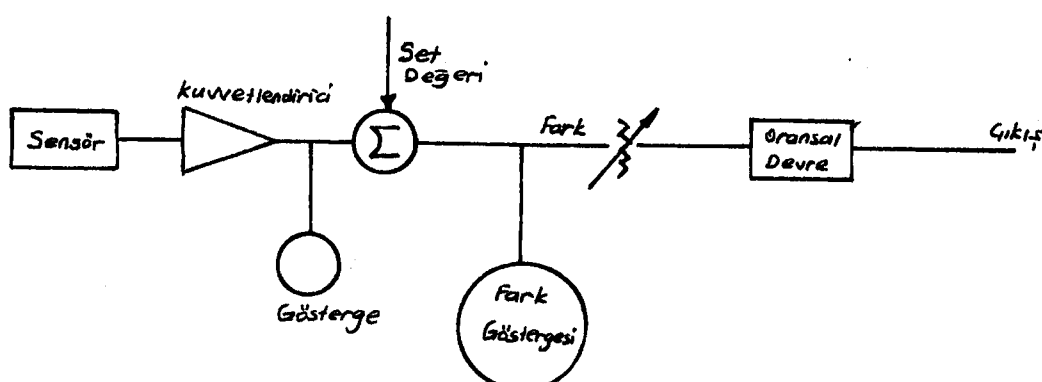
Açık kapalı kontrol sistemi, cihazı set değeri üstünde veya altında ayar değişkenini açar veya kapar. Kontrol cihazının çıkışı ya tamamen açık ya da tamamen kapalıdır. Ayar değişkeni elektrik enerjisi olan bir sistemde, kontrol cihazı set değerinin altında elektrik enerjisini sisteme tamamen verir. Set değerinin altında ise tamamen keser.

Bu kontrolde, kontrol altında tutulan değişken, yanı sıcaklık sürekli salınım halindedir. Set değerinin etrafında yapılan bu salınımda, önemli olan sıcaklık farkının minimum olmasıdır.

II.8.1.b. Proportional Kontrol (P Kontrol)

Sensör yardımıyla alınan sıcaklık sinyali, ortam sıcaklık dengelemesi yapıldıktan sonra kuvvetlendirici bir devreden geçerek set değeri ile karşılaştırılır. İkisi arasındaki fark alınarak hata değeri veya fark değeri bulunur. Bu değer (+) ise fırın set değerinin üzerindedir. (-) ise altındadır. (=) ise fırın set değerindedir.

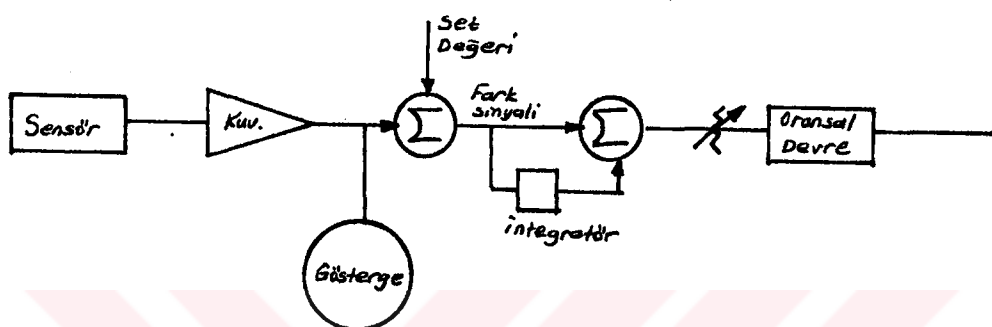
Fark değeri sıfır ise oransal çıkış % 50'dir. Bu % 50'lik değeri korumak zordur. Set değeri ile sıcaklığın sabit kaldığı değer arasındaki farka off-set denir. Bu değeri küçültmek için oransal bant küçültülebilir. Ancak bu taktirde açık-kapalı kontrole yaklaşılır. Bu yüzden en uygun oransal bant seçilir.



Şekil 19. Proportional Kontrol.

II.8.1.c. Proportional + Integral Kontrol (PI Kontrol)

Oransal kontrolde oluşan off-set elle veya otomatik olarak kaldırılabilir. Bunun için kontrol vihazı elektronik integratör devresi kullanılır. Ölçülen ve set edilen değer arasındaki fark sinyalinin zamana göre integrali alınır. Bu değer, fark değeri ile toplanır ve oransal bant kaydırılmış olur. Böylece sisteme verilen sıcaklık değeri ayarlanabilir ve fırın sıcaklığı set değerine oturtulur.



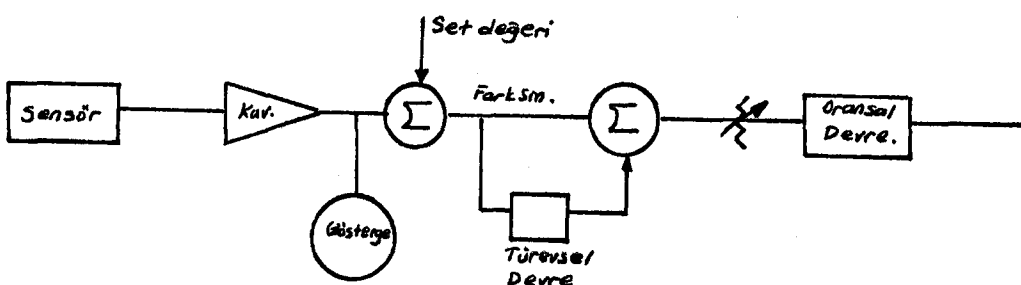
Şekil 20. PI Kontrol.

II.8.1.d. Proportional + Diferansiel Kontrol (PD Kontrol)

Oransal kontrolde oluşan off-set, bu kontrol ile kaldırılabilir. Sıcaklık değişimlerinin hızlı olduğu fırılarda oransal bandı aşağı veya yukarı kaldırırmak için türevsel etkiden yararlanılabilir. Kaydırma hızı sıcaklığın değişim hızına orantılı olarak değişir.

PD kontrolde set değeri ile ölçülen değer arasındaki fark sinyali elektronik türev devresine gider. Türevi alınan fark sinyali tekrar fark sinyali ile toplanır ve oransal devreden geçer. Bu şekilde düzeltme yapılır.

Türevsel etki oransal bant içine girmeden başladığı için, düzeltici etki hemen başlar.

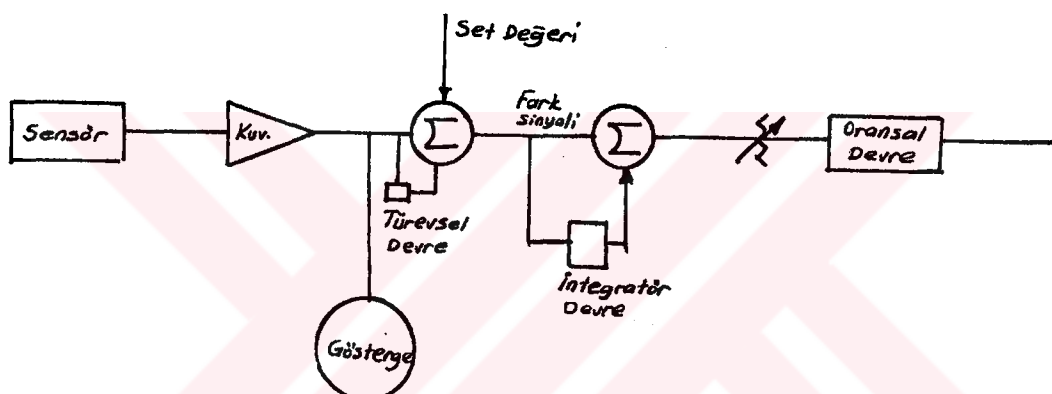


Şekil 21. PD Kontrol.

II.8.1.e. Proportional + Integral + Diferansiel Kontrol

Daha önce saydığımız kontrol sistemlerinin yeterli olmadığı durumlarda PID kontrol kullanılır. Oransal kontrolde off-set oransal integral kontolle giderilir. Ancak, oluşan aşımlar, bu kontrole diferansiel kontrolün eklenmesi ile giderilir.

Ölçülen etkinin türevi alınır, kendisi ile toplanır, set değeri ile farkı alındıktan sonra da integratör devresinden geçirilir. Böylece, türevsel etki set değerinden önce olduğu için değişimlerden sistem fazla etkilenmez. Ayrıca ayarlaması iyi yapılmış bir sisteme aşırı artış olmaksızın sıcaklık set değerine oturtulur.



Şekil 22. PID Kontrol.

Bundan sonraki kısımda, değişik bir fırın tipi olarak pot fırınları (Potalı fırınlar) üzerinde durulacaktır. Bu konuda I. bölümünde belirli bir ön bilgi verilmiştir.

II.9. Potalı Fırınlar

Bu tip fırınlarda, cam, pot adı verilen, genellikle her fırının birkaç tane içerdiği özel konteynerlerde eritilir. Bir tank fırınında eritme prosesinin herbir aşaması olan soğutma, afinasyon, eritme, fırında özel bölgelerde gerçekleşirler. Bir potalı fırında, bütün bu aşamalar, aynı yerde gerçekleşirler. Ard arda ve potun içinde.

Eritme prosesi, periyodik bir prosesdir. Ancak, fırın periyodik veya sürekli olarak işletilebilir. Günümüzde Almanya'da olduğu gibi açık tip potlar kullanılırsa, fırın ve potlar, 24 saatlik bir devre bağlı olan aynı periyodik

programı izlerler.

Eğer kapalı potlar kullanılırsa, fırın yanma boşluğu, potların yer aldığı bölümden ayrılmalıdır. Çünkü bunlar, toplama boşluğu haricinde yerleştirilmiş olan bölümlerdir. Toplama boşluğunun açılıp kapanması vasıtasiyla, sürekli fırın operasyonlarını periyodik eritme ile birleştirmek mümkündür.

Mamafih, pot örtüsü, fırın ve cam arasında, sonuç olarak 24 saat periyoduyla çalışan kapalı potlardaki eritme periyodunda, ısı transferi için ana bir bariyer olusur. Bunun dışında, bu eritme tekniği, sadece düşük eritme ve afinasyon sıcaklığı olan camlar için uygundur. Rakat, uçucu özelliği olan camlar için avantajları vardır. İyi dizayn edilmiş bir pot fırını, tam olarak ve doğru çalıştırılırsa, çok homojen cam verir. Bir avantajı da 24 saat periyotlu çalışması, nöbetli çalışma anlamına gelmez.

Dezavantajları arasında, cam işlemenin mekanizasyonunun sınırlı olmasına ve sınırların eritme ve fırının potlarının yapıldığı malzeme yüzünden, afine sıcaklığının limitlerinden dolayı, yüksek spesifik enerji sarfiyatı içermesidir.

II.9.1. Fırın Dizaynı

Yıllar boyu, birkaç pot fırını tipi geliştirilmiştir. Seçimler, burada açıkladığımız, konuya ilgili dikkatli analizlere bağlı olmalıdır. Mevcut yakıt tipi, yapılacak cam tipi, ihtiyaç duyulan çalışma koşulları ve kalite standartları bilinmelidir. Potun aşırı ısınmasını önlemek için yumuşak bir alev kullanılmalı ve periodik çalışmala-ra uygun olması için geniş bir toleransla kontrol edilebilir olmalıdır. Pot fırınları en eski fırın tiplerinden dir. Buna iyi bir örnek olarak Büttén fırınları verilebilir. Bu, kompakt tip bir fırın olup, ön ısıtılan gaz ve havası ile regeneratif olarak yakılır. Fırının alttan yakılması, cam fırının ve gaz sağlayıcısının aynı üniteyi tesis ettiğini göstermektedir. Bu tip fırının en zayıf yönü, yüksek sıcaklığın ve dökülen camın beraber etkisinden do-

layı hızla takılan kuşatma portlarıdır. Camın, cam deposuna, pot kırılması olayında emin olarak gitmesi için, potlar, merkeze aşağıya doğru hafifçe eğimlidir.

Herbir fırının çıkışında bir kapı çıkışı vardır. Potlar değiştirileceği zaman, eski potların çıkarılıp, yenicilerinin konması için kolayca hareket ettirilebilen bir yapıda ve destekli yapılmıştır. Bu fırınlar doğal gazla yakma sisteme dönüştürülmüştür.

İkinci bir fırın tipi de, Bütten fırınlarına benzeyen ve halen kullanılmakta olan dairesel pot fırınlarıdır. Bunlar, bazı ülkelerde Schwaller veya Hermannsen fırınları olarak da bilinir. Bu fırın, potların dairesel olarak etrafına yerleştirildiği bir kule dizaynına yerleştirilmiş bir merkezi yakma sisteme sahiptir. Alev, her potun en dış tarafına ve merkezden bütün doğrultulara bir fan vasıtasiyla verilir. Çürük gaz akımları fırın duvarında bitişiktir ve fırın bir rekuperatör olarak çalışır. En iyi yakıt, herhangi bir yan duvardan veya alttan verilen doğal gazdır. Yağ yakıt veya sivilastırılmış gaz yakıt kullanımı yönünde teşebbüsler vardır.

Yuvarlak pot fırını olarak, 16 pottan oluşan bir dizayn yapılmıştır. Ancak en büyük fırılarda ekonomik operasyon için 6 ile 10 arasında pot sayısı kullanılrsa, fırın tezgahı alanı, doğru olacaktır. Bu fırının başlıca avantajı, birçok çalışma konumuna yerleştirilebilir ve böylece birçok üretim tipi için uygun olur.

Böyle bir yuvarlak fırın 2 veya 4 rekuperatör içerecektir. Rekuperatördeki özel ayarlamalarla, eritme odasındaki alev formasyonu değiştirilebilir. Cam işletmedeyken birçok konteyner boşluğunun açıkta olması, içeriye emilen soğuk hava limitinin, fırın basıncının kontrolü açısından bir dezavantaj arzeder. Biraz önce de bahsedildiği gibi konteyner boşluğunun yanındaki yuvarlak duvarlarda çürük gazlar bulunur.

Pot fırınları, ayrıca, yarım daire formunda da dizayn edilebilir. Bu, küçük bir yapı arzeder. Ancak, dezavantajı şudur: Dış duvar boyu, fırındaki pot sayısına bağlı ola-

rak artacaktır. Bu ise daha fazla enerji sarfyatına yol açar.

II.9.2. Isıtma Prosesi

Isıtma süresince, pot fırınları, tank fırınlarıyla karşılaşıldığında, sürekli ısıtma ve soğutma bakımından çok dezavantaj gösterir. Çekisten ve sıcaklıktan veya regeneratif sistemin özelliğinden dolayı yükselen ısı kayipları hariç, fırının bütün parçaları sabit sıcaklıkta kalmayı için, bu ısı kayipları bir tankla önlenir. Bununla beraber fırının çalışmasını engelleyen bir termal izolation yapılamaz.

Sürekli yakmaya rağmen, konteyner boşluklarının çalışma için açılması dolayısıyla, sıcaklıkların düşmesine yol açtıgından, fırının kendisi sıcak kalsa bile, kaplı pot kullanılarak sürekli çalıştırılan fırın, herhangi bir gelişme kaydedmez. Potların kaplı olmasından dolayı, alelle cam arasındaki zayıf ısı transferi, eritme süresinin oldukça uzamasına, çekisten düşmesine ve spesifik enerji sarfyatında üzerinde durulması gereken bir artışa sebep olur. Bir potalı fırının yakma havasının ön ısıtilması asla bir tank fırınının değerlerine ulaşamaz.

Reküperatörler, özellikle metal reküperatörler, düşük termal ataletlerinden dolayı, daha iyidirler ancak, metal reküperatörde ön ısıtilacak hava sıcaklığı sınırlıdır. Seramik reküperatörler daha iyi bir öneri olacaktı fakat zamanla, sürekli sıcaklık farklılıkları ve gerilmelerden dolayı oluşacak çatlak ve kırıkların getirdiği zararları vardır. Sonuç olarak, bir reküperatörün çatlakları aşırı hale gelirse, fırının kapatılmasına yol açan bir olaydır. Çünkü, baca, fırın yakma havasını kaçıracaktır. Kısmen yeterli sürenin olmayışı, kısmen de cam kalitesinin yaptığı ikinci bir farklılık da, potun dışında kullanılabilcek cam miktarının sınırlıdır. Ulaşılabilecek en iyi değer, bir potun içeriğinin % 75'i kadardır. Yüksek cam kalitesi istenilirse, ve özellikle ince duvarlı ise, bu değer % 35-40'a indirilebilir. Parklı ölçüler ve kalitede cam üretimi için bu değer % 65-75 arasındadır. Bu değerlere nadiren e-

rişilir.

Yukarıda açıklanan bütün faktörler, bir pot fırınının spesifik enerji sarfiyatının, bir tank fırınıninkinden, daha yüksek olmasına yol açar.

Genellikle bu sarfiyat, 20000 ve 40000 kJ/kg.cam. arasındadır. Elde edilen en iyi değerler, yuvarlak fırınlardır. Parklı fırınların enerji sarfiyatları karşılaştırılırsa, potların dışında kullanılan cam miktarının derecelerle standardizasyonu gereklidir. Akai halde hatalı kararlar alınabilir.

Küçük oranlardaki cam miktarlarının pot fırınlarında eritilmesine rağmen, bunlar cam endüstrisinin önemli bir kısmını teşkil eder ve büyük çeşitlilik ancak az miktarda cam mamüllerinin üretiminde ihtiyaç duyulur. Enerji fiyatları, pot fırınlarının kullanımında, daha fazla oranda kullanılan tank fırınlardaki kadar önemlidir. Fırındaki daha büyük ısı akım oranlarının cam eritilmesinde kullanılabilmesi için, refrakter kütlelerinin azaltıldığı yeni bir pot fırını dizayn tipi, bu konuda son zamanlarda yapılan çalışmalarla tamamlanmıştır.

Seramik bir reküperatörde ön ısıtılan hava ile beraber doğal gazla yakılan bu fırın, bir konvektif metal reküperatörle seri bağlanmıştır. Bu fırın tipi, açık potlarda, günlük kristal cam eritilmesi için, doğal gaz veya hafif yağıla yakılır ve 650°C'lik bir hava ön ısıtma sıcaklığı ile, ve 380°C'lik çürük gaz sıcaklığı ile 25000 kJ/kg.cam lik bir yakıt sarfiyatı vardır.

Bir pot fırınının çekişi, ölçülerine ve 500-5000 arası kg.cam/gün arasındaki değerlere bağlıdır. Toplam tezgah alanı, 4-18 m² arasındadır ve erimiş cam alanı, tezgah alanının % 33-48'ıdır. Büyük fırınlar, daha küçük fırınlara nazaran daha küçük spesifik enerji sarfiyatı verir.

II.9.3. Elektrikle Isıtılan Pot Fırınları

Molibden, normalde bu fırınlarda veya dizaynlarında ısıtma elemanı olarak kullanılır. Elemanlar aralıklı olarak yerleştirilir. Aralar, mekanik hasarları veya iletken-

lerin topraklanmasılığını önlemek için yeterince derin yapılır. Araların, tam boyutlarını almaları için, uzun kullanım periyotlarından sonra bile dilli ve oluklu refrakterler tavsiye edilir. Fırınlar, burada tek pot fırını olarak dizayn edilir ve elemanlar, fırınla çevre arasındaki direkt radyasyonu önlemekten kaçınacak şekilde yerleştirilir.

Molibdenin elektriksel direnci, sıcaklığın artmasıyla, elektriksel bağlantıların ısıtma sırasında aşırı yüklemesini önlemek için, hızla artar. Yüksek voltajlarda transformatörler kullanılmalıdır.

Bu fırınlar, dışında eritilen cam miktarı oranı yüksek olsa bile, kontrollü ısıtmadan dolayı yüksek kalitede cam verir. Elektrikli fırınlar, ilk zamanlarda yüksek olan elektrik fiyatlarından dolayı itibar görmemiştir. Ancak, fosil yakıtların atık gaz oranı ve artan fiyatları, bu fırınları üzerinde düşünmeye değer kılmuştur.

III.10. Kayıp Isının Geri Kazanılması

III.10.1. Rekuperatörler ve Regeneratorler

Sıvı yakıtlı cam eritme fırınlarının yüksek çalışma sıcaklıkları, atık isının yanma havasını ön ısıtması için, ve bazı özel durumlarda, enerji sarfyatını minimumda tutmak için kullanılmasını, gündeme getiriyor. Pratikte, rekuperatörler ve regeneratorler bu amacı yerine getiriler ve dizayn hesaplamaları üzerinde durulmaktadır.

Fırınların büyük bir kısmı sadece özel durumlarda kullanılan rekuperatör ve regenerator haizdir. Rekuperatörün davranışları daha basit olduğu için, uygunlukları sebebiyle öncelikle üzerlerinde durulur.

Regeneratorler, aralıklı çalıştırılan ısı eşanjörleridir. Avantajları, atık gazlar ve hava arasında gaz sızdırmaz ayırcıya ihtiyaç duymamalarıdır. Dezavantajları, periyodik tersine gaz akımlarıdır. Regeneratorler genellikle cam fırınları için tercih edilirler çünkü daha yüksek hava ön ısıtma sıcaklıklarını verirler. Hesaplarında analitik metodlar genellikle zordur ve genelde rekuperatörler gibi

düşünüp, uygun bir ısı transfer katsayısı, K, kabul edilir. K'nın hesaplanması için çeşitli metotlar vardır.

Bilgisayar tekniginin gelismesi, regenerator datası olarak, rekuperatörlerde uygun K'nın bulunmasını kolaylaştırmıştır.

II.10.1. Atık Isı Boilerleri

Tank fırını terk eden atık gazlar nispeten yüksek sıcaklıkta olduğundan ve enerji fiyatlarının yüksek olduğundan dolayı ulaşılan ısının yeniden kullanılması gerektiği açıklıktır. Bu atık gaz ısısının kullanımının gerçekleştirilebilirliği, tesisatta düşecek sıcaklığın verilmesine, ısiya ve diğer enerji ihtiyacına bağlıdır. Atık gazlar, regeneratorlerle, yakma havasının ön ısıtılmasında geniş ölçüde kullanılır ve bir fırının çalışmasıyla zıt periyodik olarak çalıştırılmalıdır. Atık ısının ikinci bir kullanımı ise ters mekanizmanın akım yönünde olur. Yanı sıcaklık farkları azaltılır. Rekuperatörlerle sabit yakılan cam fırınları, daha yüksek sıcaklık farklarına sahiptir. Özellikle rekuperatörlerle atık ısı boilerleri aynı sisteme içinde birleştirilebilirse, yükselir. Bununla birlikte yüksek sıcaklıklar ısı transferinin şiddetli olmasına neden olur. Bu ise, geniş ısıtma alanı ihtiyacını azaltır. Bunların dezavantajı, yüksek sıcaklık direnci olan pahalı çeliklerin konstrüksiyonda kullanılması ihtiyacıdır.

Atık gazlardan tozların filtrasyonla atılması çok gereklili olduğundan, ayrıca atık gazların filtrasyondan önce soğutulması gerekiğinden bu işlem için atık ısı boilerleri uygun bir anlam taşımaktadır.

1.a. Genel Isıtma amaçlı atık ısı Boilerleri

Cam sanayiinde, binanın ısıtılması, yakıtların ön ısıtılması geniş olarak uygulanır. Boiler kullanımının sebebi düşük basınçta çalışması ve bunun daha kolay su sağlamaşıdır. En kolay çözüm bir alev borulu boilerdir. Gaz yakmalı bir tank fırını ile birleştirilen bu tip boilerin tek problemi, borularda biriken toz tortusu olup, temizleme ile, boruların giriş ve çıkışları kolaylaşır. Bu tip boilerler 10-15 bar'da çalışır.

Eğer çığ noktası aşılırsa, ağır yakıtla yakılan tanklarda, sülfirik asit tehlikesi yükselmektedir. Bir atık ısı boilerinin dizaynından önce deneysel olarak çığ noktasının belirlenmesi korozyon açısından iyi bir tedbir olacaktır. Deneylere göre, yakıtın sülfür miktarı, % 2'den az ise korozyon önlenebilir. Sülfür miktarının % 1-2 ise daha az önemi olmaktadır.

Kritik parametre, yakma koşullarıyla daha az önemi olan ve daha az etkilenen SO_3 miktarıdır. Boilerlerin ısıtma yüzey sıcaklıklarının daima çığ noktasının üzerinde tutulmasıyla zararlar önlenebilir.

Buhar boilerlerinde, atık gaz tarafından yüzey sıcaklıklarını 10°C kadar olup, su için çığ noktasının üzerinde dir. Bir kızdırıcıda bu daha yüksektir. Asitin çığ noktası 160°C ise, yoğunlaşma sıcaklığı 180°C seçilebilir. Buna tekabül eden çalışma basıncı 9.5 bar olup, bir valf ile sabit tutulmalıdır. Karşı akımlı bir sistemle, boilere sağlanan su, yüksek basınç besleyici ısıticisinde buharla ön ısıtılmalıdır.

Eğer asit yoğunlaşmasından dolayı oluşan korozyonun önlenmesi gerekiyorsa, 30 bar'lık bir basınçta tekabül eden 230°C'lik bir yoğunlaşma sıcaklığı kullanılmalıdır. Su borulu boilerlerde ise, gömlekli ve borulu boilerler en iyisi degildir.

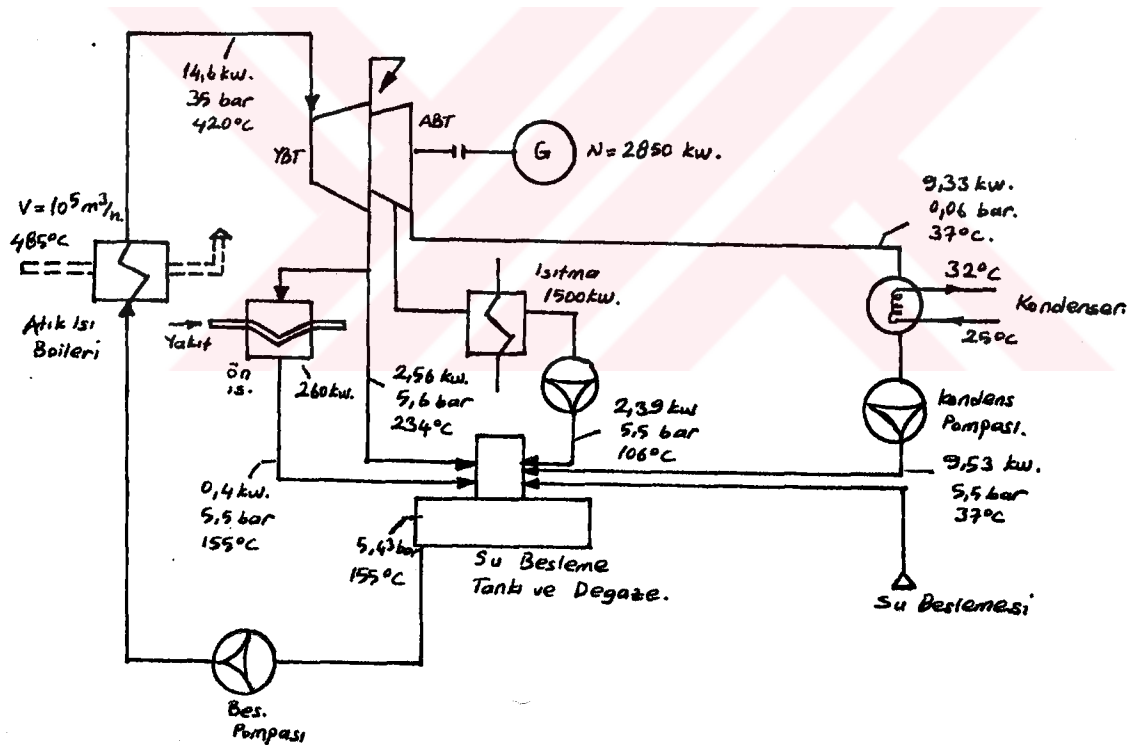
1.b. Atık Isı Elektrik Güç Planı

Atık ısı kullanımının daha iyi, ancak, daha yüksek miktarlı bir yatırımı olarak, küçük bir elektrik gücü üretim ünitesidir. Böyle bir ünitenin dizaynı şekil 23'te verilmiştir. Atık gazlar, basıncı bir türbinde genişletilerek düşürülen kızgın buhar üretimi ile boilerde soğutulur. Çıkışta bir miktar buhar ısıtma amaçlı kullanılırken, artan kısmı da, besleme suyuna yeniden gönderilmek ve ısıtma yoluya gazının gidermek için kondenserde yoğunlaştıruluyor. Buhar türbini, bir generatöre, bir kompresöre veya fana tahrik verebilir. Elektrik üretimi sırasında, türbindeki buhar yüksek basınçta olabilir ve kuruluk derecesi tesbit edilsin diye kızdırılmış olabilir. Buhar kuruluk

derecesi düşük olursa, erozyon ve düşük etkinlik olabilir.

Eğer bir proseste atık gaz miktarı ve sıcaklığı sabit tutulursa, boilerdeki atık gaz, su ve buhar sıcaklıklarını arasındaki ilişkileri gösteren bir diagram verilebilir. Boilerde olan ısı girişi, atık gazdan çekilen, T_1 sıcaklığında girip, T_3 sıcaklığında çıkan atık gazın verdiği ısıdır. Besleme suyunun T_5 gibi bir giriş sıcaklığı olup, yoğunlaşan buhar sıcaklığı olan T_4 'e çıkar, ve buharlaşır. Kızdırıcısız bir boilerde, buhar sıcaklığı, yoğunlaşan buharın sıcaklığında sabit kalır.

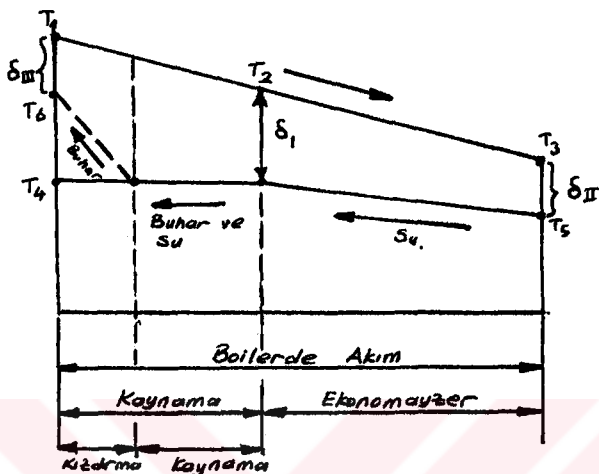
8. Sıcaklık farkı, evaporasyon yüzeyi sonunda yeter derecede büyük olmalı, çünkü, ısıtma yüzey alanı sıcaklık farklarıyla ters orantılıdır. Bahsedilen sıcaklık diagramı, şekil 24'te verilmiştir.



Şekil 23.

Eğer sıcaklık farkları çok küçük ise, ısıtma yüzeyi ekonomik olmayacak bir şekilde genişleyecektir, ve elde edilecek gerekli buhar basıncını engelleyecektir. Aynı şey, δ_2 sıcaklık farkıyla da ilgiliidir. T_2 atık gaz sıcaklığı için, boiler limiti ve ekonomayzer yüzey alanı optimize edilmelidir. Boiler yüzey alanı çok küçük ise,

(ki T_2 T_1 'e yakın olacaktır), çok az buhar elde edilecektir. Ekonomayzer artık ısıyi kullanamayacak ve boiler ekonomik olmayacağındır. Eğer boiler yüzey alanı çok büyük ise (ki T_2 çok düşük olacaktır.) yoğunan buhar miktarı çok büyük olmasına rağmen, buhar basıncı çok düşük olacak ve bu çok az elektrik çıkışı verecektir.



Şekil 24.

Buhar türbinleri sadece kızgın buharla kullanılabilir. Bu ise bir kızdırıcıda elde edilir ki, kızdırıcı boilerin kendi parçası olup, kızdırıcıda buhar ayrı olarak ısıtıılır.

Bu sistem Şekil 24'te açıklanmıştır. Boileri buharın son terk etme sıcaklığı, T_6 'dır ve δ_m sıcaklık farkı, buharı emniyetle elde edecek ve südürecek seviyede tutmak için, kızdırmanın ihtiyaç duyulan derecesi için, yeterince geniş bir fark olmalıdır. Cam fırınlarında atık gazlar genellikle, kızdırma için uygun olmayan ve değimeyecek ve yeteri kadar sıcak olmayan tozlar içerir. Kızdırıcı kırılması kolayca oluşur ve bu risk, kızdırma sıcaklığının artmasıyla büyüyecektir. Bu yüzden buharın ısıtilmasının ayrı bir kızdırıcıda yapılması ve bu ısıtmanın fırından olan atık gazlarla yapılması ve bu ısıtmanın fırından olan atık gazlarla yapılmaması, sık sık daha uygun olmaktadır. Mamafih, yakıt fiyatları arttığı için, ayrı bir kızdırıcının yerleştirilmesi ve çalıştırılması pahalı olmaktadır ve yapılabılırlığı, dikkatli değerlendirmeye ihtiyaç duymak-

tadır.Yoğun buharın yardımcı bir boilerde kızdırılması, 1200 C ve yoğun buhar sıcaklığı arasında olması gereken bir sıcaklığa ihtiyaç duyar.Bunu ekonomik olarak icra etmek için, yoğunlaşmış buhar kendi ekonomayzérinde ısıtılmalıdır.Böyle bir boilerin kontrolü güçtür ve türbin geniş bir buhar sıcaklığı arasında çalışacaktır.

Eğer, bir sıcaklık düşüşü için, kızdırma ilave bir sisteme ihtiyaç duymaksızın boilerde gerçekleştiriyorsa, ayrı bir kızdırıcıının yerleştirilmesi ile karşılaşılırırsa, buhar daha düşük bir basınçta olmalı veya ısıtma yüzeyi nispeten geniş bir ölçekte dizayn edilmiş olmalıdır.

Yukarıdaki sistem, bir elektrik üretim sistemini, 260 kw'lık, yakıt ön ısıtmasını; $10 \text{ m}^3/\text{h}$ debi, 485 C sıcaklıkta atık gaz sağlanmasıyla 1500 kw'lık mahal ısıtmasını veriyor.Mekanik enerji ise, bir türbin tarafından sağlanmaktadır.

Eğer ilave bir atık ısı锅炉i kullanılırsı, türbindeki buhar basıncı 500 C'de 78 bar'a çıkabilir.Bu suretle artan türbin performansı, dezavantaj olarak, ayrı yakılan bir kızdırıcı için yakıt fiyatı artacaktır.Yukarıdaki şekilde görüldüğü gibi, bir atık gaz, generatörden güç elde etmek için turbinden geçirilmek üzere, kızdırıcıda ısıticı olarak kullanılabilir.

Her durumda en ekonomik çözüm, ayrı olarak belirlenmelidir.Atık gaz sıcaklığının redüklenebilmesinden dolayı, çekisin düşüğünden hareketle, doğal çekili bir baca yeterli olmayabilir ve ilave bir çekis sistemi, atık ısı锅炉leri için gerekli olacaktır.Çalışmasıyla ilave bir yatırım ve enerji sarfiyatı getirecek olan bir emme fanının yerleştirilmesi kaçınılmaz olacaktır.Ancak, baca atık ısı锅炉inin kapatılmasıyla, sıcaklık değişimlerine maruz kalacaktır ve bu değişimlere dayanacak şekilde dizayn edilmelidir.

l.c. Atık Isı Boilerlerinin Dizaynı

35 bar buhar basıncında çalışan atık ısı锅炉leri daima su borulu锅炉lardır ve su sirkülasyonu doğal veya basınçlı olabilir.Konvektif锅炉ler daha basit kons-

trüksiyonludur ve birkaç yardımcı pompa söz konusu sudur, ancak dizaynları daha az adapte edilebilir yapıdadır.

Sıvı yakıtla yanın fırınlarla beraber kullanılan atık ısı boilerleri iki ayda bir hava üflenerek temizlenmelidir. Üfleme biriken tozları atacak ve lülelere yapışan bisülfatın temizlenmesini sağlayacak şekilde olmalıdır. Temizleme işlemi iki gün alabilir ve bu süre içinde boilerler kullanım dışındır. Her üç yılda bir boilerler komple teftiş edilmelidir ve her 9 yılda bir basınç testine tabi tutulmalıdır.

Korozyon ve tozların yapışması problemi üst atık gaz akımı ile minimize edilebilir.

Max. tahlmini buhar..... 6.3 ton/h

Max. basınç..... 47 atm.

Atık gaz giriş sic..... 480 °C

Besleme suyu sic..... 155 °C

Atık gaz çıkış sic..... 250 °C

1.d. Cam Ergitme Fırınlarının Bağlantılı Olduğu Atık Isı Boilerleri

Regeneratif yakılan fırınların tersine, rekuperatif yakılan fırınlar, tamamen veya kısmen, atık ısı boilerinin geliştirilmesi için bir kolaylıktır. Burada sıcaklık düşümü daha fazla olacaktır, ancak, ön ısıtılan havanın ön ısıtma sıcaklığının fiyatında da azalmaya yol açacaktır.

1.e. Dizayn Hesapları

$$\eta_f = \frac{\dot{E}_B - \dot{H}_A}{\dot{E}_B}$$

\dot{E}_B : Fırına yakıt enerjisinin akımı.
 \dot{H}_A : Atık gaz akımının entalpisi.

$$\dot{E}_B - \dot{H}_A = \dot{E}_{B,R} + \dot{H}_L - \dot{H}_A \frac{\dot{E}_{B,R}}{\dot{E}_B}$$

$\dot{E}_{B,R}$: Ön ısıtmalı yakıt enerji akımı.

$$\frac{\dot{E}_{B,R}}{\dot{E}_B} = \frac{\eta_f}{\eta_f + \frac{\dot{H}_L}{\dot{E}_{B,R}}}$$

ve $\frac{\dot{H}_L}{\dot{E}_{B,R}} = \frac{\lambda l_{st} \cdot \Delta T_L \cdot C_p}{H_u}$

λ : Yanma hava fazlalık katsayısı.

l_{st} : Birim yakıt ağırlığı başına stokiométrik hava ihtiyacı.

ΔT_L : Hava ön ısıtma sıcaklık farkı.

C_p : Hava özgül ısısı.

H_u : Yakıtın net kalori değeri.

$\lambda l_{st} = 11.7$ değeri için $H_u = 40600 \text{ kJ/kg.yakıt}$, $= 0.4$ olmaktadır.

Bu sistemlere alternatif konstrüksiyon, cam fırınının ve atık ısı boilerinin içine bir reküperatör yerleştirilmektedir. Böyle bir sistem verilmiş olup, koşulları da yukarıda verilmiştir.

1.f. Enerji Yönetimi ve Enerji Dağılımı

Atık ısı boilerinin amacı, fırındaki atık gaz ısısının sağlanmasını sağlamaktır. Bu bakımdan bunlar, fırının bir parçasıdır, ancak, enerji yönetimi ve dağılımı bakımdan fırının bir parçası olmaktan uzak bir görünüm arzeder. Atık ısı boilerinin dizayn ve ekonomisi, kendisi tarafından etkilenen fırın ve diğer parçaları da içerir. Bu komuda, atık ısının kullanımını gösteren, su ısıtıcı ve kızdırıcıyı ayrı ayrı içeren sistemler vardır. Bu sistem, sadece yakıt fiyatlarının düşük olması durumunda uygulanabilir.....(R.3, R.4, R.5, R.7, R.11, R.12, R.13).

————— o —————

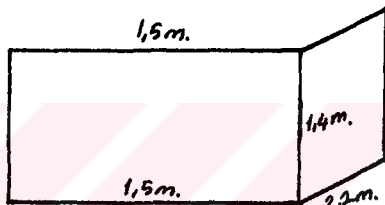
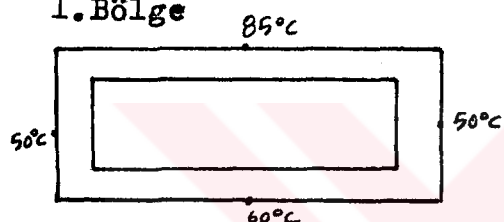
III. BÖLÜM: Termik Hesaplara Giriş.

Bu kısımda fırının ısı balansı incelenecektir. Bunun için öncelikle fırın duvarlarından konveksiyon ve radyasyon yoluyla oluşan ısı kayipları incelenecektir.

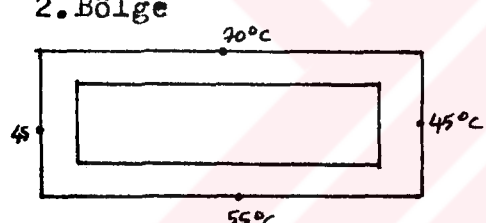
Ancak hesaplara girilirken unutulmamalıdır ki buradaki hesaplar model hesaplarıdır. Çünkü verilen done ve referans noktaları tamamen gerçek olmayıp, gerçege yakın değerleri göstermektedir.

İnceleme yapacağımız fırın 5 bölgeden oluşmaktadır ki bu 5 bölgenin iç ve dış sıcaklık dağılımı tamamıyla birbirinden farklıdır. Öncelikle bu 5 bölgenin boyut ve sıcaklık dağılımını inceleyelim.

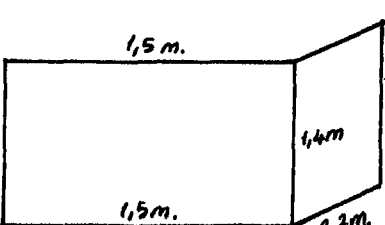
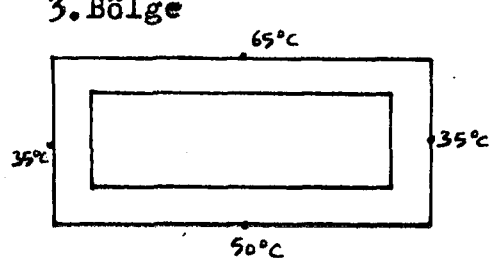
1. Bölge



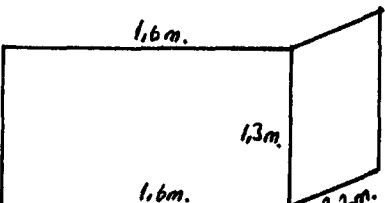
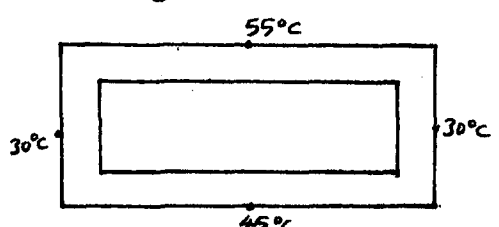
2. Bölge



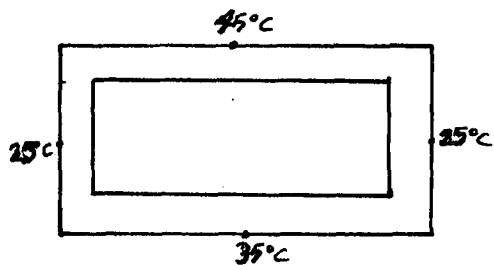
3. Bölge



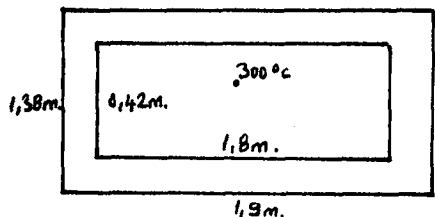
4. Bölge



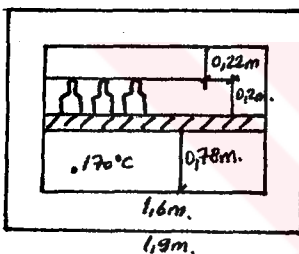
5. Bölge



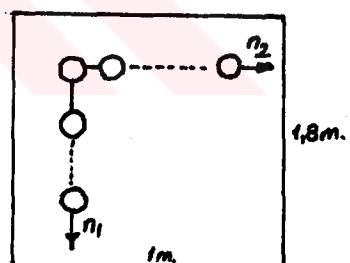
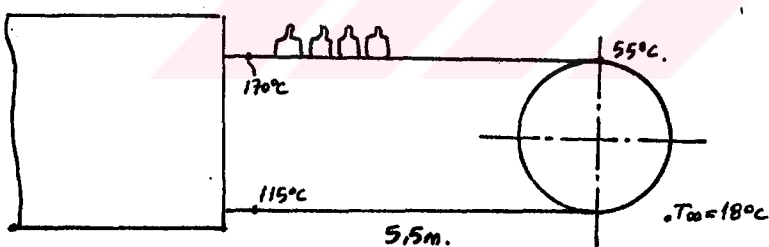
Ön Duvar Boyutları.



Malzeme Çıkışı



Şişeleri Taşıyan Bantın Boyutları.



1 m. banttaki şişe adetleri

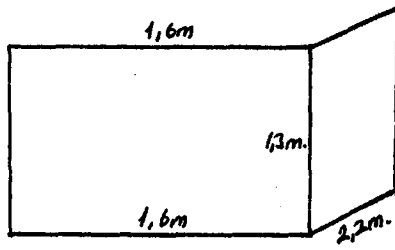
$$n_1 = \frac{1800 - (2.200)}{79 + 40} = 11.76 \approx 12 \text{ adet.}$$

$$n_2 = \frac{1000}{79 + 10} = 11.236 \approx 12 \text{ adet.}$$

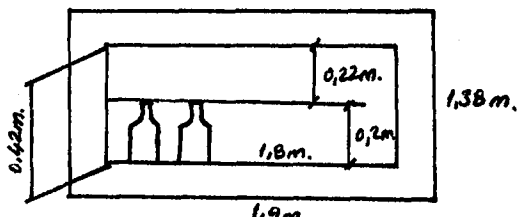
$$n_T = n_1 \times n_2 = 144 \text{ adet.}$$

$$n_T = 144 \times 32,72 = 4712 \text{ adet/h}$$

$$1 \text{ adet} = 574 \text{ gr.} = 0,574 \text{ kg.}$$

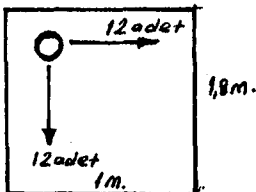


Malzeme Girişi



$$m = 0,574 \times 4712 = 2704,58 \text{ kg/h}$$

$$Q_{\text{pay.}} = m \cdot C_p \cdot (545 - 460)$$



Bant Hızı: 1 m'yi 110 saniyede alıyor.

$$9,09 \cdot 10^{-3} \text{ m. 1 saniyede,}$$

$$32,72 \text{ m. } 3600 \text{ saniye} = 1 \text{ saat.}$$

$$v_{\text{bant}} = 32,72 \text{ m/h} = 9,09 \cdot 10^{-3} \text{ m/s.}$$

İşı Kaybı Hesaplarında Takip Edilecek Yol.

Konveksiyonla (Tabii Konveksiyonla) Olan İşı Kaybı

$$Q = A \cdot \alpha_{\text{dis duv.}} \cdot (t_w - t) \text{ dir.}$$

A: Dış duvarın yüzey alanı. (m^2)

$\alpha_{\text{dis duv.}}$: Ortamın ısı geçirme katsayısı. ($\text{kcal/m}^2 \text{h}^\circ\text{C}$)

t_w : Dış duvarın sıcaklığı. ($^\circ\text{C}$)

t : Ortam sıcaklığı. ($^\circ\text{C}$)

$\alpha_{\text{dis duv.}}$ 'in hesaplanması:

$$t_f = \frac{t_w + t}{2} \dots \dots \dots (1) \text{ bulunur.}$$

t_f sıcaklığındaki havanın özellikleri belirlenir.

($T, \lambda, C_p, \gamma, \rho$, ve dolayısıyla P_r bulunur.). $B=1/T$ 'dir.
B değeri bulunur.

$$Gr = \frac{g \cdot B \cdot (t_w - t) \cdot L_k}{\gamma^2} \dots \dots \dots (2) \text{ den bulunur.}$$

Gr.Pr bulunur ve miktarına bakılır. Buna göre "c ve w" bulunur. $Nu = c \cdot (Gr \cdot Pr)^w \dots \dots \dots (3)$ ten bulunur.

$$Nu = \frac{\alpha_{\text{dis duv.}} \cdot L_k}{\lambda} \dots \dots \dots (4) \text{ ten } \alpha_{\text{dis duv.}} \text{ çekilir.}$$

$$Q_{dk} = A \cdot \alpha_{\text{dis duv.}} \cdot \Delta t \dots \dots \dots (5) \text{ ten belirlenir.}$$

Bundan sonraki aşama, radyasyonla olan ısı kaybını bulmaktır.

Radyasyonla Olan Isı Kaybının Bulunuşu

$$Q_R = \frac{E_{b1} - E_{b2}}{\frac{1 - \epsilon_1}{\epsilon_1 \cdot A_1} + \frac{1}{A_1 \cdot F_{12}} + \frac{1 - \epsilon_2}{\epsilon_2 \cdot A_2}} \quad \dots \dots \dots \quad (6) \text{ dan bulunur.}$$

Burada genelde A_2 çok büyük olduğundan, 3.direnç 0'a çok yakındır.

$Q_R = A \cdot \alpha_R \cdot \Delta T \dots \dots \dots \quad (7)$ den α_R çekilerek bulunur. Daha sonra $\alpha_T = \alpha_{Rad} + \alpha_{Dis}$ duv. $\dots \dots \dots \quad (8)$ den bulunur.

$$Q_D \text{ yan yüzey} = A \cdot \alpha_T \cdot \Delta T \dots \dots \dots \quad (9) \text{ dan bulunur.}$$

2 yan yüzey için hesap yapılıyorsa bu değerin 2 katı alınır. Bu hesaplar, bütün bölgelerde bütün yüzeylerde yapılır.....(R.8).

III.1. Duvar Kayipları

III.1.1. I.Bölgede Kaybolan Isı

1.a. İki Yan Duvardan Kaybolan Isı

1.a.1. Doğal Konveksiyonla Kaybolan Isı.

$$t_w = 50^\circ C, t = 18^\circ C \quad L_k = 1.4 \text{ m.}$$

(1) bağıntısından, $t_f = 34^\circ C$ bulunur.

34 C'deki hava için,

$$B = 3,257 \cdot 10^{-3}$$

$$C_p = 1,006 \text{ kj/kg}^\circ C$$

$$\gamma = 1,995 \cdot 10^{-5} \text{ kg/ms.}$$

$$\gamma = 16,39 \cdot 10^{-6} \text{ m}^2/\text{s.}$$

$$\lambda = 0,0267 \text{ W/m}^\circ C \times 0,86 = 0,02302 \text{ kcal/mh}^\circ C$$

$$Pr = 0,71 \dots \dots \dots \quad (R.6).$$

$$(2) bağıntısından, Gr = 1,044 \cdot 10^{10}$$

$$Gr \cdot Pr = 7415173086 > 10^8$$

$$c = 0,021 \text{ ve } m = 0,4 \text{ okunur. (R.6).}$$

(3) bağıntısından $Nu = 186,32$ ve,

(4) bağıntısından $\alpha_{dd} = 3,04 \text{ kcal/m}^2\text{h C}$

$Q_{dk} = 204,8 \text{ kcal/h}$, (5) bağıntısından.

1.a.2. Radyasyonla Olan Isı Kaybı.

$E_b = \sigma T^4$ olup, $\sigma = 5,67 \cdot 10^{-8} / 1,163 \text{ kcal/m}^2\text{hK}^4$ alınacaktır.

$r_{12} = 1$, $\xi = 0,93$ (tuğla yüzeyler için)...(R.6).

(6) bağıntısından, $Q_R = 353,59 \text{ kcal/h}$

(7) bağıntısından, $\alpha_R = 5,261 \text{ kcal/m}^2\text{hC}$,

(8) bağıntısından, $\alpha_T = 8,301 \text{ kcal/m}^2\text{hC}$ bulunur.

(9) bağıntısından, $Q_{yd} = 557,87 \text{ kcal/h}$,

İki yüzey için, $Q_{yd} = 1115,75 \text{ kcal/h}$ bulunur.

1.b. Üst Yatay Duvardan Kaybolan Isı

1.b.1. Doğal Konveksiyonla Kaybolan Isı.

$t_w = 85 \text{ C}$, $t = 18 \text{ C}$, $L_k = 1,5 \text{ m}$.

(1) bağıntısından, $t_f = 51,5 \text{ C}$ bulunur.

51,5 C'deki havanın özelliklerini.

$c_p = 1,0077 \text{ kj/kg C} = 0,2572 \text{ kcal/kg C}$

$\chi = 2,028 \cdot 10^{-5} \text{ kg/ms}$.

$\gamma = 18,169 \cdot 10^{-6} \text{ m}^2/\text{s}$.

$\lambda = 0,02809 \text{ W/mC} \times 0,86 = 0,0241 \text{ kcal/mhC}$

$Pr = 0,71$(R.6).

(2) bağıntısından, $G_r = 2,07036 \cdot 10^{10}$,

$G_r \cdot Pr = 1,4699556 \cdot 10^{10} > 10^8$

$c = 0,15$, $m = 0,333$(R.6).

(3) bağıntısından, $Nu = 364,589$ ve

(4) bağıntısından, $\alpha_{dd} = 5,857 \text{ kcal/m}^2\text{hC}$

$Q_{dk} = 1295,14 \text{ kcal/h}$. olacaktır.(5) bağıntısından.

1.b.2. Radyasyonla Olan Isı Kaybı.

(6) bağıntısından, $Q_R = 1384,78 \text{ kcal/h}$

(7) bağıntısından, $\alpha_R = 6,263 \text{ kcal/m}^2\text{hC}$,

(8) bağıntısından, $\alpha_T = 12,12 \text{ kcal/m}^2\text{hC}$ ve buradan,

(9) bağıntısından, $Q_T = 2679,76 \text{ kcal/h}$ bulunur.

1.c. Tabandan Kaybolan Isı

1.c.1. Doğal Konveksiyonla Kaybolan Isı.

$$t_w = 60^\circ\text{C}, t = 18^\circ\text{C}, A = 3,3 \text{ m}^2.$$

(1) bağıntısından, $t_f = 39^\circ\text{C}$ bulunur.

39°C deki havanın özelliklerı,

$$C_p = 1,0067 \text{ kj/kgC} = 0,2405 \text{ kcal/kgC}$$

$$\gamma = 2,005 \cdot 10^{-5} \text{ kg/ms.}$$

$$\rangle = 16,899 \cdot 10^{-6} \text{ m}^2/\text{s.}$$

$$C_f = 0,02715 \text{ W/mC} \times 0,86 = 0,02334 \text{ kcal/mhC}$$

$$Pr = 0,72 \dots \dots \dots \text{(R.6).}$$

(2) bağıntısından, $Gr = 1,560623 \cdot 10^{10}$

$$Gr \cdot Pr = 1,1236488 \cdot 10^{10} > 10^8$$

$$c=0,15, m= 0,333 \dots \dots \text{(R.6).}$$

(3) bağıntısından, $Nu=333,389$ ve

$$(4) bağıntısından, $\alpha_{dd} = 5,187 \text{ kcal/m}^2\text{hC}$$$

(5) bağıntısından, $Q_{dk} = 719 \text{ kcal/h.}$ bulunur.

1.c.2. Radyasyonla Kaybolan Isı.

$$F_{12} = 0,85.$$

(6) bağıntısından, $Q_R = 658,77 \text{ kcal/h}$

(7) bağıntısından, $\alpha_R = 4,753 \text{ kcal/m}^2\text{hC}$

(8) bağıntısından, $\alpha_T = 9,94 \text{ kcal/m}^2\text{hC}$

(9) bağıntısından, $Q_T = 1377,695 \text{ kcal/h}$ bulunur.

III.1.2. II.Bölgede Kaybolan Isı

2.a. İki yan Duvardan Kaybolan Isı

2.a.1. Doğal Konveksiyonla Kaybolan Isı.

$$t_w = 45^\circ\text{C}, t = 18^\circ\text{C}, L_k = 1,4 \text{ m. ve } A = 2,1 \text{ m}^2.$$

(1) bağıntısından, $t_f = 31,5^\circ\text{C}$ bulunur.

$31,5^\circ\text{C}$ deki havanın özelliklerı.

$$B = 3,284 \cdot 10^{-3}$$

$$C_p = 1,006 \text{ kj/kgC} = 0,2403 \text{ kcal/kgC}$$

$$\gamma = 1,991 \cdot 10^{-5} \text{ kg/ms.}$$

$$\gamma = 16,137 \cdot 10^{-6} \text{ m}^2/\text{s},$$

$$\lambda = 0,02658 \text{ W/mC} \times 0,86 = 0,02286 \text{ kcal/mhC}$$

$$Pr = 0,72 \dots \dots \dots \text{(R.6).}$$

(2) bağıntısından, $Gr = 9165885527$

$$Gr \cdot Pr = 6599437579 \cdot 10^8$$

$$c = 0,021, m = 0,4 \dots \dots \dots \text{(R.6).}$$

(3) bağıntısından, $Nu = 177,836$ ve

$$(4) bağıntısından, $\alpha_{dd} = 2,9 \text{ kcal/m}^2\text{hC}$$$

$$(5) bağıntısından, $Q_{dk} = 164,43 \text{ kcal/h.}$$$

2.a.2. Radyasyonla Kaybolan Isı.

$$\varepsilon = 0,93 \text{ ve } F_{12} = 1.$$

(6) bağıntısından, $Q_R = 291 \text{ kcal/h}$

$$(7) bağıntısından, $\alpha_R = 5,132 \text{ kcal/m}^2\text{hC}$$$

$$(8) bağıntısından, $\alpha_T = 8,032 \text{ kcal/m}^2\text{hC}$$$

(9) bağıntısından, $Q_{yd} = 455,43 \text{ kcal/h}$ ve iki yüzey için,

$$Q_{yd} = 910,86 \text{ kcal/h.}$$

2.b. Tavandan Kaybolan Isı

2.b.1. Doğal Konveksiyonla Kaybolan Isı.

$$t_w = 70^\circ\text{C}, t = 18^\circ\text{C}, L_k = 1,5 \text{ m. ve } A = 3,3 \text{ m}^2.$$

(1) bağıntısından, $t_f = 44^\circ\text{C}$ ve $B = 3,154 \cdot 10^{-3}$

44 C'deki havanın özellikleri,

$$C_p = 1,0067 \text{ kj/kgC} = 0,2405 \text{ kcal/kgC}$$

$$\tau = 2,0142 \cdot 10^{-5} \text{ kg/ms}$$

$$\gamma = 17,407 \cdot 10^{-6} \text{ m}^2/\text{s}$$

$$\lambda = 0,02752 \text{ W/mC} \times 0,86 = 0,02367 \text{ kcal/mhC}$$

$$Pr = 0,71 \dots \dots \dots \text{(R.6).}$$

(2) bağıntısından, $Gr = 1,792090586 \cdot 10^{10}$

$$Gr \cdot Pr = 1,272384316 \cdot 10^{10} \cdot 10^8$$

$$c = 0,15, m = 0,333 \dots \dots \dots \text{(R.6).}$$

(3) bağıntısından, $Nu = 347,48$ ve

$$(4) bağıntısından, $\alpha_{dd} = 5,48 \text{ kcal/m}^2\text{hC}$$$

$$(5) bağıntısından, $Q_{dk} = 940,92 \text{ kcal/h.}$$$

$\epsilon = 0,93$ ve $F_{12} = 1$.

2.b.2. Radyasyonla Kaybolan Isı.

(6) bağıntısından, $Q_R = 998,4 \text{ kcal/h}$

(7) bağıntısından, $\alpha_R = 5,818 \text{ kcal/m}^2\text{hC}$

(8) bağıntısından, $\alpha_T = 11,298 \text{ kcal/m}^2\text{hC}$

(9) bağıntısından, $Q_T = 1938,77 \text{ kcal/h}$.

2.c. Tabandan Kaybolan Isı

2.c.1. Doğal Konveksiyonla Kaybolan Isı.

$t_w = 55^\circ\text{C}$, $t = 23^\circ\text{C}$,

(1) bağıntısından, $t_f = 39^\circ\text{C}$ ve $B = 3,2051 \cdot 10^{-3}$

39°C deki havanın özelliklerini,

$C_p = 1,0067 \text{ kJ/kgC} = 0,2405 \text{ kcal/kgC}$

$\gamma = 2,005 \cdot 10^{-5} \text{ kg/ms}$.

$\dot{\gamma} = 16,889 \cdot 10^{-6} \text{ m}^2/\text{s}$.

$\lambda = 0,02715 \text{ W/mC} \times 0,86 = 0,02334 \text{ kcal/m}^2\text{hC}$

$Pr = 0,72 \dots \dots \dots \text{(R.6)}$.

(2) bağıntısından, $Gr = 1,189083452 \cdot 10^{10}$

$Gr \cdot Pr = 8561400852 > 10^8$

$c = 0,15$ ve $m = 0,333 \dots \dots \text{(R.6)}$.

(3) bağıntısından, $Nu = 304,53$ ve

(4) bağıntısından, $\alpha_{dd} = 4,738 \text{ kcal/m}^2\text{hC}$

(5) bağıntısından, $Q_{dk} = 500,384 \text{ kcal/h}$.

2.c.2. Radyasyonla Kaybolan Isı.

$\epsilon = 0,93$ ve $F_{12} = 0,85$

(6) bağıntısından, $Q_R = 501,14 \text{ kcal/h}$

(7) bağıntısından, $\alpha_R = 4,745 \text{ kcal/m}^2\text{hC}$

(8) bağıntısından, $\alpha_T = 9,483 \text{ kcal/m}^2\text{hC}$

(9) bağıntısından, $Q_T = 1001,473 \text{ kcal/h}$.

III.1.3. III. Bölgede Kaybolan Isı

3.a. İki Yan Duvardan Kaybolan Isı

3.a.1. Doğal Konveksiyonla Kaybolan Isı.

$t_w = 35^\circ\text{C}$, $t = 18^\circ\text{C}$, $L_K = 1,4 \text{ m}$. ve $A = 2,1 \text{ m}^2$.

(1) bağıntısından, $t_f = 26,5^\circ\text{C}$ ve $B = 3,338 \cdot 10^{-3}$

26,5°C'deki havanın özellikleri,

$$C_p = 1,005 \text{ kJ/kgC} = 0,24 \text{ kcal/kgC}$$

$$\gamma = 1,978 \cdot 10^{-5} \text{ kg/ms.}$$

$$\gamma = 15,618 \cdot 10^{-6} \text{ m}^2/\text{s.}$$

$$\lambda = 0,02253 \text{ kcal/mhC}$$

$$Pr = 0,71 \dots \dots \dots \text{(R.6).}$$

(2) bağıntısından, $Gr = 6262352807$

$$Gr \cdot Pr = 4446270493 > 10^8$$

$$c=0,021 \text{ ve } m=0,4 \dots \dots \dots \text{(R.6).}$$

(3) bağıntısından, $Nu = 151,85$ ve

$$(4) bağıntısından, $\alpha_{dd} = 2,442 \text{ kcal/m}^2\text{hC}$$$

$$(5) bağıntısından, $Q_{dk} = 82,24 \text{ kcal/h.}$$$

3.a.2. Radyasyonla Kaybolan Isı.

$$\varepsilon = 0,93 \text{ ve } F_{12} = 1.$$

$$(6) bağıntısından, $Q_R = 174,143 \text{ kcal/h}$$$

$$(7) bağıntısından, $\alpha_R = 4,878 \text{ kcal/m}^2\text{hC}$$$

$$(8) bağıntısından, $\alpha_T = 7,32 \text{ kcal/m}^2\text{hC}$$$

$$(9) bağıntısından, $Q_{yd} = 261,358 \text{ kcal/h. İki yüzey için,}$$$

$$Q_{yd} = 522,7 \text{ kcal/h.}$$

3.b. Tavandan Kaybolan Isı

3.b.1. Doğal Konveksiyonla Kaybolan Isı.

$$t_w = 65^\circ\text{C}, t = 18^\circ\text{C}, L_k = 1,5 \text{ m. ve } A = 3,3 \text{ m}^2.$$

$$(1) bağıntısından, $t_f = 41,5^\circ\text{C}$ ve $B = 3,18 \cdot 10^{-3}$$$

41,5°C'deki havanın özellikleri,

$$C_p = 0,2404 \text{ kcal/kgC}$$

$$\gamma = 2,0096 \cdot 10^{-5} \text{ kg/ms.}$$

$$\gamma = 17,153 \cdot 10^{-6} \text{ m}^2/\text{s.}$$

$$\lambda = 0,02351 \text{ kcal/mhC}$$

$$Pr = 0,71 \dots \dots \dots \text{(R.6).}$$

$$(2) bağıntısından, $Gr = 1,681851269 \cdot 10^{10}$$$

$$Gr \cdot Pr = 1,194114401 \cdot 10^{10} > 10^8$$

$$c=0,15 \text{ ve } m=0,333 \dots \dots \dots \text{(R.6).}$$

$$(3) bağıntısından, $Nu = 340,21$ ve$$

$$(4) bağıntısından, $\alpha_{dd} = 5,33 \text{ kcal/m}^2\text{hC}$$$

(5) bağıntısından, $Q_{dk}=827,029 \text{ kcal/h}$

3.b.2. Radyasyonla Kaybolan ısı.

$\epsilon=0,93$ ve $F_{12}=1$.

(6) bağıntısından, $Q_R=880,22 \text{ kcal/h}$

(7) bağıntısından, $\alpha_R=5,675 \text{ kcal/m}^2\text{hC}$

(8) bağıntısından, $\alpha_T=11,005 \text{ kcal/m}^2\text{hC}$

(9) bağıntısından, $Q_T=1706,9 \text{ kcal/h}$.

3.c. Tabandan Kaybolan Isı

3.c.1. Doğal Konveksiyonla Kaybolan Isı.

$t_w = 50^\circ\text{C}$, $t=23^\circ\text{C}$, $L_k = 1,5 \text{ m.}$ ve $A=3,3 \text{ m}^2$.

(1) bağıntısından, $t_p = 36,5^\circ\text{C}$ ve $B=3,23 \cdot 10^{-3}$

$36,5^\circ\text{C}$ deki havanın özelliklerini,

$C_p = 0,2404 \text{ kcal/kgC}$

$\gamma = 2,00048 \cdot 10^{-5} \text{ kg/ms.}$

$\beta = 16,645 \cdot 10^{-6} \text{ m}^2/\text{s.}$

$\lambda = 0,02318 \text{ kcal/mhC}$ $Pr=0,71 \dots \dots \dots \text{(R.6)}$.

(2) bağıntısından, $Gr = 1,04217697 \cdot 10^{10}$

$Gr \cdot Pr = 7399456489 > 10^8$

$c=0,15$ ve $m=0,333 \dots \dots \text{(R.6)}$.

(3) bağıntısından, $Nu=290,09$ ve

(4) bağıntısından, $\alpha_{dd}=4,482 \text{ kcal/m}^2\text{hC}$

(5) bağıntısından, $Q_{dk}=399,42 \text{ kcal/h}$.

3.c.2. Radyasyonla Kaybolan Isı

$\epsilon=0,93$ ve $F_{12}=0,85$.

(6) bağıntısından, $Q_R=412,45 \text{ kcal/h}$

(7) bağıntısından, $\alpha_R=4,629 \text{ kcal/m}^2\text{hC}$

(8) bağıntısından, $\alpha_T=9,11 \text{ kcal/m}^2\text{hC}$

(9) bağıntısından, $Q_T=811,8 \text{ kcal/h}$.

III.1.4. 4.Bölgede Kaybolan Isı

4.a. İki Yan Duvardan Kaybolan Isı

4.a.1. Doğal Konveksiyonla Kaybolan Isı.

$t_w = 30^\circ\text{C}$, $t=18^\circ\text{C}$, $L_k=1,3 \text{ m.}$ ve $A=2,08 \text{ m}^2$.

(1) bağıntısından, $t_p = 24^\circ\text{C}$ ve $B=3,367 \cdot 10^{-3}$

24°C deki havanın özelliklerini,

$C_p = 0,2402 \text{ kcal/kgC}$

$$\gamma = 1,953 \cdot 10^{-5} \text{ kg/ms.}$$

$$\gamma = 15,308 \cdot 10^{-6} \text{ m}^2/\text{s.}$$

$$\lambda = 0,02236 \text{ kcal/mhC}$$

$$Pr=0,71 \dots \dots \dots \text{(R.6).}$$

$$(2) \text{ bağıntısından, } Gr = 3716092533$$

$$Gr \cdot Pr = 2638425698 > 10^8$$

$$c=0,021 \text{ ve } m=0,4 \dots \dots \dots \text{(R.6).}$$

$$(3) \text{ bağıntısından, } Nu=123,24 \text{ ve}$$

$$(4) \text{ bağıntısından, } \alpha_{dd}=2,12 \text{ kcal/m}^2\text{hC}$$

$$(5) \text{ bağıntısından, } Q_{dk}=52,9 \text{ kcal/h.}$$

4.a.2. Radyasyonla Kaybolan Isı.

$$\epsilon=0,93 \text{ ve } F_{12}=1.$$

$$(6) \text{ bağıntısından, } Q_R=118,67 \text{ kcal/h.}$$

$$(7) \text{ bağıntısından, } \alpha_R=4,754 \text{ kcal/m}^2\text{hC}$$

$$(8) \text{ bağıntısından, } \alpha_T=6,874 \text{ kcal/m}^2\text{hC}$$

$$(9) \text{ bağıntısından, } Q_{yd}=171,59 \text{ kcal/h ve iki yüzeydin kaybolan ısı } Q_{yd}=343,18 \text{ kcal/h.}$$

4.b.Tavandan Kaybolan Isı.

4.b.1. Doğal Konveksiyonla Kaybolan Isı.

$$t_w = 55^\circ\text{C}, t=18^\circ\text{C}, L_k=1,6 \text{ m. ve } A=3,52 \text{ m}^2.$$

$$(1) \text{ bağıntısından, } t_f=36,5^\circ\text{C ve } B=3,23 \cdot 10^{-3}$$

$36,5^\circ\text{C}$ deki havanın özellikleri,

$$C_p = 0,2404 \text{ kcal/kgC}$$

$$\gamma = 2,00048 \cdot 10^{-5} \text{ kg/ms.}$$

$$\gamma = 16,645 \cdot 10^{-6} \text{ m}^2/\text{s.}$$

$$\lambda = 0,02318 \text{ kcal/mhC}$$

$$Pr=0,71 \dots \dots \dots \text{(R.6).}$$

$$(2) \text{ bağıntısından, } Gr = 1,733267536 \cdot 10^{10}$$

$$Gr \cdot Pr = 1,23061995 \cdot 10^{10} > 10^8$$

$$c=0,15 \text{ ve } m=0,333 \dots \dots \dots \text{(R.6).}$$

$$(3) \text{ bağıntısından, } Nu=343,64 \text{ ve}$$

$$(4) \text{ bağıntısından, } \alpha_{dd}=4,978 \text{ kcal/m}^2\text{hC}$$

$$(5) \text{ bağıntısından, } Q_{dk}=598,66 \text{ kcal/h}$$

4.b.2. Radyasyonla Kaybolan Isı.

$$\epsilon=0,9 \text{ ve } F_{12}=1.$$

- (6) bağıntısından, $Q_R = 652,585 \text{ kcal/h.}$
(7) bağıntısından, $\alpha_R = 5,427 \text{ kcal/m}^2\text{hC}$
(8) bağıntısından, $\alpha_T = 10,405 \text{ kcal/m}^2\text{hC}$
(9) bağıntısından, $Q_T = 1251,19 \text{ kcal/h.}$

4.c. Tabandan Kaybolan Isı.

4.c.1. Doğal Konveksiyonla Kaybolan Isı.

$t_w = 45^\circ\text{C}$, $t = 23^\circ\text{C}$, $L_k = 1,6 \text{ m.}$ ve $A = 3,25 \text{ m}^2$.
(1) bağıntısından, $t_f = 34^\circ\text{C}$ ve $B = 3,257 \cdot 10^{-3}$

34°C deki havanın özelliklerini,

$$C_p = 0,2403 \text{ kcal/kgC}$$

$$\gamma = 1,995 \cdot 10^{-5} \text{ kg/ms.}$$

$$\gamma = 16,391 \cdot 10^{-6} \text{ m}^2/\text{s.}$$

$$\lambda = 0,02302 \text{ kcal/mhC}$$

$$Pr = 0,71 \dots \dots \dots \text{(R.6).}$$

$$(2) \text{ bağıntısından, } Gr = 1,071663625 \cdot 10^{10}$$
$$Gr \cdot Pr = 7608811811 \cdot 10^8$$

$$c = 0,15 \text{ ve } m = 0,333 \dots \dots \text{(R.6).}$$

$$(3) \text{ bağıntısından, } Nu = 292,8 \text{ ve}$$

$$(4) \text{ bağıntısından, } \alpha_{dd} = 4,21 \text{ kcal/m}^2\text{hC}$$

$$(5) \text{ bağıntısından, } Q_{dk} = 326,22 \text{ kcal/h.}$$

4.c.2. Radyasyonla Kaybolan Isı.

$$\varepsilon = 0,93 \text{ ve } F_{12} = 0,85.$$

$$(6) \text{ bağıntısından, } Q_R = 349,65 \text{ kcal/h}$$

$$(7) \text{ bağıntısından, } \alpha_R = 4,51 \text{ kcal/m}^2\text{hC}$$

$$(8) \text{ bağıntısından, } \alpha_T = 8,72 \text{ kcal/m}^2\text{hC}$$

$$(9) \text{ bağıntısından, } Q_T = 675,67 \text{ kcal/h.}$$

III.1.5. 5.Bölgede Kaybolan Isı.

5.a. İki Yan Duvardan Kaybolan Isı

5.a.1. Doğal Konveksiyonla Kaybolan Isı.

$t_w = 25^\circ\text{C}$, $t = 18^\circ\text{C}$, $L_k = 1,3 \text{ m.}$ ve $A = 2,08 \text{ m}^2$.

(1) bağıntısından, $t_f = 21,5^\circ\text{C}$ ve $B = 3,395 \cdot 10^{-3}$

$21,5^\circ\text{C}$ deki havanın özelliklerini,

$$C_p = 0,2401 \text{ kcal/kgC}$$

$$\gamma = 1,928 \cdot 10^{-5} \text{ kg/ms.}$$

$$\gamma = 15 \cdot 10^{-6} \text{ m}^2/\text{s.}$$

$Pr=0,71 \dots \dots \dots$ (R.6).

(2) bağıntısından, $Gr= 2276430338$

$Gr \cdot Pr = 1616265540 > 10^8$

$c=0,021$ ve $m=0,4 \dots \dots \dots$ (R.6).

(3) bağıntısından, $Nu= 101,3$ ve

(4) bağıntısından, $\alpha_{dd}=1,73 \text{ kcal/m}^2\text{hC}$

(5) bağıntısından, $Q_{dk}=25,18 \text{ kcal/h.}$

5.a.2. Radyasyonla Kaybolan Isı.

$\varepsilon=0,93$ ve $F_{12}=1.$

(6) bağıntısından, $Q_R=67,47 \text{ kcal/h}$

(7) bağıntısından, $\alpha_R=4,634 \text{ kcal/m}^2\text{hC}$

(8) bağıntısından, $\alpha_T=6,364 \text{ kcal/m}^2\text{hC}$

(9) bağıntısından, $Q_{yd}=92,66 \text{ kcal/h. İki yan yüzey için,}$
 $Q_{yd}=185,32 \text{ kcal/h.}$

5.b. Tavandan Kaybolan Isı.

5.b.1. Doğal Konveksiyonla Kaybolan Isı.

$t_w=45^\circ\text{C}$, $t=18^\circ\text{C}$, $L_k=1,6 \text{ m. ve } A=3,52 \text{ m}^2.$

(1) bağıntısından, $t_f=31,5^\circ\text{C}$ ve $B=3,28 \cdot 10^{-3}$

$31,5^\circ\text{C}$ deki havanın özelliklerini,

$C_p= 0,2403 \text{ kcal/kgC}$

$\gamma= 1,991 \cdot 10^{-5} \text{ kg/ms.}$

$\gamma= 16,137 \cdot 10^{-6} \text{ m}^2/\text{s.}$

$\lambda= 0,02286 \text{ kcal/mhC}$

$Pr=0,72 \dots \dots \dots$ (R.6).

(2) bağıntısından, $Gr= 7329782270$

$Gr \cdot Pr = 5277443234 > 10^8$

$c=0,15$ ve $m=0,333 \dots \dots \dots$ (R.6).

(3) bağıntısından, $Nu=259,21$ ve

(4) bağıntısından, $\alpha_{dd}=3,7 \text{ kcal/m}^2\text{hC}$

(5) bağıntısından, $Q_{dk}=352 \text{ kcal/h.}$

5.b.2. Radyasyonla Transfer Olam Isı.

$\varepsilon=0,93$ ve $F_{12}=1.$

(6) bağıntısından, $Q_R=487,76 \text{ kcal/h}$

(7) bağıntısından, $\alpha_R=5,13 \text{ kcal/m}^2\text{hC}$

(8) bağıntısından, $\alpha_T=8,83 \text{ kcal/m}^2\text{hC}$

(9) bağıntısından, $Q_T = 839,41 \text{ kcal/h.}$

5.c. Tabandan Kaybolan Isı.

5.c.1. Doğal Konveksiyonla Kaybolan Isı.

$t_w = 35^\circ\text{C}$, $t = 23^\circ\text{C}$, $L_k = 1,6 \text{ m.}$ ve $A = 3,52 \text{ m}^2$.

(1) bağıntısından, $t_f = 29^\circ\text{C}$ ve $B = 3,31 \cdot 10^{-3}$

29°C deki havanın özelliklerini,

$$c_p = 0,2402 \text{ kcal/kgC}$$

$$\gamma = 1,986 \cdot 10^{-5} \text{ kg/ms.}$$

$$\gamma = 15,88 \cdot 10^{-6} \text{ m}^2/\text{s.}$$

$$\lambda = 0,02269 \text{ kcal/mhC}$$

$$Pr = 0,71 \dots \dots \dots \text{(R.6).}$$

(2) bağıntısından, $Gr = 6329030652$

$$Gr \cdot Pr = 4556902069 > 10^8$$

$$c = 0,15 \text{ ve } m = 0,333 \dots \dots \dots \text{(R.6).}$$

(3) bağıntısından, $Nu = 246,84$ ve

(4) bağıntısından, $\alpha_{dd} = 3,5 \text{ kcal/m}^2\text{hC}$

(5) bağıntısından, $Q_{dk} = 147,86 \text{ kcal/h.}$

5.c.2. Radyasyonla Kaybolan Isı.

$$\xi = 0,93 \text{ ve } F_{12} = 0,85.$$

(6) bağıntısından, $Q_R = 181,38 \text{ kcal/h.}$

(7) bağıntısından, $\alpha_R = 4,29 \text{ kcal/m}^2\text{hC}$

(8) bağıntısından, $\alpha_T = 7,79 \text{ kcal/m}^2\text{hC}$

(9) bağıntısından, $Q_T = 329,22 \text{ kcal/h.}$

III.1.6. Ön Duvardan Kaybolan Isı.

$$A = 1,38 \cdot 1,9 - 0,42 \cdot 1,8 = 1,866 \text{ m}^2.$$

6.a. Doğal Konveksiyonla Kaybolan Isı.

$t_w = 300^\circ\text{C}$, $t = 30^\circ\text{C}$, $L_k = 1,38 \text{ m.}$ ve $A = 1,866 \text{ m}^2$.

(1) bağıntısından, $t_f = 165^\circ\text{C}$ ve $B = 2,283 \cdot 10^{-3}$

165°C deki havanın özelliklerini,

$$c_p = 0,2434 \text{ kcal/kgC}$$

$$\gamma = 2,436 \cdot 10^{-5} \text{ kg/ms.}$$

$$\gamma = 28,15 \cdot 10^{-6} \text{ m}^2/\text{s.}$$

$$\lambda = 0,03117 \text{ kcal/mhC}$$

$P_r = 0,685 \dots \dots \dots \text{(R.6)}$.

(2) bağıntısından, $G_r = 2,005483734 \cdot 10^{10}$
 $G_r \cdot P_r = 1,363728939 \cdot 10^{10}$

$c = 0,1$ ve $m = 0,333 \dots \dots \dots \text{(R.6)}$.

(3) bağıntısından, $Nu = 237,06$ ve

(4) bağıntısından, $\alpha_{dd} = 5,35 \text{ kcal/m}^2 \text{ hC}$

(5) bağıntısından, $Q_{dk} = 2697,72 \text{ kcal/h.}$

6.b. Radyasyonla Kaybolan Isı.

$\epsilon = 0,93$ ve $F_{12} = 1.$

(6) bağıntısından, $Q_R = 8410,27 \text{ kcal/h}$

(7) bağıntısından, $\chi_R = 16,69 \text{ kcal/m}^2 \text{ hC}$

(8) bağıntısından, $\alpha_T = 22,04 \text{ kcal/m}^2 \text{ hC}$

(9) bağıntısından, $Q_T = 11104,19 \text{ kcal/h.}$

Toplam Duvar Kayıpları = 26793,888 kcal/h.

III.1.7. Malzeme Girişinden Kaybolan Isı.

$$A = 1,8 \cdot 0,22 + 11 \cdot 0,04 + 2 \cdot 0,2 \\ = 1,236 \text{ m}^2.$$

$t = 20 \text{ C.}$

$$Q = A \cdot C_s \cdot \left(\left(\frac{T_w}{100} \right)^4 - \left(\frac{T}{100} \right)^4 \right) \quad C = 4,87 \text{ kcal/m}^2 \text{ hK}^4$$

$$T_w = t_w + 273 \text{ K} \text{ ve } T = t + 273 \text{ K} \quad t_w = 470 \text{ C.}$$

$$Q = 17900,738 \text{ kcal/h.}$$

III.1.8. Malzeme Çıkışından Kaybolan Isı.

$$A = (1,6 \cdot 0,22) + (1,6 \cdot 0,78) = 1,6 \text{ m}^2.$$

$$t = 20 \text{ C} \text{ ve } t_w = 170 \text{ C}$$

$$\text{Yukarıdaki bağıntıdan, } Q = 2426,71 \text{ kcal/h.}$$

$$Q = Q_g + Q_c = 20327,448 \text{ kcal/h.}$$

Bilinmeyen bir yolla % 10 kayıp olduğu kabul edilirse,

$$\text{Toplam ısı} = Q \cdot 1,1 = 22360,2 \text{ kcal/h.}$$

III.2. Siseleri Taşıyan Bantın Çıkardığı Isı.

Bant boyutları girişte verildi.

$$Re_x = \frac{v \cdot x}{\nu} \quad \text{ve} \quad x = \frac{Re \cdot \nu}{v}$$

$$t_f = \frac{t_{bant} + t}{2} = \frac{115 + 18}{2} = 66,5 \text{ C}$$

66,5°C'deki havanın özellikleri,

$$\rho = 2,055 \cdot 10^{-5} \text{ kg/ms.}$$

$$\nu = 19,69 \cdot 10^{-6} \text{ m}^2/\text{s.}$$

$$\lambda = 0,02514 \text{ kcal/mhC}$$

$$Pr = 0,70 \dots \dots \dots \text{(R.6).}$$

Laminar bölgede $Re_{lam} = 5 \cdot 10^5$ olacaktır.

$$x = \frac{5 \cdot 10^5 \cdot 19,69 \cdot 10^{-6}}{1,8} = 5,47 \text{ m} \approx 5,5 \text{ m.}$$

Bant üzerindeki akım tamamen laminar akımdır.

$$Re_{5,5} = \frac{1,8 \cdot 5,5}{19,69 \cdot 10^{-6}} = 5,028 \cdot 10^5$$

$Nu = 0,664 \cdot Re^{0,5} \cdot Pr^{1/3}$ ise yerine yazılırsa, $Nu = 418,05$
(4) bağıntısından, $\alpha = 1,91 \text{ kcal/m}^2\text{hC.}$

III.2.1. Radyasyonla Kaybolan Isı.

$$\epsilon = 0,3 \text{ oksitli yüzey için....(R.6). } F_{12} = 1.$$

(6) bağıntısından, $Q_R = 2244,07 \text{ kcal/h,}$

(7) bağıntısından, $R = 2,336 \text{ kcal/m}^2\text{hC}$

(8) bağıntısından, $T = 4,246 \text{ kcal/m}^2\text{hC}$

(9) bağıntısından, bant alanı (1,8.5,5) için, $Q_{kayıp}$ bulunur. Bu değer, $Q = 4078,245 \text{ kcal/h}$ 'tir.

III.2.2. Bandın Dönerken Alacağı Isı.

Ortalama dönüş sıcaklığı,

$$t_f = \frac{115 + 55}{2} = 85^\circ\text{C} \quad A = (5,5 \cdot 1,8) = 9,9 \text{ m}^2. \\ F_{12} = 0,85$$

$$t_w = 115^\circ\text{C}, \quad t = t_f = 85^\circ\text{C.} \quad \epsilon = 0,3$$

$$(6) \text{ bağıntısından, } Q_R = 858,048 \text{ kcal/h.}$$

$$Q_{\text{alınan}} = 858,048 \text{ kcal/h.}$$

$$Q_{\text{Bant net}} = 4078,245 - 858,048 = 3220,2 \text{ kcal/h.}$$

III.3. Siselerin Tavlanma Isısı

$$t_1 = 545^\circ\text{C}, t_2 = 460^\circ\text{C}, C_p = 735 \text{ J/kgC} = 0,175 \text{ kcal/kgC.}$$

$$Q_{\text{tavlama}} = m_{\text{cam}} \cdot C_{\text{pcam}} \cdot (t_1 - t_2)$$

1m x 1,8m bant boyutlarında 12x12 adet şişe bulunduğu başlangıçta verilmişti. Yine başlangıçta $m_{\text{cam}} = 2704,58 \text{ kg/h}$ bulunmuştur. Bu değerlere göre,

$$Q_{\text{tavlama}} = 2704,58 \cdot 0,175 \cdot (545 - 460) = 40232,115 \text{ kcal/h.}$$

III.4. Toplam Isı Miktarı.

$Q = \text{Duvar k.+ Malzeme (giriş-çıkış) kayipları + tavlama isısı + bantın net isısı + baca kaybı.}$

$$Q = 26793,888 + 17900,738 + 22360,2 + 3220,2 + 40232,115 \\ + Q_{\text{Baca}}$$

$$Q = 110507,141 + Q_{\text{Baca}}$$

$$\text{Fırının ısıl verimi: } \eta_1 = \frac{Q_{\text{duv}} + Q_{\text{MGC}} + Q_{\text{Bant-Net}}}{110507,141 - Q_{\text{Baca}}}$$

$$\eta_1 = 0,90 \text{ mertebesindedir.}$$

$$\text{Fırın kalite mertebesi } 0,25 \text{ mertebesindedir.}$$

$$\eta_{\text{toplam}} = \eta_1 \cdot \eta_2 = 0,225 \text{ yani \% 22,5 civarındadır.}$$

III.5. Yanma Havası Miktarı.

Fuel-oil No 5 için, hesaplamalar yapılırsa,

Fuel-oil No 5'in analizi:

$$\text{Karbon (C)} = \% 85,55 = 85,55/100$$

$$\text{Kükürt (S)} = \% 1,05 = 1,05/100$$

$$\text{Oksijen(O)} = \% 0,7 = 0,7/100$$

$$\text{Hidrojen (H)} = \% 11,7 = 11,7/100$$

$$\text{Su (W)} = \% 1 = 1/100$$

Yakıtın Üst ısıl Değer Bağıntısı:

$$H_u = 32796.c + 141886(H-0/8) + 9300.S \text{ kj/kg....(R.6).}$$

$$H_u = 44543,25 \text{ kj/kg.}$$

Yakıtın Alt Isıl Değer Bağıntısı:

$$H_a = H_u - 2440 (W+9H) = 41949,52 \text{ kJ/kg.}$$

1 kg. Yakıtın Yanması İçin Gerekli Teorik Özgül Hava Miktarı:

$$V_{tö} = 8,89.C + 26,7.(H - 0/8) + 3,34.S = 10,71 \text{ m}^3/\text{kg.}$$

Gerçek Özgül Hava Miktarı:

$$V_G = \lambda \cdot V_{tö} \quad \lambda = 1,1 \text{ hava fazlalık katsayısı....(R.6).}$$

$$V_G = 1,1 \cdot 10,71 = 11,781 \text{ m}^3/\text{kg.}$$

1 kg. Yakıtın Yanması İle Oluşan Teorik Özgül Duman Gazı Miktarı:

$$V_{td} = 8,89.C + 21,1.(H - 0/8) + 3,34.S + 0,8.N + 1,244(W+9H) \dots\dots\dots(R.6).$$

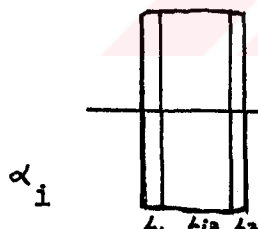
$$V_{td} = 11,378 \text{ m}^3/\text{kg.}$$

Gerçek Özgül Duman Gazı Miktarı:

$$V_{gd} = V_{td} + (\lambda - 1) \cdot V_{tö} \dots\dots\dots(R.6).$$

$$V_{gd} = 12,45 \text{ m}^3/\text{kg.}$$

III.6. Ekonomik İzole Kalınlığının Bulunması.



$$Q_k = K \cdot A \cdot \Delta T \text{ ise, } K = \frac{Q_k}{A \cdot \Delta T} \text{ olacaktır.}$$

$$E = \frac{K^2 \cdot \Delta T \cdot H \cdot F}{H_u \cdot \gamma \cdot K \cdot Y^n \cdot BHM \cdot \lambda_{iz}} \cdot \left(\frac{K \cdot Y^n - 1}{K \cdot Y - 1} \right) \text{ ve } L_{iz} = (\sqrt{E} - 1) \cdot \frac{\lambda_{iz}}{K}$$

L_{iz} = İzole kalınlığı (m).

K = Toplam ısı transfer katsayısı

H = Yıllık çalışma süresi (hour).

F = Yakıt birim fiyatı (TL/kg)

H_u = Yakıtın ısıl değeri.

BHM = İzole birim hacim maliyeti. (TL/m^3)

n = Kullanılacağı yıl sayısı.

KY = 1 + Kârlılık yüzdesi.....(R.9).

III.7. Tavlama Fırınlarında İmalat Soğutma Eğrisine Bağlı
Olarak Gaz Sıcaklık Eğrisinin Çıkarılması.

A	B	C	D	E
Isıtma hızı (C/dak)	Süre (dak)	Sıcaklık (C)	Soğ.Hızı C/dak.	Soğ.H. (C/dak)
Cidar K.				
3,2	50	5	8	50
4,0	30	7,5	5,3	30
5,0	18	10	3,2	18

bant hızı = 0,54 m/dak.

Sıcaklık Diagramının Çizimi:

$$t_A = \frac{550 - 470}{30} = 2,66 \text{ dak.} \quad \text{Mesafe} = 2,66 \cdot 0,54 = 1,45 \text{ m.}$$

$$t_B = 5 \text{ dak.} \quad \text{Mesafe} = 5 \cdot 0,54 = 2,7 \text{ m.}$$

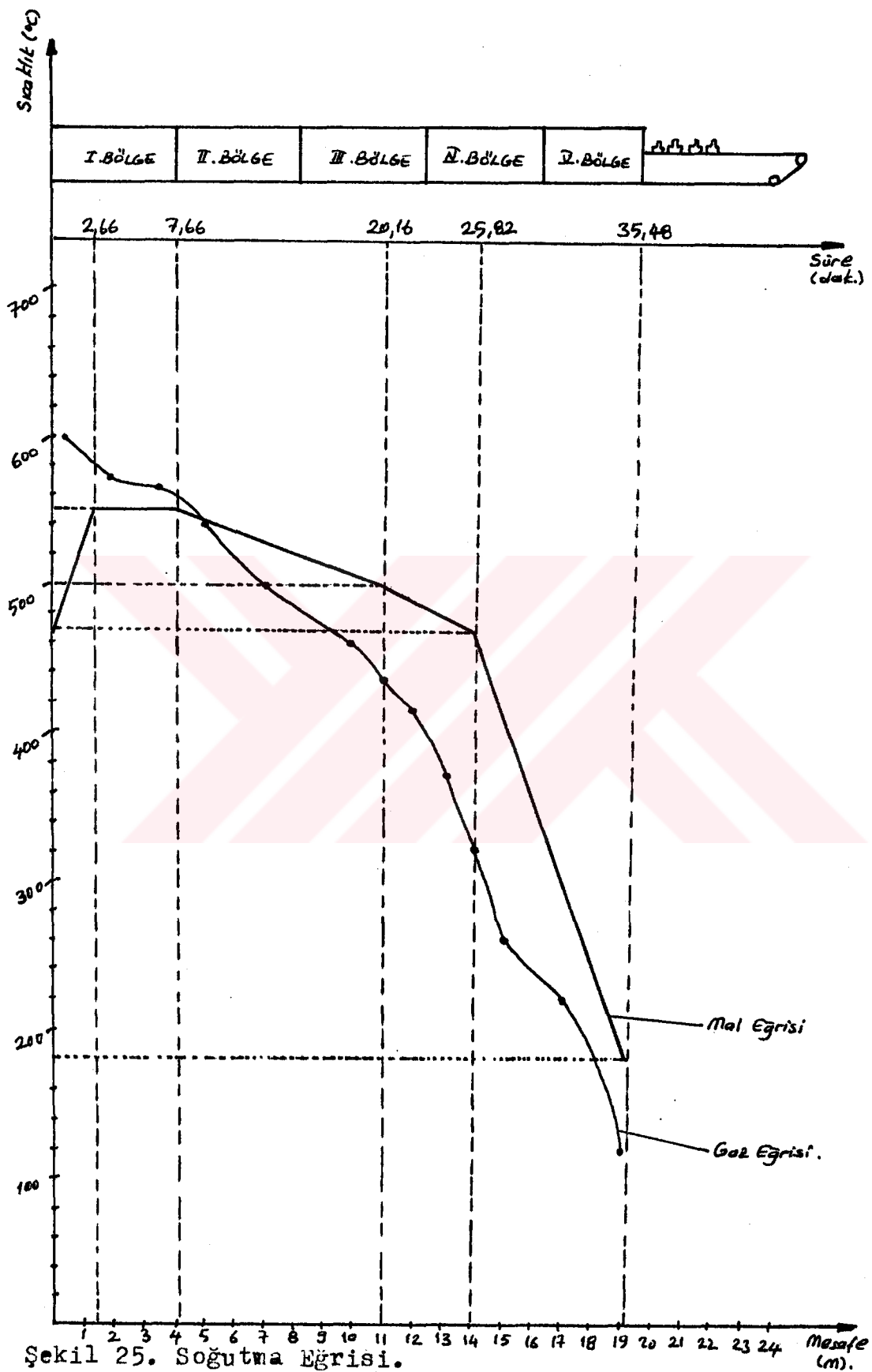
$$t_C = \frac{550 - 500}{4,0} = 12,5 \text{ dak.} \quad \text{Mesafe} = 12,5 \cdot 0,54 = 6,81 \text{ m.}$$

$$t_D = \frac{30}{5,3} = 5,66 \text{ dak.} \quad \text{Mesafe} = 5,66 \cdot 0,54 = 3,05 \text{ m.}$$

$$t_E = \frac{470 - 180}{30} = 9,66 \text{ dak.} \quad \text{Mesafe} = 9,66 \cdot 0,54 = 5,22 \text{ m.}$$

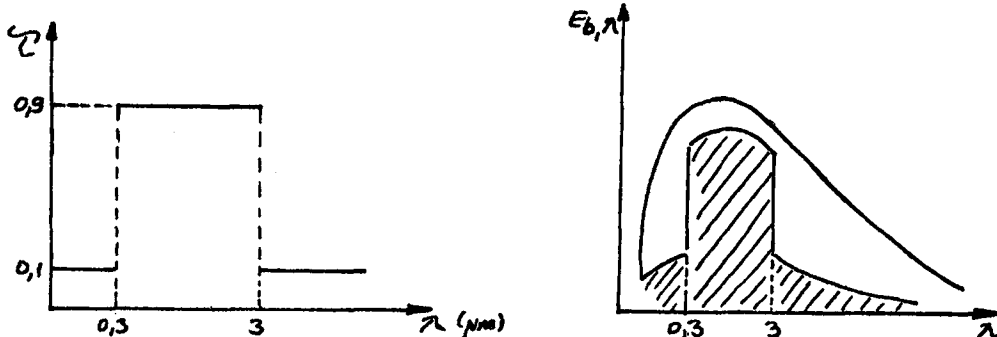
$$\text{Toplam} = 19,23 \text{ m.}$$

Bu hesaplara göre önce imalat soğutma eğrisi çizilecektir.



Camın Toplam Geçirgenliği.

1. $t=0,66$ dak. da dumangazı sıcaklığının 600°C olduğu kabul edilerek, gözlem yapilsın.



$$\bar{C} = 0,1 \cdot (F_{0-0,3}) + 0,9 \cdot (F_{0-3} - F_{0-0,3}) + 0,1 \cdot (1 - F_{0-3})$$

$$\Rightarrow T=873 \text{ K için } \lambda_1 \cdot T = 87,3 \text{ }\mu\text{mK} \quad F_{0-0,3}=0$$

$$\lambda_2 \cdot T = 785,7 \text{ }\mu\text{mK} \quad F_{0-0,3}=1,8 \cdot 10^{-5}$$

\bar{C} bulunur.

Dumangazının geçtiği kesit $= 2,73 \text{ m}^2$. Şişe alanı $= 0,05 \text{ m}^2$.

Hesap Yöntemi

Malın alacağı ısı: $Q_{\text{mal}} = m_{\text{cam}} \cdot C_{\text{pcam}} \cdot (T_{2\text{cam}} - T_{1\text{cam}})$ (10). bağıntısından bulunur.

$m_{\text{cam}} = 2704,58 \text{ kg/h}$ ve $C_{\text{pcam}} = 0,175 \text{ kcal/kg }^{\circ}\text{C}$.

$Q_{\text{mal}} = Q_{\text{duman gazi}}$ (11). bağıntısına göre,

$Q_{\text{dg}} = m_g \cdot C_{\text{pg}} \cdot (T_{1g} - T_{2g})$ (12) bağıntısından m_g bulunur.

$m_g = \rho_g \cdot A \cdot U_g$ (13). bağıntısından U_g bulunur.

Konveksiyonla malın alacağı ısının bulunması:

$Q_{\text{kon}} = \alpha \cdot A \cdot (T_g - T_f) \cdot t$ (16). olup, t_f ise, (1) bağıntısından bulunur.

$Re = \frac{U \cdot d}{\eta}$ (14)'ten bulunarak buna göre c ve n değerleri okunur.

$Nu = c \cdot Re^n \cdot Pr^{1/3}$ (15)'ten bulunur ve (4) bağıntısından α bulunur, (16) bağıntısından Q_{kon} bulunur.

Radyasyonla Transfer Olan İsinin Bulunuşu

1. Malzemeden yüzeylere transfer olan ısı, (6) bağıntısından bulunur.

2. Gazlardan malzemeye transfer olan ısı,

$$Q = A \cdot C_s \cdot \left(\frac{(600 + 273)^4 - (t_y + 273)^4}{100} \right) \dots \dots \dots \quad (17)$$

den bu-

lunur ve % 10'u geçtiği için bu miktarı düşüür.

Malın aldığı ısı malın yüzeyler ve gazlarla yaptığı net ısıya eşitse, yapılan sıcaklık kabulu doğrudur.

Soğuma bölgesinde ise, yani 2. bölgeden itibaren, mal konveksiyonla ısı verecek, radyasyonla gazlara ısı verecek, ancak, halâ sıcak olan yüzeylerden de ısı alacak olup, ısı transfer miktarları aynı bağıntı ve yöntemlerden yararlanılarak bulunur.

$t_g = 600$ C`ye göre,

(10) bağıntısından $Q_{\text{mal}} = 11832,5$ kcal/h bulunur.

(11) bağıntısına göre, $t_{2g} = 520$ C`ye göre, $\rho = 0,4 \text{ kg/m}^3$ ve $C_p = 0,3 \text{ kcal/kgC}$ için $m_g = 493,02 \text{ kg/h}$ bulunur. (12) bağıntısından yararlanılarak, bu değere ulaşılmıştır.

(13) bağıntısından, $U_g = 0,125 \text{ m/s}$ dir.

(14) bağıntısından, $Re = 104,29$ ve $c = 0,683$, $n = 0,466$ dir.

(15) bağıntısından, $Nu = 5,26$ ve (4) bağıntısından, $\alpha = 3,5 \text{ kcal/m}^2 \text{ h}^\circ \text{C}$ bulunur.

(16) bağıntısından, $Q_{\text{kon}} = 1065,75 \text{ kcal/h}$ olacaktır.

Radyasyon isıları:

1. Malzemeden yüzeylere $t_y = 438,42$ C için (6) bağıntısından, $Q = 5896 \text{ kcal/h}$ ve iki yüzey için, $11792 \text{ kcal/h}^\circ \text{tir.}$

(6) bağıntısından, diğer yüzey için $Q = 6506 \text{ kcal/h}^\circ \text{lık ısı veriliyor.}$

2. Gazlardan malzemeye,

(17) bağıntısından, $Q = 32294,49 \text{ kcal/h}$ ve %10'u düşüürse, $Q = 29065,04 \text{ kcal/h}$ ısı alınıyor. Verilen isılar, alınan isılara eşit olduğu için kabul doğrudur.

2. 1. Bölgede 2m^3 de, yani 3,66 dak. `da $t_g=570 \text{ C}$ dir. Hesapları yapılırsa,

(10) bağıntısından, $Q_{\text{mal}}=26031,58 \text{ kcal/h}$ tır.

(11) bağıntısına göre, (12) bağıntısından, $t_{2g}= 500 \text{ C}$ için, $w_g=1239,6 \text{ kg/h}$ olarak bulunur.

(13) bağıntısından, $U_g=0,3 \text{ m/s}$.

(14) bağıntısından, $Re=269,07$ ve $Pr=0,69$ için, $c=0,683$ ve $n=0,466$ dir.

(15) bağıntısından, $Nu=8,18$ ve (4) bağıntısından, $\alpha=5,17 \text{ kcal/m}^2\text{hC}$ ve

(16) bağıntısından, $Q_{\text{kon}}=3529,15 \text{ kcal/h}$ olup, 3,66 dak. da geçen 235,59 şişenin verdiği ısıdır.

Malzemeden yüzeylere $t_y=507,3 \text{ C}$ için (6) bağıntısından, $Q=13940,7 \text{ kcal/h}$ ve iki yüzey için, $Q=27881,5 \text{ kcal/h}$ radyasyonla ısı transfer olur.

(6) bağıntısından, diğer yüzeye $Q=15423,4 \text{ kcal/h}$ ısı transfer olur.

(17) bağıntısından gazlardan malzemeye $Q=73122,52 \text{ kcal/h}$ ve % 10 düşülverek $Q=65810,268 \text{ kcal/h}$ ısı geçer.

Buna göre $t_g=570 \text{ C}$ dir.

3. 1. Bölgede $3,5 \text{ m}^3$ de $t_g= 565 \text{ C}$ için hesap yapılsın. Süre 6,41 dak. `ya tekabül eder. Bu süre içinde 503,75 şişe geçer.

(10) bağıntısından, $Q_{\text{mal}}=26031,58 \text{ kcal/h}$,

(11) bağıntısına göre (12) bağıntısından, $w_g=1239,6 \text{ kg/h}$,

(13) bağıntısından, $U_g=0,3 \text{ m/s}$,

(14) bağıntısından, $Re=269,07$ ve $Pr=0,69$ için, $c=0,683$, $n=0,466$ dir.

(15) bağıntısından, $Nu=8,18$ ve (4) bağıntısından, $\alpha=5,17 \text{ kcal/m}^2\text{hC}$ bulunur.

(16) bağıntısından, $Q_{\text{kon}}=3529,15 \text{ kcal/h}$. bulunur.

(6) bağıntısından, $t_y=506,11 \text{ C}$ için, malzemeden yüzeylere $Q=26446,5 \text{ kcal/h}$ ve iki yüzey için $Q=52893 \text{ kcal/h}$ tır.

(6) bağıntısından, diğer yüzeye $Q=28895,18 \text{ kcal/h}$ ısı geçer.

Gazlardan Malzemeye ise,

(17) bağıntısından, $Q=113656,66 \text{ kcal/h}$ ve $\%10$ 'u düşürse, $Q=102291 \text{ kcal/h}$ ısı geçer. Buradan yapılacak ısı dengesine göre 3. kabul doğrudur.

4. Soğuma bölgesinde, yani 2. bölgede 5 m^2 de ve $9,16$ dak. da $t_g=540 \text{ }^\circ\text{C}$ ye göre hesap yapılsın. $t_{2g}=470 \text{ }^\circ\text{C}$ ye göre, bu süre içinde $719,06$ şişe geçer.

(10) bağıntısından, $Q_{\text{mal}}=2366,5 \text{ kcal/h}$, (vereceği ısı).

(11) bağıntısına göre (12) bağıntısından, $m_g=112,7 \text{ kg/h}$,

(13) bağıntısından, $U_g=0,025 \text{ m/s}$,

(14) bağıntısından, $Re=24,29$ ve $c=0,911$ ve $n=0,385$ tır.

(15) bağıntısından, $Nu=2,74$ ve (4) bağıntısından, $\alpha=1,73 \text{ kcal/m}^2\text{h}^\circ\text{C}$ dir.

(16) bağıntısından, $Q_{\text{kon}}=464,63 \text{ kcal/h}$ tır.

(17) bağıntısından, Gazlara verilen ısı $Q=25755,39 \text{ kcal/h}$

(6) bağıntısından, yüzeylerin verdiği ısı $Q=7685,46 \text{ kcal/h}$ ve iki yüzey için $Q=15370,9 \text{ kcal/h}$ tır. ($t_y=550,45 \text{ }^\circ\text{C}$).

(6) bağıntısından, diğer yüzeyin verdiği ısı $Q=8480,37 \text{ kcal/h}$ tır. Buna göre denge kurulursa, kabul doğrudur.

5. 2.Bölgede 7 m^2 de ve $12,83$ dak. da $t_g=500 \text{ }^\circ\text{C}$ olsun. Bu sürede $1007,5$ şişe geçer. $t_{2g}=430 \text{ }^\circ\text{C}$ dir.

(10) bağıntısından, $Q_{\text{mal}}=9466,03 \text{ kcal/h}$,

(11) bağıntısına göre (12) bağıntısından, $m_g=540,91 \text{ kg/h}$,

(13) bağıntısından, $U_g=0,114 \text{ m/s}$,

(14) bağıntısından, $Re=113,14$ ve $c=0,683$, $n=0,466$ dir.

(15) bağıntısından, $Nu=5,44$ ve (4) bağıntısından, $\alpha=3,31 \text{ kcal/m}^2\text{h}^\circ\text{C}$ dir.

(16) bağıntısından, $Q_{\text{kon}}=3751,82 \text{ kcal/h}$,

(17) bağıntısından, gazlara verilen ısı $Q=106522 \text{ kcal/h}$,

(6) bağıntısından, yüzeylerin verdiği ısı $=28194,5 \text{ kcal/h}$, iki yüzey için $Q=56389,37 \text{ kcal/h}$ tır. ($t_y=531,34 \text{ }^\circ\text{C}$).

(6) bağıntısından, diğer yüzeyin verdiği ısı $Q=33765,86 \text{ kcal/h}$ tır. Isı dengesi kurulursa, 5.kabul doğrudur.

6. 3.Bölgede 10 m^2 de $18,33$ dak. da $t_g=460 \text{ }^\circ\text{C}$ olsun. Bu sürede $1439,31$ şişe geçer. $t_{2g}=390 \text{ }^\circ\text{C}$ dir.

- (10) bağıntısından, $Q_{mal}=22245,17 \text{ kcal/h}$,
(11) bağıntısına göre (12) bağıntısından, $m_g=1271,15 \text{ kg/h}$,
(13) bağıntısından, $U_g=0,258 \text{ m/s.}$,
(14) bağıntısından, $Re=269,81$ ve $c=0,683$, $n=0,466$ °dir.
(15) bağıntısından, $Nu=8,15$ ve (4) bağıntısından, $\alpha=4,95$
 $\text{kcal}/\text{m}^2\text{hC}^\circ$ dir.
(16) bağıntısından, $Q_{kon}=19060,18 \text{ kcal/h}$,
(17) bağıntısından, gazlara verilen ısı $Q=329294,18 \text{ kcal/h}$
olup, %10'u düşürse, $Q=296364,76 \text{ kcal/h}^\circ$ tır.
(6) bağıntısından, yüzeylerin verdiği ısı $Q=89049,76 \text{ kcal/h}$
ve iki yüzey için $Q=178099,52 \text{ kcal/h}^\circ$ tır. ($t_y=550,25 \text{ C}$).
(6) bağıntısından, diğer yüzeyin verdiği ısı $Q=115079,69$
 kcal/h° tır. Isı dengesi kurulursa 6. kabul doğrudur.

7. 3.Bölgede 11 m'de, 20,16 dak. 'da $t_g=450 \text{ C}$ olsun. Bu sürede 1583,2 şişe geçer. $t_{2g}=370 \text{ C}^\circ$ dir.

- (10) bağıntısından, $Q_{mal}=33131,1 \text{ kcal/h}$,
(11) bağıntısına göre (12) bağıntısından, $m_g=2208,74 \text{ kg/h}$
(13) bağıntısından, $U_g=0,432 \text{ m/s.}$,
(14) bağıntısından, $Re=471,77$ ve $c=0,683$, $n=0,466$ °dir.
(15) bağıntısından, $Nu=10,58$ ve (4) bağıntısından, $\alpha=4,87$
 $\text{kcal}/\text{m}^2\text{hC}^\circ$ dir.
(16) bağıntısından, $Q_{kon}=28334,29 \text{ kcal/h}$,
(17) bağıntısından, gazlara verilen ısı $Q=459946,7 \text{ kcal/h}$
olup, %10'u düşürse $Q=413952,04 \text{ kcal/h}^\circ$ tır.
(6) bağıntısından, yüzeylerin verdiği ısı iki yüzey için $Q=266426,66 \text{ kcal/h}^\circ$ tır. ($t_y=528,51 \text{ C}^\circ$ dir).
(6) bağıntısından, diğer yüzeyin verdiği ısı $Q=142728,57$
 kcal/h° tır. Isı dengesine bakılırsa, 7.kabul doğrudur.

8. 3.Bölgede 12 m'de, 22 dak. 'da $t_g=410 \text{ C}$ olsun. Bu sürede 1727 şişe geçer. $t_{2g}=340 \text{ C}^\circ$ dir.

- (10) bağıntısından, $Q_{mal}=37864,12 \text{ kcal/h}$,
(11) bağıntısına göre (12) bağıntısından, $m_g=2163,66 \text{ kg/h}$,
(13) bağıntısından, $U_g=0,407 \text{ m/s.}$,
(14) bağıntısından, $Re=458,34$ ve $c=0,683$, $n=0,466$ °dir.
(15) bağıntısından, $Nu=10,44$ ve (4) bağıntısından $\alpha=6,08$
 $\text{kcal}/\text{m}^2\text{hC}^\circ$ dir.

(16) bağıntısından, $Q_{kon}=44642,73$ kcal/h,

(17) bağıntısından, gazlara verilen ısı, $Q=547860,85$ kcal/h olup, %10'u düşürse, $Q=493074,76$ kcal/h'tır.

(6) bağıntısından, yüzeylerin verdiği ısı iki yüzey için, $Q=310955,23$ kcal/h'tır.

(6) bağıntısından, diğer yüzeyin verdiği ısı $Q=188898,03$ kcal/h'tır. Buna göre ısı dengesi kurulursa 8.kabul doğrudur.

9. 4.Bölgede 13 m'de, 23,83 dak.'da $t_g=370$ C olsun. Bu sürede 1871,1 şişe geçer. $t_{2g}=300$ C'dir.

(10) bağıntısından, $Q_{mal}=52063,16$ kcal/h,

(11) bağıntısına göre (12) bağıntısından, $m_g=2975,04$ kg/h,

(13) bağıntısına göre, $U_g=0,54$ m/s.,

(14) bağıntısına göre, $Re=643,3$ ve $c=0,683$, $n=0,466$ 'dır.

(15) bağıntısından, $Nu=12,22$ ve (4) bağıntısından, $\alpha=6,91$ kcal/m²hC'dir.

(16) bağıntısından, $Q_{kon}=74354,2$ kcal/h,

(17) bağıntısından, gazlara verilen ısı $Q=725222,69$ kcal/h olup, %10'u düşürse, $Q=652700,42$ kcal/h'tır.

(6) bağıntısından, yüzeylerin verdiği ısı $Q=197768,15$ kcal/h ve iki yüzey için, $Q=395536,3$ kcal/h'tır.

(6) bağıntısından, diğer yüzey için, $Q=279455$ kcal/h tır.

($t_y=604,79$ C).Buna göre ısı dengesine bakılırsa 9.kabul doğrudur.

10. 4.Bölgede 14 m'de, 25,82 dak.'da $t_g=320$ C olsun. Bu sürede 2026,87 şişe geçer. $t_{2g}=250$ C'dir.

(10) bağıntısından, $Q_{mal}=70995,22$ kcal/h,

(11) bağıntısından ve (12) bağıntısından, $m_g=4225,9$ kg/h,

(13) bağıntısından, $U_g=0,683$ m/s.,

(14) bağıntısından, $Re=874,79$ ve $c=0,683$, $n=0,466$ 'dır.

(15) bağıntısından, $Nu=14,11$ ve (4) bağıntısından, $\alpha=7,68$ kcal/m²hC'dir.

(16) bağıntısından, $Q_{kon}=120593,91$ kcal/h,

(17) bağıntısından, gazlara verilen ısı $Q=934677,19$ kcal/h olup, %10'u düşürse, $Q=841209,47$ kcal/h'tır.

(6) bağıntısından, yüzeylerin verdiği ısı iki yüzey için,

$Q=531825,39 \text{ kcal/h}^{\circ}$ tır.

(6) bağıntısından, diğer yüzey için, $Q=358982,14 \text{ kcal/h}^{\circ}$ tır. ($t_y=575,83 \text{ C}$). Buna göre ısı dengesinden, 10. kabul doğrudur.

11. 4. Bölgede 15 m`de, 27,5 dak. `da $t_g=260 \text{ C}$ olsun. Bu sürede 2158,75 şişe geçer. $t_{2g}=190 \text{ C}^{\circ}$ dir.

(10) bağıntısından, $Q_{\text{mal}}=70995,22 \text{ kcal/h}^{\circ}$ tır.

(11) bağıntısına göre (12) bağıntısından, $m_g=4225,9 \text{ kg/h}$,

(13) bağıntısından, $U_g=0,66 \text{ m/s.}$,

(14) bağıntısından, $Re=840,02$ ve $c=0,683$, $n=0,466^{\circ}$ dir.

(15) bağıntısından, $Nu=13,84$ ve (4) bağıntısından, $\alpha=7,08 \text{ kcal/m}^2 \text{ hC}^{\circ}$ dir.

(16) bağıntısından, $Q_{\text{kon}}=137508,04 \text{ kcal/h}^{\circ}$ tır.

(17) bağıntısından, gazlara verilen ısı $Q=934195,86 \text{ kcal/h}$ olup, %10'u düşürse, $Q=840776,27 \text{ kcal/h}^{\circ}$ tır.

(6) bağıntısından, yüzeylerin verdiği ısı iki yüzey için, $Q=549948,93 \text{ kcal/h}^{\circ}$ tır.

(6) bağıntısından diğer yüzey için, $Q=357340,1 \text{ kcal/h}^{\circ}$ tır. ($t_y=530,79 \text{ C}$). Buna göre ısıl dengeden 11. kabul doğrudur.

12. 5. Bölgede 17 m`de, 31,17 dak. `da $t_g=210 \text{ C}$ olsun. Bu sürede 2446,82 şişe geçer. $t_{2g}=140 \text{ C}^{\circ}$ dir.

(10) bağıntısından, $Q_{\text{mal}}=42597,135 \text{ kcal/h}$,

(11) bağıntısına göre (12) bağıntısından, $m_g=2535,54 \text{ kg/h}$,

(13) bağıntısından, $U_g=0,326 \text{ m/s.}$,

(14) bağıntısından, $Re=570,91$ ve $c=0,683$, $n=0,466^{\circ}$ dir.

(15) bağıntısından, $Nu=11,56$ ve (4) bağıntısından $\alpha=5,53 \text{ kcal/m}^2 \text{ hC}^{\circ}$ dir.

(16) bağıntısından, $Q_{\text{kon}}=98137,62 \text{ kcal/h}$,

(17) bağıntısından, gazlara verilen ısı $Q=602438,81 \text{ kcal/h}$ olup, %10'u düşürse, $Q=542194,93 \text{ kcal/h}^{\circ}$ tır.

(6) bağıntısından, yüzeylerin verdiği ısı iki yüzey için, $Q=346478,34 \text{ kcal/h}^{\circ}$ tır.

(6) bağıntısından diğer yüzey için, $Q=251256,8 \text{ kcal/h}^{\circ}$ tır. ($t_y=511,42 \text{ C}$). Buna göre ısıl dengeden, 12. kabul doğrudur.

13. 5. Bölgede 19 m`de, 34,83 dak. `da $t_g=120 \text{ C}$ olsun. Bu sürede 2734,69 şişe geçer. $t_{2g}=40 \text{ C}^{\circ}$ dir.

- (10) bağıntısından, $Q_{mal}=33131,1 \text{ kcal/h}$,
(11) bağıntısına göre (12) bağıntısından, $m_g=1725,57 \text{ kg/h}$,
(13) bağıntısına göre, $U_g=0,184 \text{ m/s.}$,
(14) bağıntısına göre, $Re=554,38$ ve $c=0,683$, $n=0,466$ dir.
(15) bağıntısına göre, $Nu=11,4$ ve (4) bağıntısından, $\alpha=3,84 \text{ kcal/m}^2\text{hC}$ dir.
(16) bağıntısından, $Q_{kon}=65644,79 \text{ kcal/h}$,
(17) bağıntısından, gazlara verilen ısı $Q=320574,08 \text{ kcal/h}$ olup, $\%10$ 'u düşüürse, $Q=288516,67 \text{ kcal/h}$ tır.
(6) bağıntısından, yüzeylerin verdiği ısı iki yüzey için, $Q=192618,15 \text{ kcal/h}$ tır.
(6) bağıntısından, diğer yüzey için, $Q=128412,1 \text{ kcal/h}$ tır ($t_y=319,62 \text{ C}$). Buna göre, net ısı incelenirse, 13.kabul doğru olacaktır.

III.8. Isı Transfer Yüzdelarının Tesbit Edilmesi

1. Bölgede

1. noktada: $Q_{kon}=1065,75 \text{ kcal/h}$ ve $Q_{net-rad}=10767,04 \text{ kcal/h}$
% 9 konveksiyon % 91 Radyasyon.
2.Noktada: $Q_{kon}=3529,15 \text{ kcal/h}$ ve $Q_{net-rad}=22505,26 \text{ kcal/h}$
% 13,55 konveksiyon % 86,45 radyasyon.
3.Noktada: $Q_{kon}=5530,22 \text{ kcal/h}$ ve $Q_{net-rad}=20502,8 \text{ kcal/h}$
%21,24 konveksiyon % 78,76 radyasyon.

2. Bölgede

- 4.Noktada: $Q_{kon}=464,63 \text{ kcal/h}$ ve $Q_{net-rad}=1904,12 \text{ kcal/h}$
% 19,6 konveksiyon % 80,4 radyasyon.
5.Noktada: $Q_{kon}=3751,82 \text{ kcal/h}$ ve $Q_{net-rad}=5714,6 \text{ kcal/h}$
% 39,6 konveksiyon % 60,4 radyasyon.

3. Bölgede

- 6.Noktada: $Q_{kon}=19060,18 \text{ kcal/h}$ ve $Q_{net-rad}=3185,5 \text{ kcal/h}$
% 85,6 konveksiyon % 14,4 radyasyon.
7.Noktada: $Q_{kon}=28334,28 \text{ kcal/h}$ ve $Q_{net-rad}=4796,81 \text{ kcal/h}$
% 85,5 konveksiyon % 14,5 radyasyon.
8.Noktada: $Q_{kon}=44642,7 \text{ kcal/h}$ ve $Q_{net-rad}=6778,5 \text{ kcal/h}$
% 86,8 konveksiyon % 13,2 radyasyon.

4.Bölgede

9.Noktada: $Q_{kon} = 74354,2 \text{ kcal/h}$ ve $Q_{net-rad} = 22290,9 \text{ kcal/h}$
 % 76,9 konveksiyon % 23,1 radyasyon.

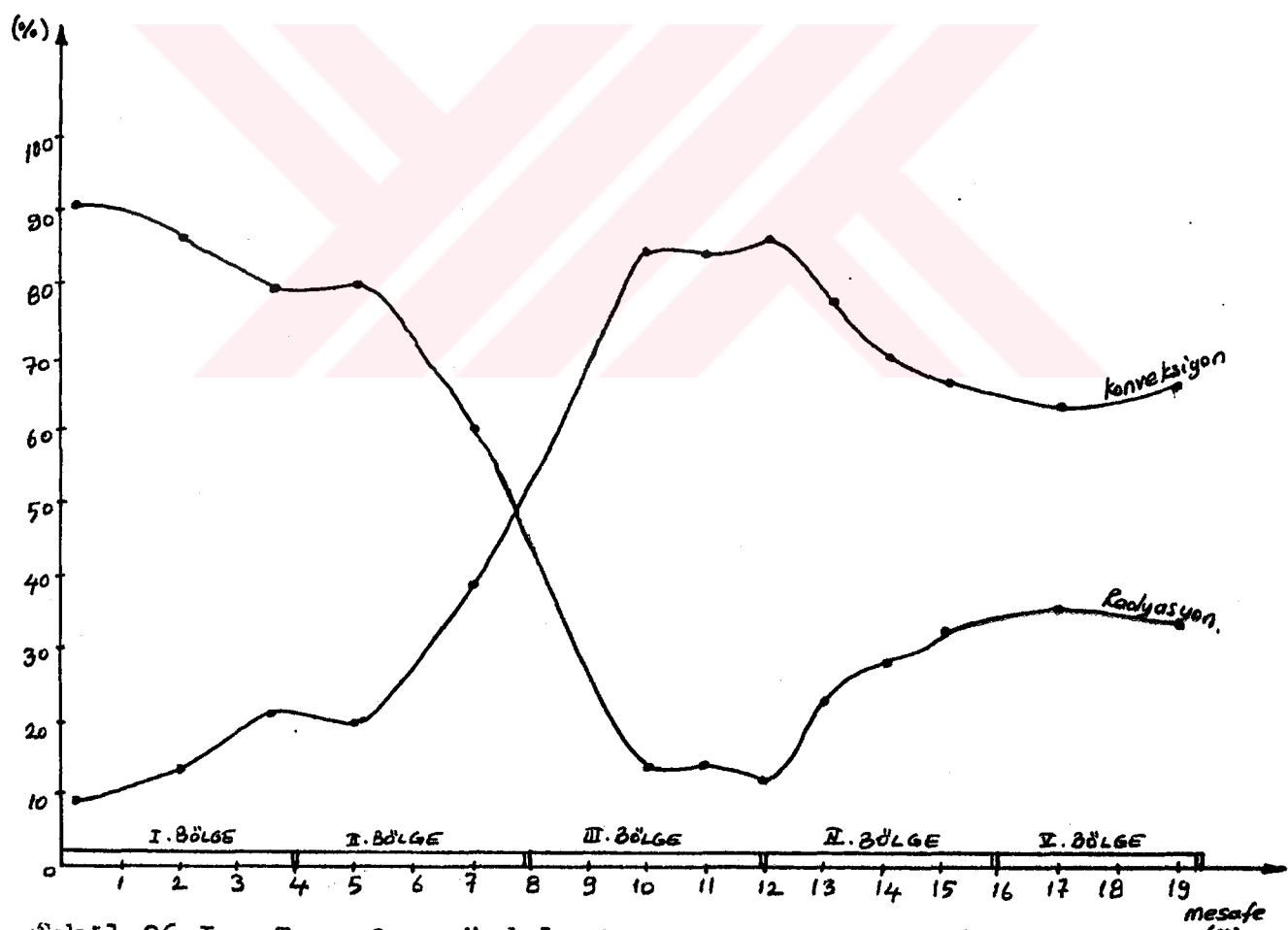
10.Noktada: $Q_{kon} = 120593,9 \text{ kcal/h}$ ve $Q_{nr.} = 49598,06 \text{ kcal/h}$
 % 70,8 konveksiyon % 29,2 radyasyon.

11.Noktada: $Q_{kon} = 137508,04 \text{ kcal/h}$ ve $Q_{nr.} = 66512,75 \text{ kcal/h}$
 % 67,4 konveksiyon % 32,6 radyasyon.

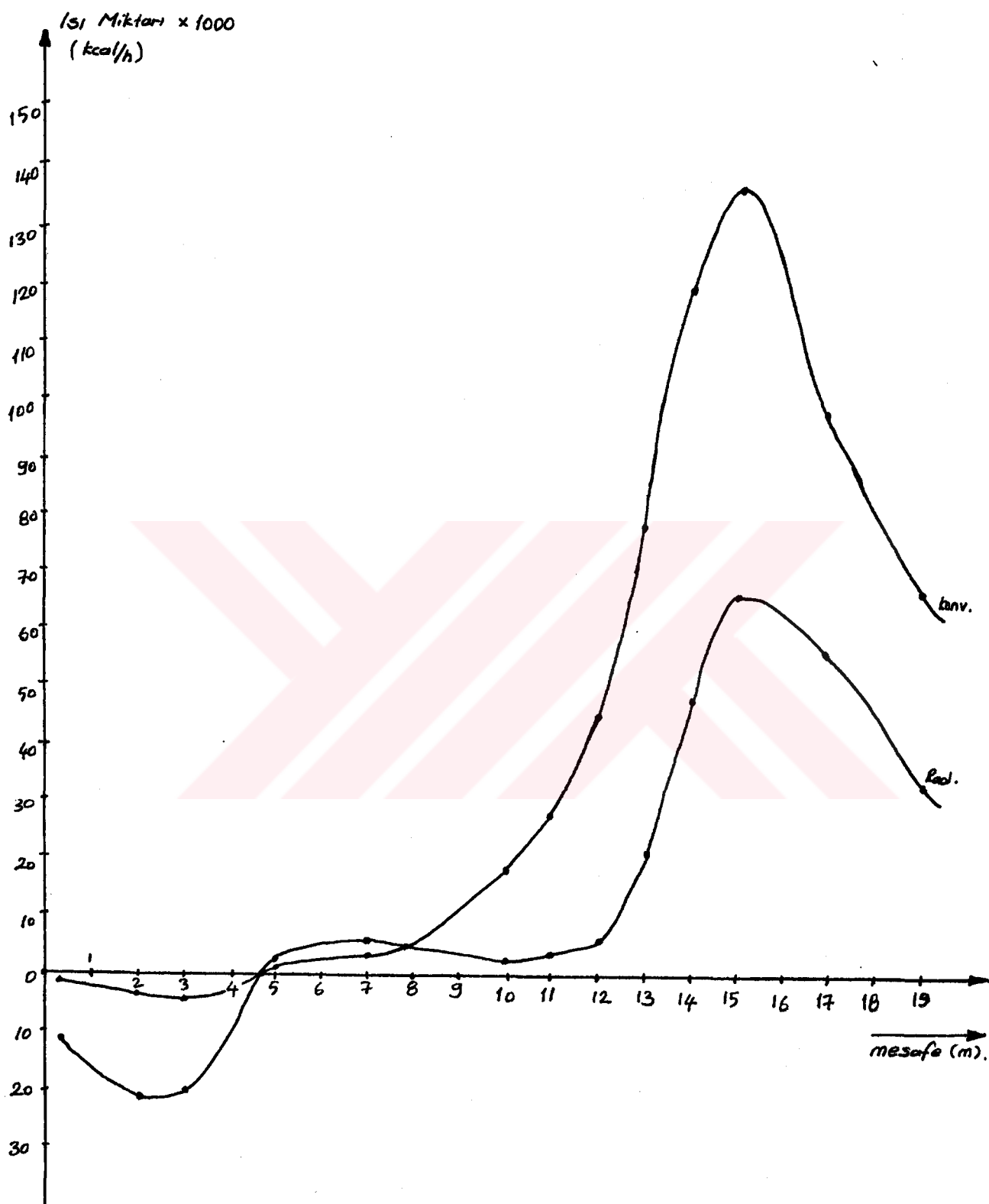
5.Bölgede

12.Noktada: $Q_{kon} = 98137,6 \text{ kcal/h}$ ve $Q_{nr.} = 55540,2 \text{ kcal/h}$
 % 63,86 konveksiyon % 36,14 radyasyon.

13.Noktada: $Q_{kon} = 65644,8 \text{ kcal/h}$ ve $Q_{nr.} = 32513,58 \text{ kcal/h}$
 % 66,87 konveksiyon % 33,13 radyasyon.



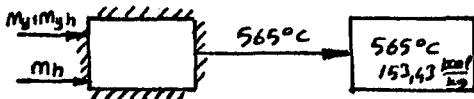
Şekil 26. İsi Transfer yüzdelerinin mesafeye göre değişimi.
 (Fırın bölgeleri üzerinde de verilmiştir.).



Şekil 27. Isı Transfer Miktarlarının Mesafeye Göre Değişimi

III.9. Yakıt Miktarlarının Hesaplanması

1. Bölgede



T=15°C kabul edilerek,

$$Q_{\text{mal}} + Q_k = \dot{m}_g \cdot C_{pg} \cdot (565 - 550)$$

$$C_{pg} = 0,265 \text{ kcal/kg°C}$$

$$Q_{\text{mal}} = \dot{m}_{\text{mal}} \cdot C_{p\text{mal}} \cdot (t_2 - t_1)_{\text{mal}}$$

$$t_1 = 470 \text{ °C}, t_2 = 550 \text{ °C}$$

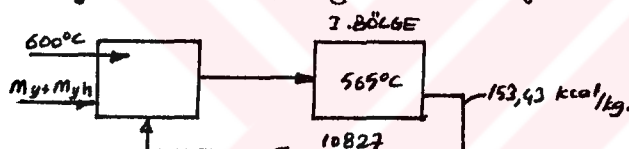
$$C_{p\text{mal}} = 0,175 \text{ kcal/kg°C}$$

$$\dot{m}_{\text{mal}} = 2704,58 \text{ kg/h.}$$

$$Q_{\text{mal}} = 2704,58 \cdot 0,175 \cdot (550 - 470) = 37864,12 \text{ kcal/h.}$$

$$Q_k = 5173,2 \text{ kcal/h.}$$

$\dot{m}_g = 10827 \text{ kg/h}'tir. Bu miktarı 1. Bölgeden çıkıştı geri çeviriip yanma hücresına verirsek, sadece gazın giriş sıcaklığına yükseltmemiz gereklidir. Böylece az yakıt yakarız.$



600°C'deki entalpi, 157,66 kcal/kg'dır.

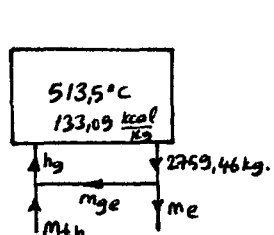
Yanma hücresi Enerji Dengesi:

$$\text{Açık sistem için, } Q - W = \dot{m}_g h_g - \dot{m}_y h_y$$

$$10827 \cdot (157,66 - 153,43) = \dot{m}_y \cdot 10021,38 + 14,05 \cdot \dot{m}_y \cdot 4,8$$

$$\dot{m}_y = 4,54 \text{ kg/h yakıt.}$$

2. Bölgede



$$Q_{\text{mal}} = \dot{m}_{\text{mal}} \cdot C_{p\text{mal}} \cdot (t_1 - t_2)$$

$$t_1 = 550 \text{ °C}, t_2 = 520 \text{ °C.}$$

$$Q_{\text{mal}} = 14199 \text{ kcal/h ve } Q_k = 3851 \text{ kcal/h.}$$

$$\dot{m}_g = 2759,46 \text{ kg/h.}$$

$$Q_{\text{mal}} - Q_k = (\dot{m}_e + \dot{m}_{ge}) \cdot 133,09 - (\dot{m}_h + \dot{m}_{ge}) \cdot h_{\text{giriş.}}$$

$$10348 = 2759,46 \cdot 133,09 - 2759,46 \cdot h_{\text{giriş.}}$$

$$h_{\text{giriş}} = 129,34 \text{ kcal/kg.}$$

Fanın enerji dengesi:

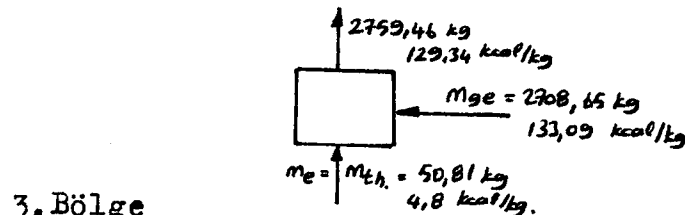
$$Q = A \cdot (513,5 - 20) = 20 \cdot 0,5 \cdot (493,5) = 4935 \text{ kcal/h.}$$

$$\text{Debi} = 6132,13 \text{ m}^3/\text{h} \quad P = 50 \text{ mmss.} = 50 \text{ kg/m}^2. \quad \eta = 0,65. \quad \beta = 0,45.$$

$$W = \frac{V \cdot \Delta P}{0,65 \cdot 102} = \frac{1,7 \text{ m}^3/\text{s} \cdot 50}{0,65 \cdot 102} = 1,28 \text{ kJ/s} = 1104,76 \text{ kcal/h.}$$

$$-4935 + 1104,76 = 2759,46 \cdot 129,34 - m_g \cdot 133,09 - m_h \cdot 4,8$$

$$m_h = 2759,46 - m_{ge} \text{ den, } m_{gelen} = 2708,65 \text{ kg/h.}$$



3. Bölge

$$Q_{\text{mal}} - Q_k = m_g \cdot C_p g \cdot 15.$$

$$Q_{\text{mal}} = 2704,58 \cdot 0,175 \cdot (520 - 479)$$

$$Q_{\text{mal}} = 19405,4 \text{ kcal/h.}$$

$$Q_k = 3041,4 \text{ kcal/h.}$$

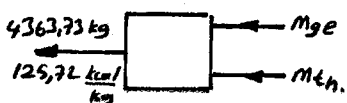
$$\text{yukarıdaki bağıntıdan, } m_g = 4363,73 \text{ kg/h.}$$

$$19405,4 - 3041,4 = 4363,73 \cdot 129,47 - 4363,73 \cdot h_{\text{giriş}}$$

$$h_{\text{giriş}} = 125,72 \text{ kcal/kg.}$$

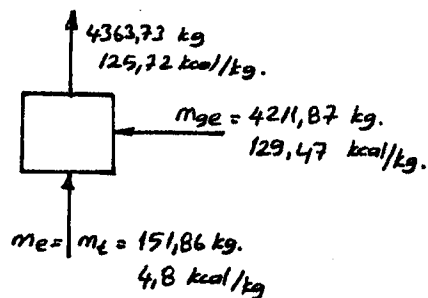
$$\text{Fan ısısı } Q = 18 \cdot 0,5 \cdot (499,5 - 20) = 4315,5 \text{ kcal/h.}$$

$$\text{Debi} = 2,69 \text{ m}^3/\text{s. } W = 1747,04 \text{ kcal/h. } \eta = 0,65 \text{ kabul edilerek.}$$

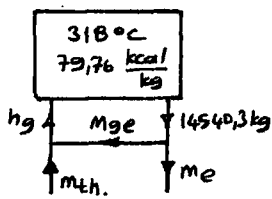


$$-4315,5 + 1747,04 = 4363,73 \cdot 125,72 - m_{ge} \cdot 129,47 - m_{th} \cdot 4,8.$$

$$m_{th} = 4363,73 - m_{ge} \text{ den, } m_{gelen} = 4253,07 \text{ kg/h ve } m_{th} = 110,65 \text{ kg/h}$$



4. Bölge



$$Q_{\text{mal}} - Q_k = m_g \cdot C_p g \cdot 15$$

$$Q_{\text{mal}} = 2704,58 \cdot 0,175 \cdot (479-359)$$

$$Q_{\text{mal}} = 56796,18 \text{ kcal/h.}$$

$$Q_k = 2270,04 \text{ kcal/h.}$$

Yukarıdaki bağıntıdan, $m_g = 14540,3 \text{ kg/h}$ bulunur.

$$56796,18 - 2270,04 = 14540,3 \cdot 79,76 - 14540,3 \cdot h_{\text{giriş}}$$

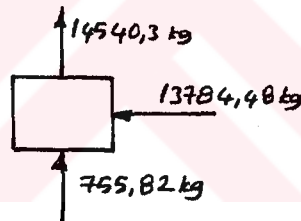
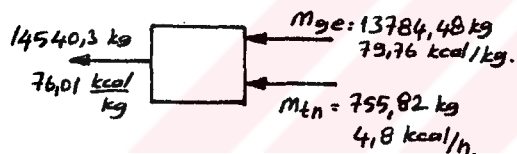
$$h_{\text{giriş}} = 76,01 \text{ kcal/kg.}$$

Fan İstisi: $Q = 15 \cdot 0,5 \cdot (318-20) = 2235 \text{ kcal/h.}$ ve Debi = $6,73 \text{ m}^3/\text{s.}$ ve aynı verimle $W = 4364,9 \text{ kcal/h.}$

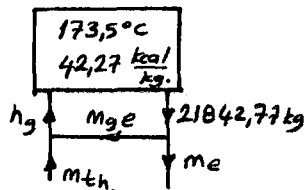
$$-2235 + 4364,9 = 14540,3 \cdot 76,01 - m_{ge} \cdot 79,76 - m_{th} \cdot 4,8$$

$$m_{th} = 14540,3 - m_{gelen} \text{ ve buradan, } m_{gelen} = 13784,48 \text{ kg/h.}$$

$$m_{th} = 755,82 \text{ kg/h.}$$



5. Bölge



$$Q_{\text{mal}} = 2704,58 \cdot 0,175 \cdot (359-190)$$

$$Q_{\text{mal}} = 79988 \text{ kcal/h.}$$

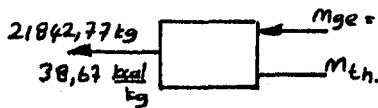
$$Q_k = 1354 \text{ kcal/h.}$$

$$Q_{\text{mal}} - Q_k = m_g \cdot 0,24 \cdot 15$$

$$m_g = 21842,77 \text{ kg/h.}$$

$$79988 - 1354 = 21842,77 \cdot 42,27 - 21842,77 \cdot h_{\text{giriş}}$$

$$h_{\text{giriş}} = 38,67 \text{ kcal/kg.}$$



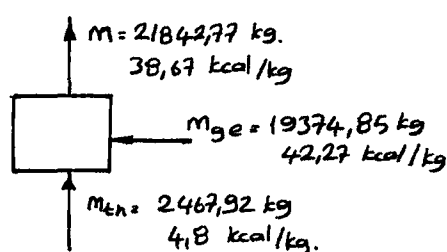
Fan ısisi: $Q=10.0,5 \cdot (173,5-20)=767,5 \text{ kcal/h.}$

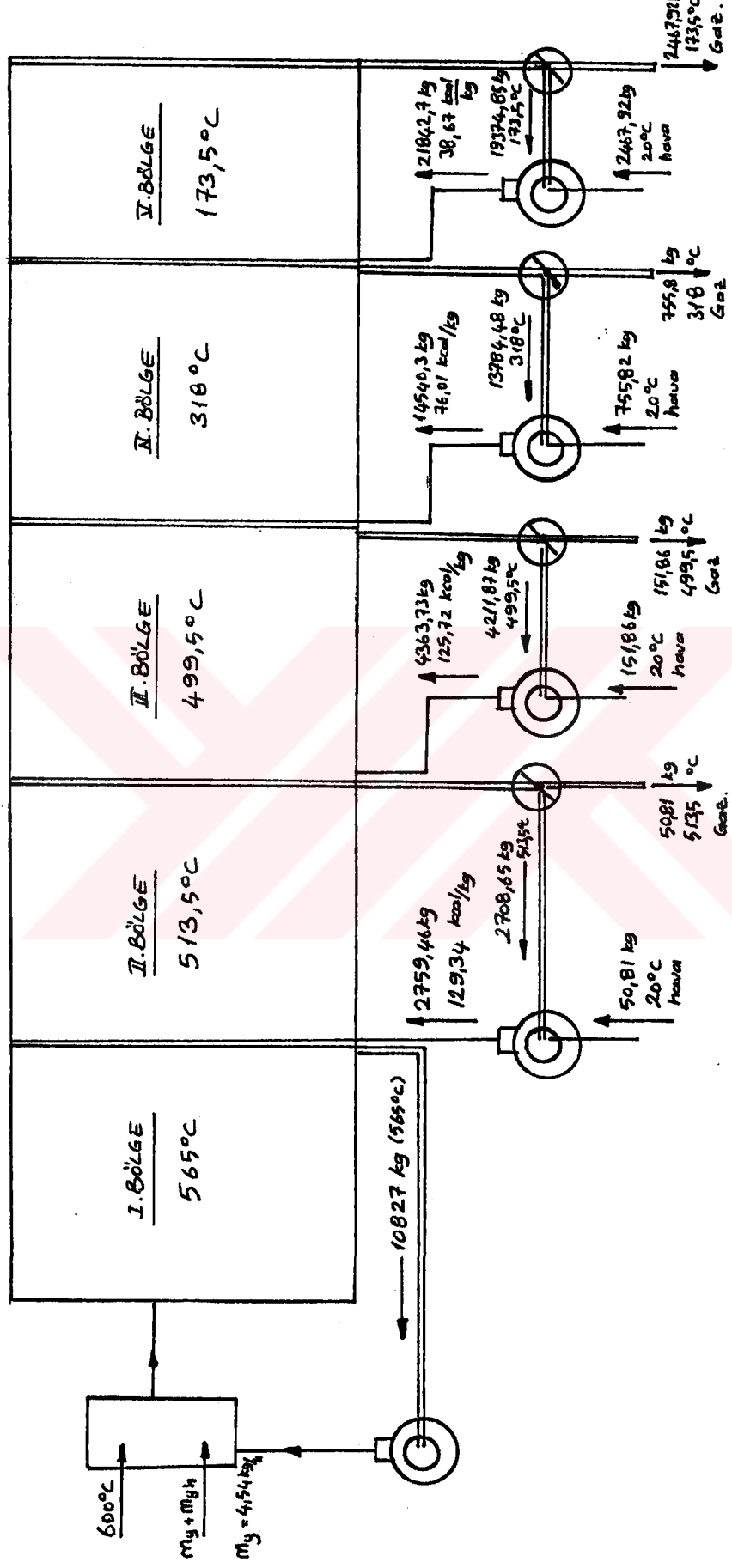
Debi=7,58 m^3/s . Aynı verimle, $W=5,72 \text{ kJ/s} = 4919 \text{ kcal/h}$ olarak bulunur.

$$-767,5 + 4919 = 21842,77 \cdot 38,67 - m_{ge} \cdot 42,77 - m_{th} \cdot 4,8$$

$$m_{th} = 21842,77 - m_{gelen}$$

Yerine yazılırsa, $m_{gelen} = 19374,85 \text{ kg/h.}$





— Sise Tavla Fırını —

Kaynaklar

1. Kimyasal Proses Endüstrileri (R.1.)
R.Norris Shreve Joseph, A.Brink J.R.
Çev: İhsah Çataltaş.
2. Cam Yapı Malzemeleri (R.2.)
Prof.Nihat Toydemir
Şişecam Yayınları
3. Glass Furnaces.(R.3.)
Design, Construction, and operation
Society of Glass Technology
4. Anorganik Endüstriyel Kimya (R.4)
İ.T.Ü Kütüphanesi
İ.Ü. Yayınları.Prof.Dr.Ünal Sanigök (1987)
5. Meydan Larousse (R.5)
Cilt 2.
6. Buhar Kazanlarının Isıl Hesapları.(R.6)
Prof.Dr.Kemal Onat
Doç.Dr.Osman Genceli
Doç.Dr.Ahmet Arisoy (1988). İ.T.Ü.Kütüphanesi.
7. Teknik Bülten Dergileri.(R.7)
Şişecam Yayınları
8. Y.T.Ü. Makina Müh.Bölümü.İş Transferi Ders Notları.
9. Y.T.Ü. Fen Bil.Ens. Mak.Müh.Böl. İleri İş Transferi Ders Notları.
- 10.İş Transferi Kitabı.(R.10)
Doç.Dr.Sadık Kakaoğlu
- 11.Y.T.Ü. Müh.Fak.Mak.Müh.Böl. Otomatik Kontrol Ders Notları.
- 12.Cam Fırınları.Y.T.Ü. Kütüphanesi.
- 13.Cam Türleri.Y.T.Ü. Kütüphanesi.

Özgeçmiş

1970 Malatya ili, Arguvan ilçesi Kuyudere köyü doğum-luyum. İlk öğrenimimi Kadıköy Küçükbağkalköy İlkokulunda, orta öğrenimimin ilk basamağını İcerenköy Ortaokulunda tamamladım. 1984 yılında girdiğim İstanbul Haydarpaşa Lisesinden 1987 yılında mezun olarak orta öğrenimimi tamamladım. Aynı yıl Yıldız Teknik Üniversitesi Mühendislik Fakültesi Makina Mühendisliği Bölümü'nu kazandım. Ağustos 1991'de iyi derece ile mezun oldum. Aynı yıl Yıldız Teknik Üniversitesi Fen Bilimleri Enstitüsü Makina Mühendisliği Ana Bilim Dalı'ni kazandım. Halen bu bölümde yüksek lisans eğitimime devam etmekteyim.

Atilla Şentürk
914302